

**INSTITUT TEKNOLOGI NASIONAL MALANG
FAKULTAS TEKNOLOGI INDUSTRI
JURUSAN TEKNIK ELEKTRO
KONSENTRASI TEKNIK ENERGI LISTRIK**



**REKONFIGURASI JARINGAN UNTUK MEREDUKSI RUGI-RUGI DAYA
MENGGUNAKAN METODE *BREEDER GENETIC ALGORITHM (BGA)*
PADA JARINGAN DISTRIBUSI 20 KV G.I. BANGIL**

SKRIPSI

Disusun Oleh :

**AGUSTO TRI HARDIANSYAH
05.12.016**

Agustus 2010

БИЛДІРІЛДІК НАУКАН
ОДАСЫНДА ОДАСЫНДА ОДАСЫНДА
ОДАСЫНДА ОДАСЫНДА ОДАСЫНДА
ОДАСЫНДА ОДАСЫНДА ОДАСЫНДА

АДАМ СОМАДАН ОДАСЫНДА ОДАСЫНДА ОДАСЫНДА
ОДАСЫНДА ОДАСЫНДА ОДАСЫНДА ОДАСЫНДА ОДАСЫНДА
ОДАСЫНДА ОДАСЫНДА ОДАСЫНДА ОДАСЫНДА ОДАСЫНДА

ДЕРЖАВА

СЕМЬЯ

БАГАЛАМАН ЕТІ ОТАСЫ
ОДАСЫНДА

СЕМЬЯ

LEMBAR PERSETUJUAN

REKONFIGURASI JARINGAN UNTUK MEREDUKSI RUGI-RUGI DAYA
MENGGUNAKAN METODE *BREEDER GENETIC ALGORITHM (BGA)*
PADA JARINGAN DISTRIBUSI 20 kV G.I. BANGIL

SKRIPSI

*Disusun dan Diajukan Untuk Melengkapi dan
Memenuhi Syarat-Syarat Guna Mencapai Gelar Sarjana Teknik*

Disusun Oleh :

AGUSTO TRI HARDIANSYAH

05.12.016

Diperiksa dan disetujui,
Dosen Pembimbing I

Diperiksa dan disetujui,
Dosen Pembimbing II

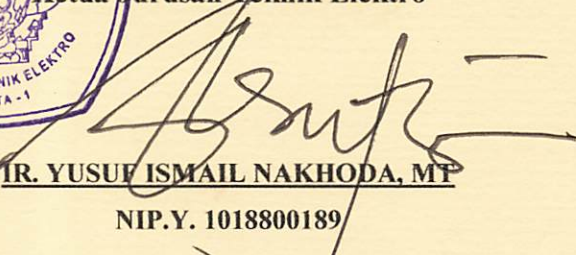

Ir. CHOIRUL SALEH, MT
NIP. Y. 1018800190


Ir. H. TAUFIK HIDAYAT, MT
NIP.Y. 1018700151



Mengetahui,

Ketua Jurusan Teknik Elektro


IR. YUSUF ISMAIL NAKHODA, MT

NIP.Y. 1018800189

KONSENTRASI TEKNIK ENERGI LISTRIK
JURUSAN TEKNIK ELEKTRO S-1
FAKULTAS TEKNOLOGI INDUSTRI
INSTITUT TEKNOLOGI NASIONAL MALANG

A B S T R A K S I

REKONFIGURASI JARINGAN UNTUK MEREDUKSI RUGI-RUGI DAYA MENGGUNAKAN METODE *BREEDER GENETIC ALGORITHM (BGA)* PADA JARINGAN DISTRIBUSI 20 kV G.I. BANGIL

(AGUSTO TRI HARDIANSYAH, Nim 05.12.016, Teknik Elektro/T.Energi Listrik S-1)

(Dosen Pembimbing I : Ir. Choirul Saleh, MT)

(Dosen Pemimping II : Ir. H. Taufik Hidayat, MT)

Pembangunan dan perkembangan teknologi yang pesat memberikan dampak yang cukup besar pada kebutuhan dan pola konsumsi masyarakat akan energi listrik. Keadaan tersebut berpengaruh pada pola dan sistem penyediaan energi listrik di gardu induk, terutama pada penyediaan tenaga dan pengaturan pendistribusian energi listrik agar didapat suatu sistem yang baik tanpa merugikan penyedia energi listrik (*produsen*) dan pemakai energi listrik (*konsumen*). Panjangnya jaringan listrik mengakibatkan perbedaan tegangan antara sisi kirim dan sisi terima menjadi berbeda. Semakin panjang jaringan, maka perbedaan tegangan akan semakin besar karena pengaruh rugi-rugi (*losses*) pada jaringan tersebut. Untuk itu, perlu dilakukan suatu alternatif untuk mengurangi adanya rugi-rugi daya. Alternatif yang sering dipakai untuk mengurangi rugi-rugi adalah dengan melakukan rekonfigurasi jaringan. Pada penelitian ini digunakan metode Breeder Algoritma Genetika (BGA) untuk memperoleh status switch yang baru pada jaringan distribusi 20 kV G.I. Bangil guna mereduksi rugi – rugi daya yang terjadi. Hasil analisis menggunakan BGA menunjukkan konfigurasi baru yang optimal dengan rugi – rugi daya terendah.

Kata Kunci : *Breeder Genetic Algorithm (BGA), Rekonfigurasi jaring distribusi.*

KATA PENGANTAR

Dengan mengucapkan puji syukur kehadirat ALLAH SWT, atas rahmat dan karunia-Nya memungkinkan penulis dapat menyelesaikan skripsi yang berjudul, “**“REKONFIGURASI JARINGAN UNTUK MEREDUKSI RUGI-RUGI DAYA MENGGUNAKAN METODE BREEDER GENETIC ALGORITHM (BGA) PADA JARINGAN DISTRIBUSI 20 kV G.I. BANGIL”.**

Skripsi ini bertujuan untuk memenuhi kurikulum akademik yang harus ditempuh oleh setiap mahasiswa ITN Malang guna menyelesaikan pendidikan pada jenjang strata satu jurusan Teknik Elektro konsentrasi Teknik Energi Listrik di Institut Teknologi Nasional Malang.

Atas segala bimbingan, pengarahan dan bantuan yang diberikan, sehingga tersusunya skripsi ini, maka penulis menyampaikan terima kasih kepada :

1. Ayahku Suharmanto, SE, ST dan Ibuku Widyastuti tercinta.
2. Bapak Prof. Dr. Ir. Abraham Lomi, MSEE selaku rektor ITN Malang
3. Bapak Ir. Sidik Noertjahjono, MT selaku Dekan Fakultas Teknologi Industri.
4. Bapak Ir. F. Yudi Limpraptono, MT selaku Ketua Jurusan Teknik Elektro S-1 ITN Malang.
5. Bapak Yusuf Ismail Nakhoda, ST. MT, selaku Sekretaris Jurusan Teknik Elektro (S1) ITN Malang.
6. Bapak Ir. Choirul Saleh, MT, selaku bapak dan dosen pembimbing I.
7. Bapak Ir. H. Taufik Hidayat, MT, selaku bapak dosen pembimbing II.
8. Semua pihak yang telah membantu penulis dalam menyelesaikan skripsi ini yang tidak bisa penulis sebutkan satu persatu.

Akhirnya penulis mengharapkan skripsi dapat berguna dan bermanfaat bagi rekan-rekan mahasiswa khususnya pada jurusan Teknik Elektro S-1 konsentrasi Teknik Energi Listrik.

Malang, Agustus 2010

Penulis

DAFTAR ISI

	Halaman:
HALAMAN JUDUL	i
LEMBAR PERSETUJUAN	ii
ABSTRAKSI.....	iii
KATA PENGANTAR.....	iv
DAFTAR ISI.....	vi
DAFTAR GAMBAR.....	x
DAFTAR TABEL.....	xii
DAFTAR GRAFIK.....	xiii
 BAB I PENDAHULUAN	
1.1. Latar Belakang	1
1.2. Rumusan Masalah	2
1.3. Tujuan	3
1.4. Batasan Masalah.....	3
1.5. Metodologi Penelitian	4
1.6. Sistematika Penulisan.....	5
 BAB II SISTEM DISTRIBUSI TENAGA LISTRIK	
2.1. Sistem Distribusi	6
2.2. Struktur Jaringan Distribusi Tenaga Listrik.....	9
2.2.1. Struktur Jaringan Distribusi Radial	9
2.2.1.1. Sistem Radial Tipe Pohon.....	10

2.2.1.2. Sistem Radial dengan <i>Tie</i> dan <i>Switch</i> Pemisah.....	11
2.2.1.3. Sistem Radial dengan Beban Terpusat.....	12
2.2.1.4. Sistem Radial dengan Pembagian Daerah Phasa (<i>Phase Area</i>)	
.....	13
2.2.2. Struktur Jaringan <i>Loop</i>	14
2.2.3. Struktur Jaringan <i>Mesh</i>	15
2.3. Daya pada Sistem Distribusi	17
2.3.1. Daya Aktif (<i>Active Power</i>).....	17
2.3.2. Daya Reaktif (<i>Reactive Power</i>).....	17
2.3.3. Daya Semu (<i>Apparent Power</i>)	18
2.4. Faktor Daya.....	18
2.5. Rugi – Rugi Daya Saluran Distribusi.....	20
2.6. Minimalisasi Rugi Daya pada Sistem Distribusi	20

BAB III METODE REKONFIGURASI

3.1. Analisa Aliran Daya.....	23
3.2. Pendekatan Studi Aliran Daya	24
3.3. Sistem Per-Unit	24
3.4. Klasifikasi Bus	25
3.4.1. Bus Beban (<i>Load Bus</i>).	26
3.4.2. Bus Generator (<i>Generator Bus</i>).	26
3.4.3. Bus Referensi (<i>Slack Bus</i>).	26
3.5. Metode <i>Newton Raphson</i>.	27

3.5.1. Algoritma Aliran Daya <i>Newton Raphson</i>	29
3.5.1.1. Diagram Alir Aliran Daya <i>Newton Raphson</i>	31
3.6. Metode Rekonfigurasi Jaringan.	32
3.7. Metode Algoritma Genetika.....	33
3.7.1. Istilah – Istilah Algoritma Genetika.....	34
3.7.2. Komponen – Komponen Utama pada Algoritma Genetika	37
3.7.2.1 Teknik Penyandian.....	37
3.7.2.2 Prosedur Inisialisasi	38
3.7.2.3 Fungsi Evaluasi	39
3.7.2.4 Seleksi	39
3.7.2.5 Operator Genetika	40
3.8. <i>Breeder Genetic Algorithm (BGA)</i>	42
3.8.1. <i>Flowchart</i> Metode <i>Breeder Genetic Algorithm</i>	44

**BAB IV ANALISA REKONFIGURASI JARINGAN DENGAN PROGRAM
MENGGUNAKAN METODE BREEDER GENETIC ALGORITHM
PADA JARINGAN DISTRIBUSI PRIMER TRAFO II DI G.I.
BANGIL**

4.1. Sistem Distribusi Tenaga Listrik 20 kV G.I. Bangil pada Trafo II	45
4.1.1. Menentukan <i>Single Line Diagram</i> menggunakan <i>Software ETAP</i>	
7.0.4	45
4.1.2. <i>Single Line Diagram</i> G.I. Bangil	51
4.2. Inputan Data	52

4.2.1.	Data Pembebanan.....	53
4.2.2.	Data Saluran.....	55
4.3.	<i>Flowchart</i> Penyelesaian Masalah.....	59
4.3.1.	Algoritma <i>Flowchart</i> Penyelesaian Masalah	60
4.4.	Analisa Menggunakan Matlab 7.1	61
4.4.1.	Inputan Data Pembebanan.....	61
4.4.2.	Inputan Data Saluran.....	62
4.5.	Analisa Aliran Daya Menggunakan Metode <i>Newton Raphson</i>	63
4.5.1.	Hasil Tegangan dan Sudut Fasa tiap <i>Bus</i> Sebelum Rekonfigurasi	63
4.5.2.	Hasil Aliran Daya Antar Saluran Sebelum Rekonfigurasi.....	66
4.5.3.	Hasil Rugi – Rugi Daya Antar Saluran Sebelum Rekonfigurasi	67
4.6.	Analisis Konfigurasi Jaringan dengan Menggunakan Metode <i>Breeder Genetic Algorithm (BGA)</i>	69
4.6.1.	Pembangkitan Populasi Awal	70
4.6.2.	Fungsi Evaluasi (Fungsi Kebugaran - <i>Fitness</i>)	70
4.6.3.	Operator Genetika	71
4.6.4.	Metode <i>Breeder Genetic Algorithm (BGA)</i>	71
4.7.	Hasil Analisis Posisi <i>Open Switch</i> dalam Konfigurasi Jaringan dengan Menggunakan Metode <i>Breeder Genetic Algorithm</i>	72

4.8. Analisa Aliran Daya Menggunakan Metode <i>Newton Raphson</i> setelah Rekonfigurasi	75
4.8.1. Hasil Tegangan dan Sudut Fasa Setelah Rekonfigurasi.....	75
4.8.2. Hasil Aliran Daya Antar Saluran Setelah Rekonfigurasi.....	78
4.8.3. Hasil Rugi – Rugi Daya Antar Saluran Setelah Rekonfigurasi	79
4.9. Perbandingan Rugi – Rugi Daya sebelum dan Sesudah rekonfigurasi	81

BAB V KESIMPULAN

5.1. Kesimpulan	83
-----------------------	----

DAFTAR PUSTAKA

LAMPIRAN

DAFTAR GAMBAR

Gambar :	Halaman :
2-1. Skema Pusat Listrik yang Dihubungkan Melalui Saluran Transmisi ke G.I	6
2-2. Jaringan Tegangan Menengah (JTM), Jaringan Tegangan Rendah (JTR) dan Sambungan Rumah ke Pelanggan	8
2-3. Jaringan Distribusi Radial Tipe Pohon	11
2-4. Jaringan Distribusi Radial dengan <i>Tie</i> dan <i>Switch</i> Pemisah	12
2-5. Sistem Radial dengan Beban Terpusat.....	13
2-6. Sistem Radial dengan Pembagian Daerah Fasa (<i>Phase Area</i>)	14
2-7. Struktur Jaringan <i>Loop</i>	15
2-8. Struktur Jaringan <i>Mesh</i>	16
2-9. Hubungan Segitiga Daya.....	19
2-10. Contoh Kondisi Gangguan pada system Distribusi Radial	21
3-1. Diagram Alir Aliran Daya <i>Newton Raphson</i>	31
3-2. Diagram Skematik tipe NC <i>Switch</i> dan NO <i>Switch</i>	32
3-3. Representasi <i>String Bit</i>	38
3-4. Ilustrasi Operator dengan <i>One Point Crossover</i>	40
3-5. Ilustrasi Operator dengan <i>Two Point Crossover</i>	41
3-6. Ilustrasi Operator dengan <i>Uniform Crossover</i>	41
3-7. <i>Flowchart Breeder Genetic Algorithm</i>	44
4-1. <i>Single Line Diagram</i> G.I Bangil	47

4-2.	Tampilan Pengisian Inputan Data Kapasitas Trafo pada <i>Software</i> ETAP	
7.0.4	48	
4-3.	Tampilan Pengisian Inputan Data Beban Tiap Trafo pada <i>Software</i> ETAP	
7.0.4.....	49	
4-4.	Tampilan Hasil Perhitungan Aliran Daya untuk Nilai P dan Q pada tiap – tiap Trafo Beban pada <i>Software</i> ETAP 7.0.4	50
4-5.	Konfigurasi Jaringan Radial dari <i>Single Line Diagram</i> G.I Bangil	51
4-6.	<i>Flowchart</i> Penyelesaian Masalah.....	59
4-7.	Tampilan Inputan Data Pembebanan	61
4-8.	Tampilan Inputan Data Saluran	62
4-9.	Tampilan Hasil Nilai Tegangan dan Sudut Fasa tiap Bus Sebelum Rekonfigurasi	63
4-10.	Tampilan Hasil Aliran Daya Antar Saluran Sebelum Rekonfigurasi	66
4-11.	Tampilan Hasil Rugi – Rugi Daya Antar Saluran Sebelum Rekonfigurasi	67
4-12.	Tampilan Hasil Analisis Posisi <i>Open Switch</i> Dalam Konfigurasi Jaringan Dengan Menggunakan Metode <i>Breeder Genetic Algorithm</i>	72
4-13.	Konfigurasi Jaringan Radial Setelah Rekonfigurasi	73
4-14.	Tampilan Hasil Nilai Tegangan dan Sudut Fasa tiap Bus Setelah Rekonfigurasi	75
4-15.	Hasil Aliran Daya Antar Saluran Setelah Rekonfigurasi	78
4-16.	Tampilan Hasil Rugi – Rugi Daya Antar Saluran Setelah Rekonfigurasi	79

DAFTAR TABEL

Tabel :	Halaman :
3-1 Istilah yang Digunakan dalam Algoritma Genetika.....	35
4-1 Data Pembebanan Tiap Bus	53
4-2 Data Pengahantar dan Jarak Saluran	55
4-3 Hasil Perhitungan Saluran G.I. Bangil.....	57
4-4. Tegangan dan Sudut Fasa Tiap Bus pada G.I Bangil Sebelum Rekonfigurasi	64
4-5. Rugi – Rugi Daya Antar Saluran	68
4-6. Perbandingan Posisi <i>Open Switch</i> Sebelum dan Sesudah Rekonfigurasi	74
4-7. Tegangan dan Sudut Fasa tiap Bus Setelah Rekonfigurasi.....	76
4-8. Rugi – Rugi Daya Antar Saluran Setelah Rekonfigurasi	80
4-9. Perbandingan Rugi – Rugi Daya Sebelum dan Setelah Rekonfigurasi....	82

DAFTAR GRAFIK

Grafik :

Halaman :

4-1 Perbandingan Rugi – Rugi Daya Sebelum dan Setelah Rekonfigurasi..... 82

BAB I

PENDAHULUAN

1.1. Latar Belakang

Pembangunan dan perkembangan teknologi yang pesat memberikan dampak yang cukup besar pada kebutuhan dan pola konsumsi masyarakat akan energi listrik. Keadaan tersebut berpengaruh pada pola dan sistem penyediaan energi listrik di gardu induk, terutama pada penyediaan tenaga dan pengaturan pendistribusian energi listrik agar didapat suatu sistem yang baik tanpa merugikan penyedia energi listrik (*produsen*) dan pemakai energi listrik (*konsumen*).

Panjangnya jaringan listrik mengakibatkan perbedaan tegangan antara sisi kirim dan sisi terima menjadi berbeda. Semakin panjang jaringan, maka perbedaan tegangan akan semakin besar karena pengaruh rugi-rugi (*losses*) pada jaringan tersebut. Turunnya tegangan sering terjadi pada sistem tenaga listrik yang kapasitasnya terbatas, bahkan melampaui batas-batas toleransi.^[1]

Sistem distribusi biasanya terdiri dari beberapa penyulang dengan sistem jaring radial dimana antara penyulang yang satu dengan penyulang yang lain dapat dihubungkan dengan *switch - switch* yang dipasang pada penyulang-penyulang tersebut.^[1] Dalam operasi sistem tenaga listrik, rekonfigurasi bertujuan untuk mengurangi *losses*, sehingga kualitas tegangan listrik menjadi lebih baik. Rekonfigurasi jaringan dapat memperbarui struktur jaringan dari penyulang-penyulang dengan mengubah status buka/tutup *switch* dari *switch - switch* yang ada pada penyulang. Permasalahan tersebut menjadi perhatian utama khususnya dalam sistem distribusi 20 kV di gardu induk Bangil. Permasalahan yang muncul

pada penyaluran tenaga listrik yang menggunakan jaringan radial adalah terlalu panjangnya saluran yang digunakan sehingga menyebabkan terjadinya rugi-rugi daya dan kecenderungan tegangan-tegangan pada *bus-bus* tertentu tidak memenuhi syarat yang ditetapkan yaitu antara -5% sampai +5% ($0.95 \leq V_{bus} \leq 1.05$).^[1] Dimana, pada gardu indu Bangil ini terjadi jatuh tegangan pada beberapa *bus* yaitu sebesar 0.87 p.u dan terjadinya rugi-rugi daya. Untuk itu, perlu dilakukan suatu alternatif untuk mengurangi adanya rugi-rugi daya. Alternatif yang sering dipakai untuk mengurangi rugi-rugi adalah dengan melakukan rekonfigurasi jaringan.

1.2. Rumusan Masalah

Pada sistem distribusi yang besar dan komplek, serta dengan bertambah luasnya beban pada jaringan distribusi maka akan timbul masalah bagaimana cara mereduksi rugi-rugi daya?

Dari permasalahan di atas maka judul skripsi ini adalah :

**” REKONFIGURASI JARINGAN
UNTUK MEREDUKSI RUGI-RUGI DAYA
MENGGUNAKAN METODE BREEDER GENETIC ALGORITHM (BGA)
PADA JARINGAN DISTRIBUSI 20 kV G.I. BANGIL ”**

1.3. Tujuan

Berdasarkan permasalahan yang telah dikemukakan di atas, maka skripsi ini bertujuan untuk mendapatkan kombinasi *switch* yang paling optimal untuk meminimalkan rugi-rugi daya pada beban puncak yang timbul pada jaringan distribusi.

1.4. Batasan Masalah

Agar permasalahan sesuai dengan tujuan, maka pembahasan skripsi dibatasi hal-hal berikut :

- Hanya membahas rekonfigurasi jaringan distribusi untuk meminimalisasi rugi-rugi daya.
- Beban diasumsikan sebagai beban tiga phasa seimbang.
- Tidak membahas jenis dan penyebab terjadinya gangguan.
- Tidak membahas pengontrolan switching yang dilakukan.
- Data dan acuan di ambil dari PT. PLN (*Persero*) Distribusi Jawa Timur pada trafo II G.I. Bangil-Pasuruan.
- Analisa hanya dilakukan pada kondisi beban puncak pada kondisi operasi normal.
- Analisa penempatan optimal *switch* menggunakan metode *Breeder Genetic Algorithm* menggunakan *software MATLAB 7.1*.

1.5. Metodologi Penelitian

Metode yang digunakan dalam pembahasan skripsi ini dilakukan dengan langkah-langkah sebagai berikut :

- 1. Studi literatur**

Yaitu kajian pustaka yang mempelajari teori-teori yang terkait melalui literatur yang telah ada, yang berhubungan dengan permasalahan.

- 2. Pengumpulan data**

Pengumpulan data yang dipakai dalam objek penelitian yakni data jaringan distribusi dari PT. PLN (*Persero*) Distribusi Jawa Timur pada trafo II G.I. Bangil-Pasuruan.

- 3. Merancang perangkat lunak (*software*) dengan menggunakan metode *Breeder Genetic Algorithm (BGA)*.**

- 4. Simulasi dan pembahasan masalah**

Simulasi dan pembahasan masalah dengan menggunakan bahasa pemrograman MATLAB.

- 5. Menarik kesimpulan.**

1.6. Sistematika Penulisan

Sistematika penulisan skripsi ini adalah sebagai berikut :

BAB I : PENDAHULUAN

Berisi penguraian tentang Latar Belakang, Rumusan Masalah, Tujuan Penelitian, Batasan Masalah, Metodologi Penelitian, Sistematika Penulisan.

BAB II : TINJAUAN PUSTAKA

Menjelaskan tentang sistem distribusi tenaga listrik terutama sistem distribusi bertegangan AC yang mempunyai tipe-tipe saluran daya tertentu menurut kebutuhan bebannya.

BAB III : TEORI REKONFIGURASI JARINGAN DISTRIBUSI

Pada bab ini akan di bahas pengenalan awal rekonfigurasi jaringan dalam upaya mereduksi rugi-rugi daya pada sistem distribusi radial dan teori mengenai metode yang digunakan.

BAB IV : ANALISA REKONFIGURASI JARINGAN DISTRIBUSI

Bab ini memuat pembahasan mengenai permasalahan rekonfigurasi jaringan dengan menggunakan metode *Breeder Genetic Algorithm (BGA)* dan hasil simulasinya.

BAB V : KESIMPULAN

Merupakan bab terakhir yang memuat inti sari dari hasil pembahasan analisa, berisikan kesimpulan dan saran.

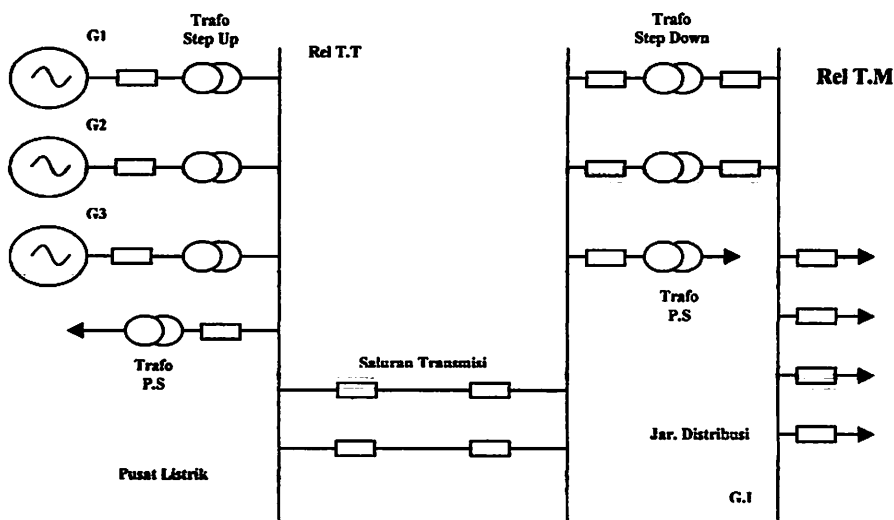
BAB II

SISTEM DISTRIBUSI TENAGA LISTRIK

2.1. Sistem Distribusi [2]

Sistem tenaga listrik merupakan sistem terpadu yang terbentuk oleh hubungan-hubungan peralatan dan komponen-komponen tenaga listrik seperti generator, transformator, jaringan tenaga listrik beserta bebannya. Peranan utama dari sistem tenaga listrik adalah menyalurkan energi yang dibangkitkan oleh generator ke konsumen-konsumen yang membutuhkan energi listrik tersebut.

Kedudukan sistem tenaga listrik dari keseluruhan sistem tenaga listrik secara umum dapat dilihat pada gambar 2.1. Dari gambar tersebut dapat terlihat bahwa kedudukan sistem distribusi merupakan bagian paling akhir dari keseluruhan sistem tenaga listrik yang mempunyai fungsi mendistribusikan langsung tenaga listrik ke beban atau ke konsumen yang membutuhkan.



Gambar 2-1

Skema pusat listrik yang dihubungkan melalui saluran transmisi ke G.I

Keterangan : G = Generator

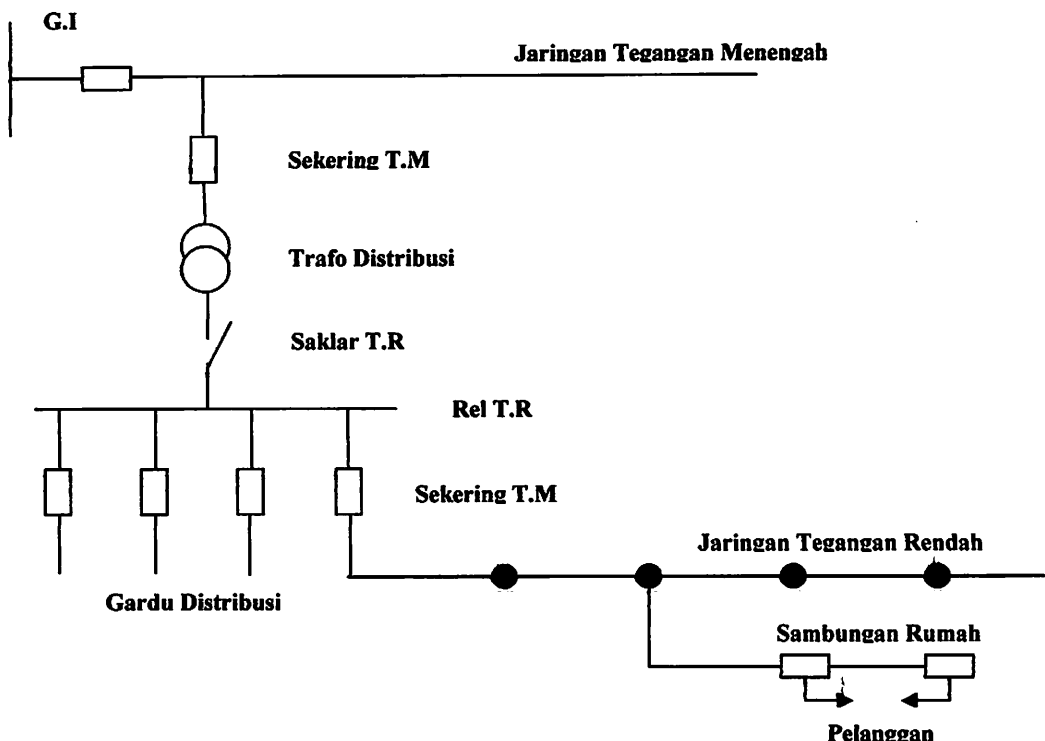
P.S = Pemakaian Sendiri

T.T = Tegangan Tinggi

T.M = Tegangan Menengah

Berdasarkan sistem di atas, fungsi dari masing-masing sub sistem dapat di perjelas sebagai berikut :

- Pembangkitan berperan sebagai sumber daya tenaga listrik dan disebut juga sebagai produsor energi listrik.
- Sistem transmisi berfungsi sebagai penyalur daya listrik secara besar-besaran dari pembangkit ke bagian distribusi konsumen.
- Sistem distribusi berperan sebagai distribusi energi ke konsumen-konsumen yang membutuhkan energi tersebut.



Gambar 2-2

Jaringan Tegangan Menengah (JTM), Jaringan Tegangan Rendah (JTR) dan Sambungan Rumah ke Pelanggan

Jaringan setelah keluar dari G.I biasa disebut jaringan distribusi. Jaringan distribusi dapat diklasifikasikan menjadi dua bagian sistem, yaitu :

1. Sistem distribusi primer atau sistem distribusi tegangan menengah
2. Sistem distribusi sekunder atau sistem distribusi tegangan rendah

Sistem jaringan yang digunakan untuk menyalurkan dan mendistribusikan tenaga listrik dapat menggunakan sistem satu fasa dengan dua kawat maupun sistem tiga fasa empat kawat.

2.2. Struktur Jaringan Distribusi Tenaga Listrik

Ada beberapa bentuk jaringan yang umum dipergunakan untuk menyalurkan dan mendistribusikan tenaga listrik, yaitu :

1. Struktur jaringan distribusi radial
2. Struktur jaringan distribusi rangkaian tertutup (*loop*)
3. Struktur jaringan distribusi *mesh*

2.2.1. Struktur Jaringan Distribusi Radial^[3]

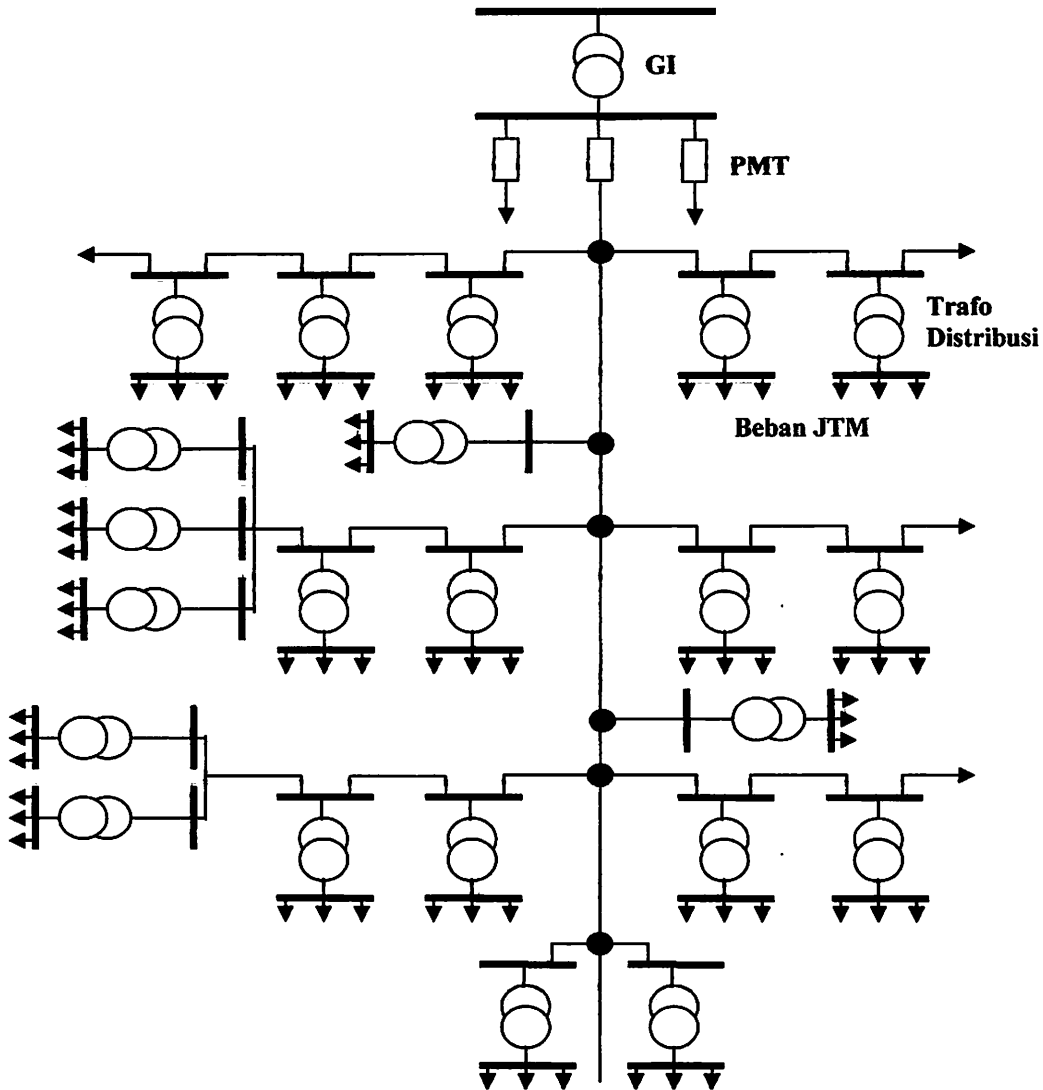
Struktur jaringan radial merupakan struktur jaringan yang paling sederhana dan paling murah biaya pembangunannya. Namun kualitas pelayan dayanya relatif jelek, karena rugi tegangan dan rugi daya yang terjadi pada saluran relatif besar. Kualitas dayanya juga tidak terjamin, sebab antara titik sumber dengan titik beban hanya ada satu alternatif saluran sehingga bila saluran tersebut mengalami gangguan, maka seluruh rangkaian sesudah titik gangguan akan mengalami pemadaman secara total.

Untuk melokalisir gangguan,pada bentuk radial ini biasanya dilengkapi dengan peralatan pengaman berupa *fuse*, *sectionalizer*, *recloser*, atau alat pemutus lainnya tetapi fungsinya hanya membatasi daerah yang mengalami pemadaman total, yaitu daerah saluran sesudah/di belakang titik gangguan, selama gangguan belum teratasi. Jaringan distribusi radial ini memiliki beberapa bentuk modifikasi, antara lain :

1. Radial tipe pohon.
2. Radial dengan *tie* dan *switch* pemisah.
3. Radial dengan pusat beban.
4. Radial dengan pembagian daerah phasa (*phase area*).

2.2.1.1. Sistem Radial tipe Pohon

Sistem radial pohon ini merupakan bentuk yang paling dasar dari sistem jaringan radial. Saluran utama (*main feeder*) ditarik dari suatu gardu induk sesuai dengan kebutuhan kemudian dicabangkan melalui saluran cabang (*lateral feeder*), selanjutnya dicabangkan melalui anak cabang (*sub lateral feeder*). Ukuran dari masing-masing saluran tergantung dari kerapatan arus yang ditanggung. *Main feeder* merupakan saluran yang dialiri arus terbesar, selanjutnya arus mengecil pada tiap cabang tergantung dari besarnya beban.

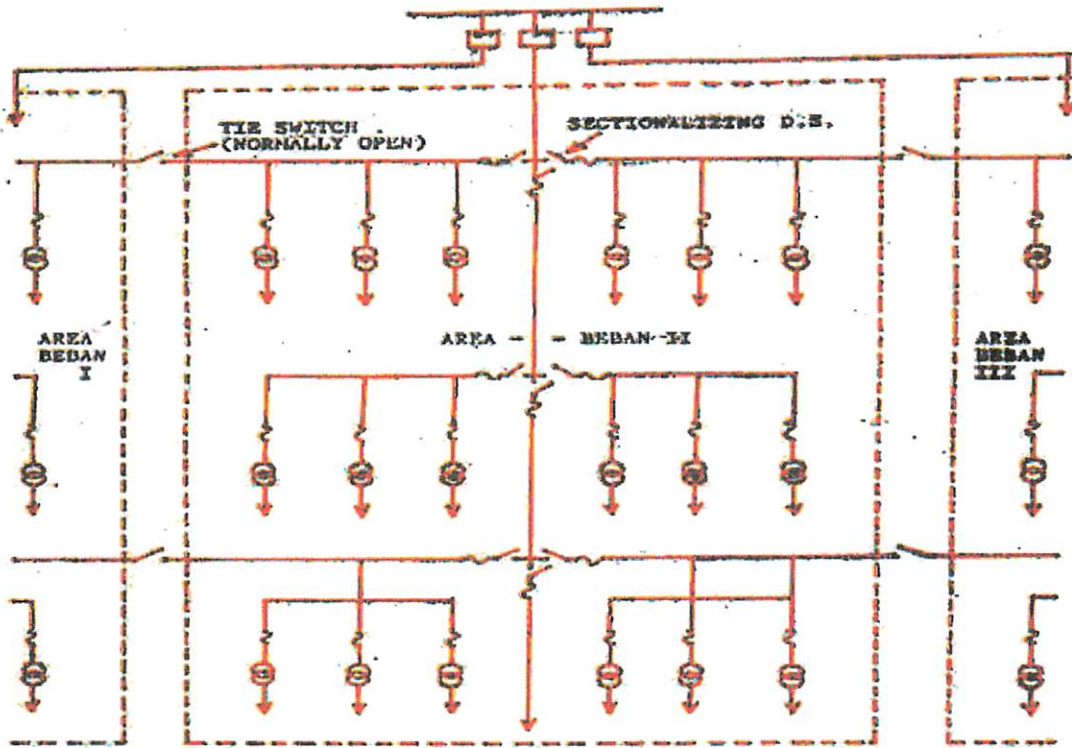


Gambar 2-3

Jaringan Distribusi Radial tipe Pohon ^[3]

2.2.1.2. Sistem Radial dengan Tie dan Switch Pemisah

Sistem ini merupakan pengembangan dari sistem radial pohon. Untuk meningkatkan keandalan sistem saat terjadinya gangguan, maka *feeder* yang terganggu akan dilokalisir sedangkan area yang semula dilayani *feeder* tersebut pelayanannya dialihkan pada *feeder* yang sehat atau yang tidak terganggu.

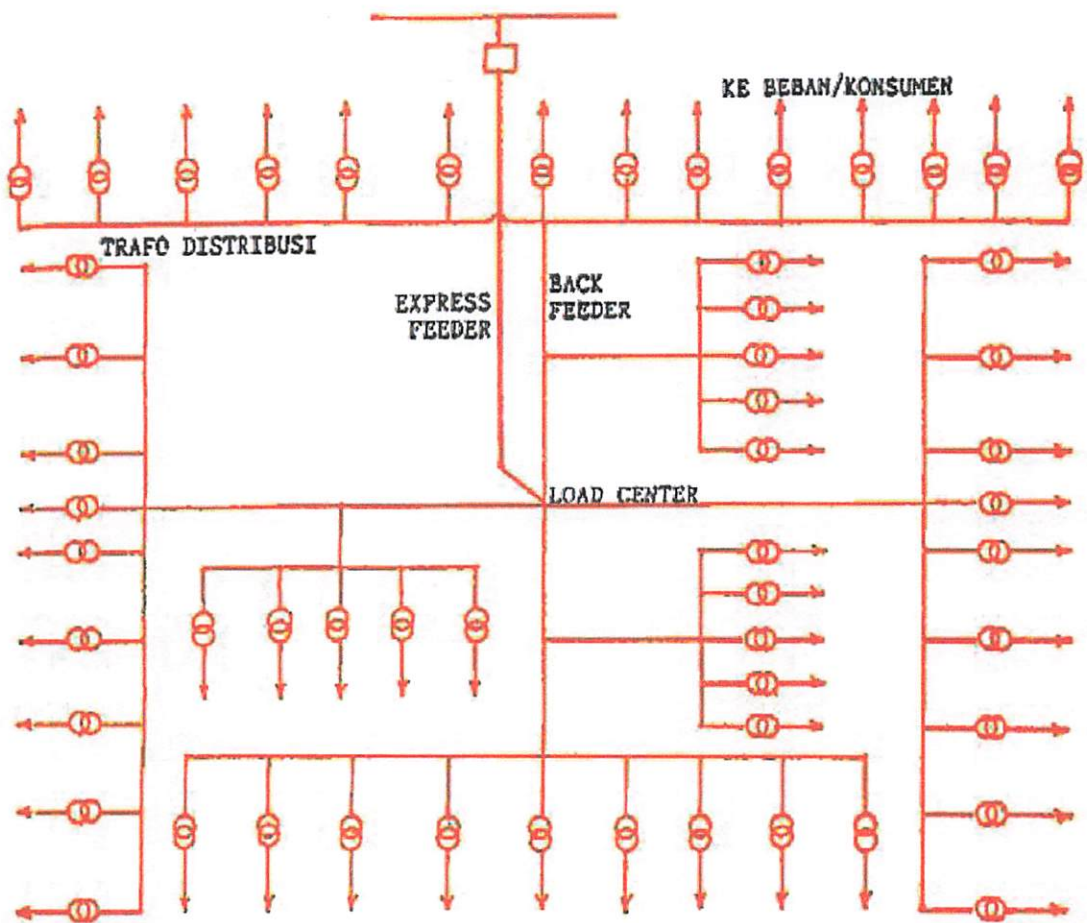


Gambar 2-4

Jaringan Distribusi Radial dengan Tie dan Switch Pemisah^[3]

2.2.1.3. Sistem Radial dengan Beban Terpusat

Bentuk dari sistem ini mensuplai daya dengan menggunakan *main feeder* yang disebut *express feeder* langsung ke pusat beban, dan dari titik pusat beban ini kemudian daya disebar dengan menggunakan *back feeder* secara radial.

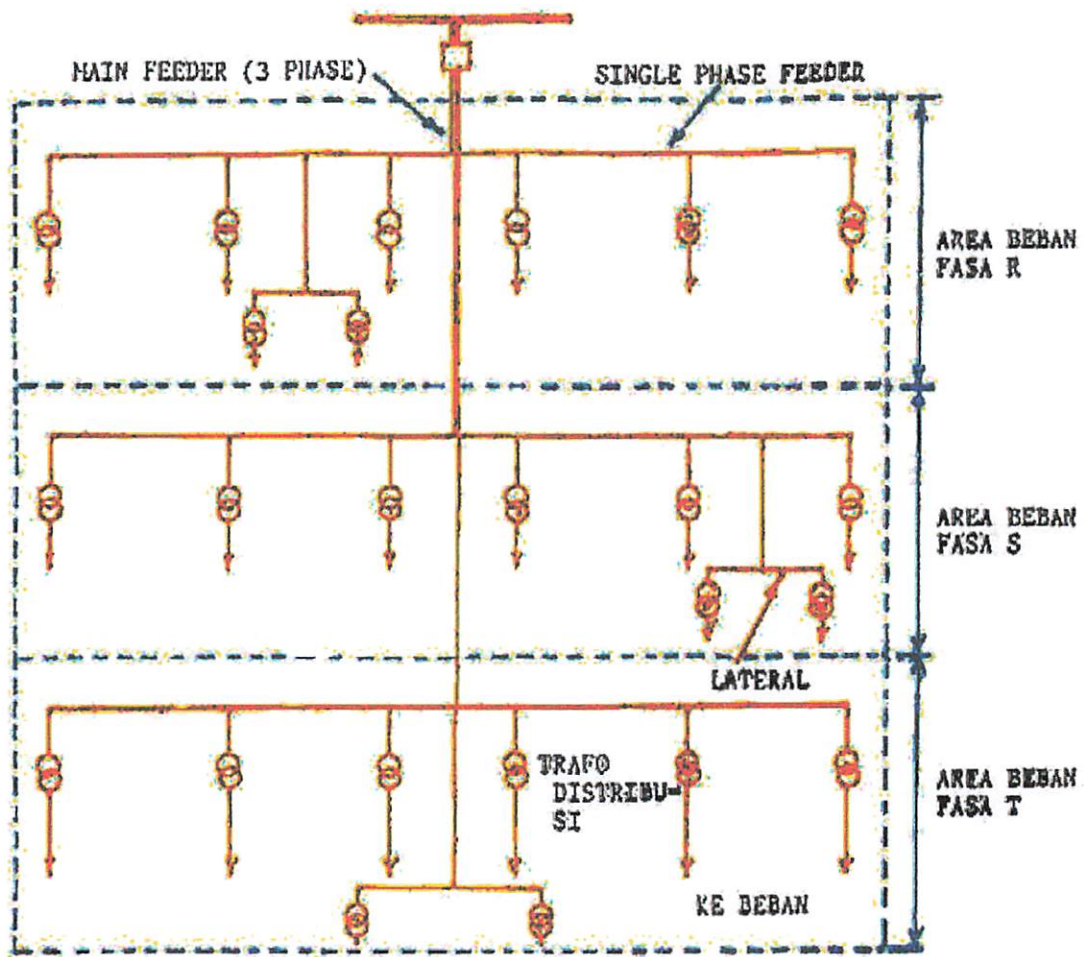


Gambar 2-5

Sistem Radial dengan Beban Terpusat^[3]

2.2.1.4. Sistem Radial dengan Pembagian Daerah Phasa (Phase Area)

Pada bentuk ini, masing-masing fasa dari jaringan bertugas melayani daerah beban yang berlainan. Bentuk ini akan dapat menimbulkan akibat kondisi sistem tiga fasa yang tidak seimbang, bila digunakan pada daerah beban yang baru dan belum mantap pembagian bebannya. Karenanya hanya cocok pada daerah beban yang stabil dan penambahan maupun pembagian bebannya dapat diatur merata dan simetris pada tiap fasanya.

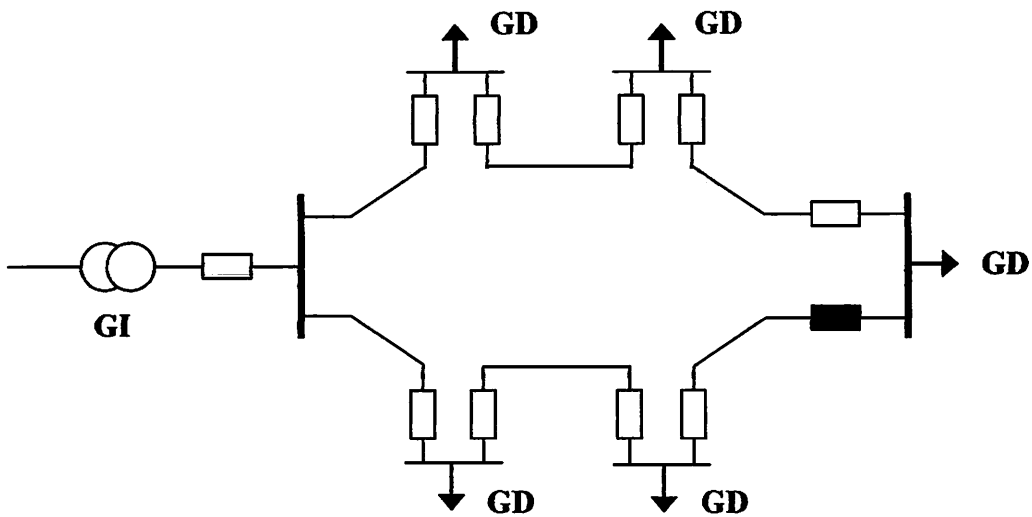


Gambar 2-6

Sistem Radial dengan Pembagian Daerah Phasa (Phase Area)^[3]

2.2.2. Struktur Jaringan Loop^[3]

Struktur jaringan *loop* merupakan gabungan dari dua sistem jaringan radial, dimana pada ujung kedua jaringan dipasang sebuah pemutus (*CB/Circuit Breaker*). Susunan rangkaian penyulang membentuk *ring*, yang memungkinkan titik beban dilayani dari dua arah penyulang sehingga kontinyuitas pelayanan menjadi lebih baik. Struktur jaringan ini mempunyai kehandalan yang cukup baik, sehingga biaya pembangunannya relatif lebih mahal dibandingkan dengan biaya pembangunan struktur jaringan radial.



Keterangan : = *Normally Close*

= *Normally Open*

GD = *Gardu Distribusi*

Gambar 2-7

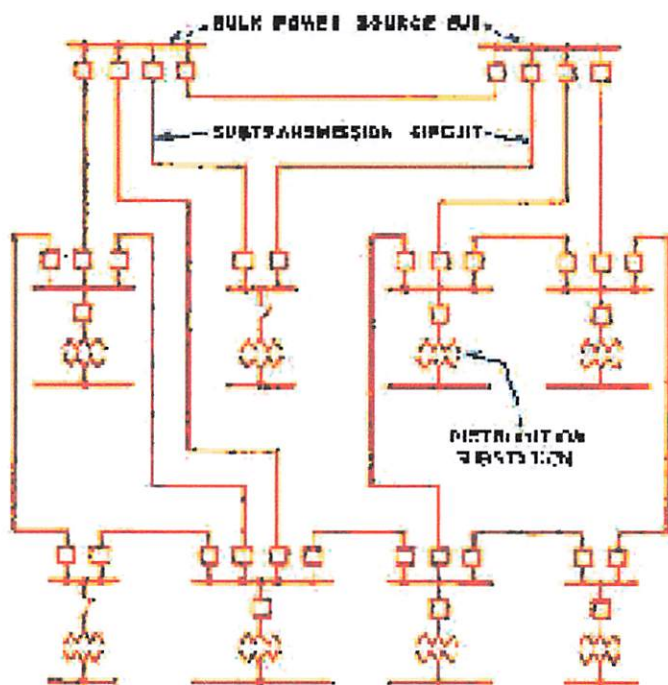
Struktur jaringan Loop [3]

2.2.3. Struktur Jaringan Mesh

Struktur jaringan ini merupakan kombinasi antara struktur jaringan radial dengan struktur jaringan *loop*. Titik beban memiliki lebih banyak alternatif penyulang, sehingga bila salah satu penyulang terganggu maka dengan segera dapat digantikan oleh penyulang lain. Dengan demikian kontinyuitas penyaluran daya sangat terjamin. Spesifikasi jaringan ini adalah [3] :

- Kontinyuitas daya paling terjamin.
- Kualitas tegangannya baik, rugi daya pada saluran amat kecil.
- Dibanding dengan bentuk lain, paling fleksibel dalam mengikuti pertumbuhan dan perkembangan beban.

- Sebelum pelaksanaannya memerlukan kordinasi perencanaan yang teliti dan rumit.
- Memerlukan biaya investasi yang besar (mahal).
- Memerlukan tenaga-tenaga yang terampil dalam pengoperasianya.



Gambar 2-8

Struktur Jaringan Mesh [3]

2.3. Daya pada Sistem Distribusi

Daya merupakan banyaknya perubahan tenaga terhadap waktu dalam besaran tegangan (V) dan arus (I). Satuan daya adalah *watt* (W). Daya yang diserap oleh suatu beban pada setiap saat adalah hasil kali jatuh tegangan sesaat diantara beban dalam *volt* dengan arus sesaat yang mengalir dalam beban tersebut dalam *ampere*.

2.3.1. Daya Aktif (*Active Power*) ^[2]

Daya aktif adalah daya nyata yang dihasilkan suatu jaringan sistem tenaga listrik, Secara umum daya nyata dinyatakan dalam persamaan :

$$P = |V| |I| \cos \theta \quad \dots \dots \dots \quad (2.1)$$

Daya aktif untuk beban 3 fasa seimbang

$$P = \sqrt{3} |V_{jala-jala}| |I_{jala-jala}| \cos \theta \quad \dots \dots \dots \quad (2.2)$$

Dimana : V = Tegangan (*volt*)
: I = Arus (*ampere*)

2.3.2. Daya Reaktif (*Reactive Power*) ^[2]

Daya reaktif adalah daya yang timbul karena adanya pembentukan medan magnet pada beban-beban induktif dalam satuan VAR atau kVar (*Kilo Volt Ampere Reaktif*). Daya reaktif dinyatakan dalam persamaan :

$$Q = |V| |I| \sin \theta \quad \dots \dots \dots \quad (2.3)$$

Daya reaktif untuk beban 3 fasa seimbang :

$$Q = \sqrt{3} |V_{jala-jala}| |I_{jala-jala}| \sin \theta \quad \dots \dots \dots \quad (2.4)$$

Dimana : V = Tegangan (*volt*)

: I = Arus (*ampere*)

Daya reaktif ada dua jenis yaitu daya reaktif induktif dan daya reaktif kapasitif yang keduanya memiliki tanda berlawanan.

2.3.3. Daya Semu (*Apparent Power*) [2]

Daya semu merupakan penjumlahan secara vektoris antara daya aktif dan daya reaktif yang memiliki satuan (kVA). Selain ketiga daya diatas ada yang dinamakan faktor daya atau *power factor* adalah perbandingan antara daya aktif dan daya semu. Sedangkan hubungan antara ketiga daya dengan faktor daya disebut segitiga daya. Adapun Daya semu dinyatakan dalam persamaan :

Daya semu untuk beban 3 fasa seimbang :

$$S = \sqrt{3} |V| |I| \quad (2.6)$$

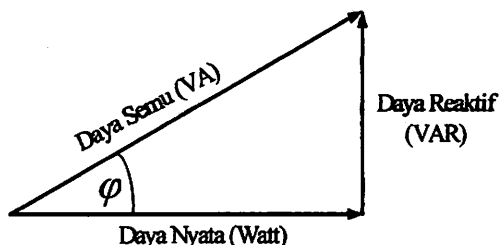
Dimana : V = Tegangan (*volt*)

: $I = \text{Arus (ampere)}$

2.4. Faktor Daya [2]

Setiap pemakaian daya reaktif akan menyebabkan turunnya faktor daya yang kemudian menyebabkan memburuknya karakteristik kerja peralatan-peralatan sistem pada umumnya, baik dari segi teknik operasional maupun dari segi ekonomisnya. Faktor daya adalah pebandingan antara daya nyata dan daya semu.

Untuk daya semu sendiri dibentuk oleh dua komponen daya nyata (kW) dan daya reaktif ($kVar$). Hubungan ini dapat digambarkan sebagai berikut:



Gambar 2-9

Hubungan Segitiga Daya

Dimana : P = Daya Aktif (kW)

: Q = Daya Reaktif ($kVar$)

Faktor daya akan mendahului (*leading*) jika arus mendahului tegangan dan akan tertinggal (*lagging*) bila arus terbelakang terhadap tegangan.

2.5. Rugi-Rugi Daya Saluran Distribusi^[2]

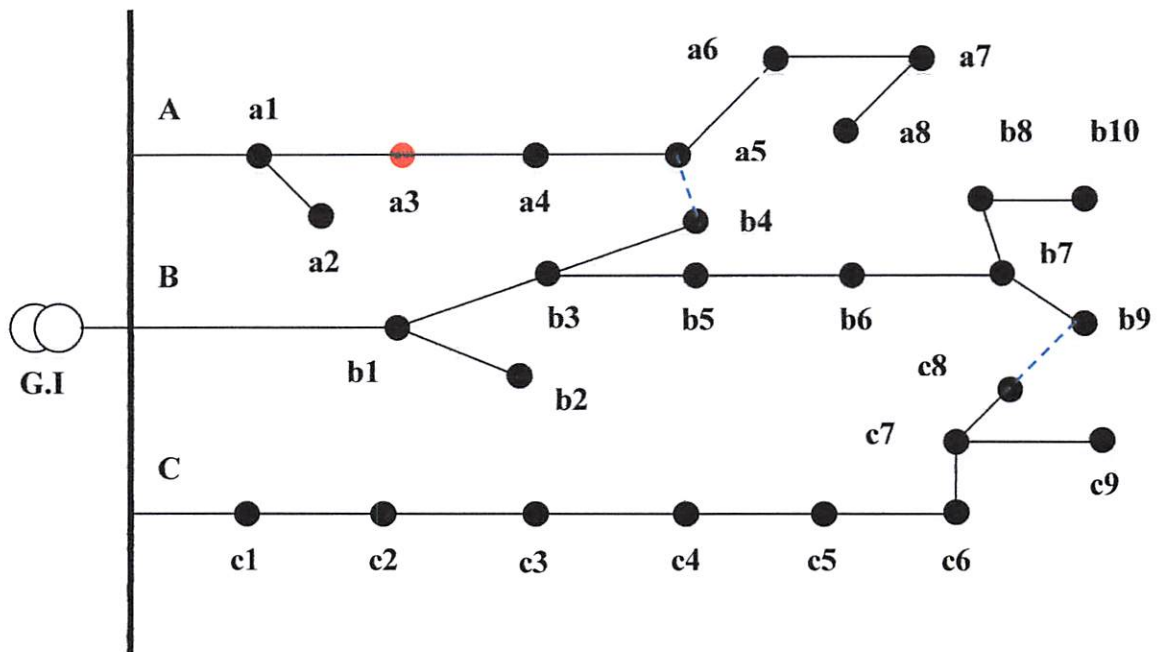
Rugi daya adalah besar daya yang hilang dalam penyaluran daya elektrik. Rugi daya ini terdiri dari rugi daya aktif dan rugi daya reaktif. Rugi-rugi ini dapat terjadi pada komponen-komponen umum pada sistem tenaga listrik seperti rugi daya pada penyulang utama, peralatan saluran dan rugi daya pada trafo distribusi.

$$\text{Rugi - rugi daya} = I^2 \cdot R \quad \dots \dots \dots \quad (2.9)$$

2.6. Minimalisasi Rugi Daya pada Sistem Distribusi

Seperti telah disinggung sebelumnya bahwa pada kebanyakan sistem distribusi dalam penyaluran tenaga listrik umumnya dioperasikan secara radial. Namun demikian, sistem radial tersebut dioperasikan dengan beberapa *improvisasi*. Biasanya terdapat *tie switch* yang tersedia untuk saling interkoneksi bagi beberapa bus beban (*load bus*) baik dalam satu *feeder* maupun berlainan *feeder*.

Kondisi tersebut sangat diperlukan demi memenuhi persyaratan sebagai suatu sistem yang cukup baik, terutama yaitu dalam hal kontinyuitas pelayanan. Hal ini dapat dijelaskan dengan melihat gambar 2.10.



Keterangan : ————— = *Switch Normally Close*
 ----- = *Switch Normally Open*

Gambar 2-10

Contoh Kondisi Gangguan pada Sistem Distribusi Radial

Suatu sistem penyaluran distribusi radial dari gardu induk mempunyai beberapa penyulang (*feeder*) yaitu *feeder A*, *B*, *C*. *Feeder A* mempunyai bus beban a₁, a₂, a₃,..., a₈. *Feeder B* mempunyai bus beban b₁, b₂, b₃,..., b₁₀. *Feeder C* mempunyai bus beban c₁, c₂, c₃,..., c₉. Jika pada *feeder A* terdapat gangguan pada bus a₃ sehingga menyebabkan putusnya saluran maka bus setelah bus a₃, yaitu bus a₅, a₆,..., a₉ akan mengalami pemanjangan total. Oleh karena itu, bus-bus yang mengalami pemanjangan total tersebut harus di *supply* dari *feeder* lain. Tanda (-----) menunjukkan bahwa pada saluran terdapat saklar (*switch normally open/NO switch*). Dari gambar dapat terlihat bahwa *NO Switch* terdapat diantara bus a₅ pada *feeder A* dengan bus b₄ pada *feeder B*. Jika pada

saat terjadi gangguan pada bus a3, maka *NC Switch* antara bus a3-a4 akan terbuka (*open*) dan *NO Switch* antara bus a5-b4 akan menutup (*close*) sehingga demikan bus-bus pada *feeder A* yang mengalami pemadaman total dapat diatasi. Hal yang sama juga dapat dilakukan pada *feeder B* dengan *feeder C* dengan *NO Switch* antara bus b9 dan c8.

Pada kenyataan di lapangan, lokasi dari bus-bus itu sendiri mempunyai lokasi yang tidak sama sehingga akan menggunakan konduktor yang panjangnya tidak sama. Kondisi ini tentunya akan membutuhkan resistansi dan reaktansi saluran yang berbeda-beda pula.

Dari permasalahan tersebut, maka diperlukan suatu upaya untuk dapat mengurangi kerugian daya yang terjadi. Dalam prakteknya, sebenarnya ada dua macam cara dalam upaya untuk mengurangi/meminimalisasi rugi-rugi daya pada sistem distribusi tenaga listrik, yaitu :

- Pemasangan/penginstalan kapasitor.
- Rekonfigurasi jaringan distribusi.

Selanjutnya pada skripsi ini, akan membahas mengenai upaya mengurangi kerugian daya yang terjadi pada saluran distribusi dengan melakukan rekonfigurasi jaringan yaitu memanfaatkan status dari *NC Switch* dan *NO switch*.

BAB III

METODE REKONFIGURASI

Dalam analisa metode rekonfigurasi diperlukan suatu proses aliran daya untuk mengetahui tegangan pada bus beban dan rugi-rugi daya pada saluran. Oleh karena itu, pembahasan selanjutnya membahas tentang proses analisis aliran daya menggunakan *Metode Newton Raphson* dan metode rekonfigurasi menggunakan *Metode Breeder Genetic Algorithm (BGA)*.

3.1. Analisa Aliran Daya^[4]

Dengan semakin kompleksnya problem di dalam sistem tenaga listrik, sebagai akibat dari meningkatnya permintaan konsumen, bertambahnya jumlah saluran transmisi dan distribusi, maka perlu adanya studi aliran daya dalam analisa sistem sehingga dilakukan perhitungan tegangan, arus, daya nyata dan daya reaktif yang terdapat pada berbagai titik dalam suatu jala-jala listrik pada keadaan pengoperasian normal untuk sekarang dan akan datang. Tujuan mempelajari aliran daya ini dilakukan untuk menentukan :

1. Aliran daya aktif dan daya reaktif pada cabang-cabang rangkaian.
2. Tidak adanya rangkaian yang mempunyai beban lebih dari tegangan *busbar* dalam batas-batas yang diterima.
3. Pengaruh penambahan atau perubahan pada suatu sistem.
4. Pengaruh hilangnya hubungan dalam keadaan darurat.
5. Kondisi optimum pembebanan sistem.
6. Kehilangan daya optimum sistem.

3.2. Pendekatan Studi Aliran Daya^[4]

Di dalam pengoperasian sistem tenaga listrik, parameter-parameter listrik yang perlu diperhatikan sehubungan dengan analisa aliran daya adalah besarnya nilai tegangan (V), sudut fasa tegangan (θ), daya nyata (P) dan daya reaktif (Q). Daya nyata (P) mempunyai ketergantungan yang kuat dengan besarnya nilai tegangan (V). Bila P dan Q berubah, maka θ dan V akan berubah pula, demikian sebaliknya. Di dalam analisa aliran daya terdapat tiga jenis variabel, yaitu :

1. Variabel bebas, misalnya V dan Q pada bus generator.
2. Variabel tidak bebas, misalnya P dan V pada bus generator.
3. Variabel yang tidak dapat diatur, misalnya kebutuhan konsumen.

3.3. Sistem Per-Unit^[4]

Untuk memudahkan perhitungan-perhitungan dalam sistem tenaga listrik digunakan sistem p.u. (per-unit) yang didefinisikan sebagai perbandingan harga yang sebenarnya dengan harga dasar (*base value*), sehingga dapat dirumuskan sebagai berikut.

$$\text{Besaran per-unit} = \frac{\text{besaran sebenarnya}}{\text{besaran dasar dengan kuantitas yang sebenarnya}} \dots\dots\dots(3-1)$$

Rumus-rumus yang digunakan untuk persamaan arus dasar dan impedansi dasar adalah :

- Untuk sistem satu fasa :

$$\text{Arus dasar} = \frac{\text{Dasar } KVA_{1\phi}}{\text{Tegangan Dasar, } kV_{LN}} \dots\dots\dots(3.2)$$

$$\text{Impedansi dasar} = \frac{\text{Tegangan Dasar, } V_{LN}}{\text{Arus Dasar}} \dots\dots\dots(3.3)$$

$$\text{Impedansi dasar} = \frac{(Tegangan Dasar, kV}_{LN})^2 \times 1000}{Dasar kVA_{1\phi}} \quad \dots \dots \dots (3.4)$$

- Untuk sistem tiga fasa :

$$\text{Arus dasar} = \frac{\text{Dasar kVA } 3\phi}{\sqrt{3} \times \text{Tegangan Dasar, } kV_L} \quad \dots \dots \dots (3.6)$$

$$\text{Impedansi dasar} = \frac{(Tegangan Dasar, kV_{LL})^2 \times 1000}{Dasar kVA_{3\phi}} \quad \dots \dots \dots (3.7)$$

$$\text{Impedansi dasar} = \frac{(Tegangan Dasar, kV_{LL})^2}{Dasar MVA} \quad \dots \dots \dots (3.8)$$

3.4. Klasifikasi Bus^[4]

Pada setiap simpul (rel atau bus) terdapat parameter-parameter sebagai berikut.

1. Daya nyata dinyatakan dengan P , satuannya *Watt* (W).
 2. Daya reaktif dinyatakan dengan Q , satuannya *Volt-Ampere Reactive* (VAR).
 3. Besar (*magnitude*) tegangan dinyatakan dengan $|V|$, satuannya *Volt* (V).
 4. Sudut fasa tegangan mempunyai simbol δ dengan satuan derajat.

Pada poin 1 dan 2 menyatakan daya yang dibangkitkan oleh generator yang mengalir ke bus. Jika pada bus terdapat beban, maka daya tersebut menyatakan selisih antara daya yang dibangkitkan dengan beban. Dalam analisis aliran daya, pada setiap busnya perlu diketahui dua parameter dari keseluruhan

empat parameter yang diperhitungkan. Dengan melihat kedua parameter yang diketahui, setiap bus dalam suatu sistem dapat diklasifikasikan menjadi tiga, yaitu:

1. Bus beban (*load bus*).
2. Bus generator.
3. Bus referensi (*slack bus*).

3.4.1. Bus Beban (*Load Bus*)

Pada bus ini terhubung beban-beban yang permintaan daya aktif dan daya reaktif jelas diketahui, sedangkan tegangan $|V|$ dan sudut fasa tegangan δ (sudut antara tegangan sisi kirim dan sisi terima) merupakan dua besaran yang akan dihitung nilainya.

3.4.2. Bus Generator (*Generator Bus*)

Pada bus ini terdapat generator-generator yang nilai tegangan dan daya aktifnya diketahui, sementara daya reaktif dan sudut fasa tegangan δ dihitung.

3.4.3. Bus Referensi (*Slack Bus*)

Pada bus ini, nilai daya aktif dan daya reaktif dibiarkan mengambang atau tidak diketahui. Hal ini dikarenakan daya yang dikirim kepada sistem oleh generator tidak dapat dipastikan terlebih dahulu. Besarnya daya aktif dan daya reaktif selain ditentukan oleh besarnya beban juga ditentukan oleh besarnya daya yang hilang atau rugi-rugi pada saluran, nilainya hanya dapat ditentukan pada akhir perhitungan. Pada bus ini, nilai tegangan masing-masing telah ditetapkan yaitu sebesar 1 p.u dan 0 derajat.

3.5. Metode *Newton Raphson*

Secara matematis persamaan aliran daya *Newton Raphson* dapat diselesaikan dengan menggunakan koordinat rektangular, koordinat polar atau bentuk hibrid (gabungan antara bentuk kompleks dengan bentuk polar). Dalam pembahasan skripsi ini, menggunakan bentuk polar.

Hubungan antara arus simpul I_p dengan tegangan V_q pada suatu jaringan dengan n simpul dapat dituliskan :

Injeksi daya pada simpul p adalah :

Dalam penyelesaian aliran daya dengan *Newton Raphson*, bentuk persamaan aliran daya yang dipilih adalah polar, dimana tegangan dinyatakan dalam bentuk polar, yaitu :

$$V_p^* = |V_p| e^{-j\delta p}$$

$$V_q = |V_q| e^{j\delta p}$$

$$V_{pq}^* = |V_{pq}| e^{-j\delta pq}$$

Maka persamaan dapat ditulis :

$$P_p - jQ_p = \sum_{a=1}^n |V_p V_q Y_{pq}| e^{-j(\delta p - \delta q + \delta pq)} \quad \dots \quad (3.12)$$

Dengan memisahkan bagian riil dan bagian imajiner maka diperoleh :

$$P_p = \sum_{q=1}^n |V_p V_q Y_{pq}| \cos(\delta_p - \delta_q + \delta_{pq}) \dots \quad (3.13)$$

$$Q_p = \sum_{q=1}^n |V_p V_q Y_{pq}| \sin(\delta_p - \delta_q + \delta_{pq}) \dots \quad (3.14)$$

Kedua persamaan akan menghasilkan suatu kumpulan persamaan serempak (*simultan*) yang tidak linier untuk setiap simpul sistem tenaga listrik. Untuk mengetahui *magnitude* tegangan (V) dan sudut fasa (δ) disetiap simpul dapat diselesaikan dengan menggunakan persamaan (3.13) dan (3.14) yang dilinierkan dengan *Metode Newton Raphson* yang dapat dilihat dari persamaan di bawah ini :

$$\begin{bmatrix} \Delta p \\ \Delta q \end{bmatrix} = \begin{bmatrix} H & N \\ M & L \end{bmatrix} \begin{bmatrix} \Delta \delta \\ \Delta |V| \end{bmatrix} \dots \quad (3.15)$$

Dimana :

ΔP = selisih injeksi bersih daya nyata dengan penjumlahan aliran daya nyata tiap saluran yang menghubungkan simpul dengan V yang didapat dari perhitungan iterasi ke-k.

ΔQ = selisih injeksi bersih daya reaktif dengan penjumlahan aliran daya nyata tiap saluran yang menghubungkan simpul dengan V yang didapat dari perhitungan iterasi ke-k.

$\Delta \delta$ = vektor koreksi sudut fasa tegangan.

$\Delta |V|$ = vektor koreksi *magnitude* tegangan.

H, L, M, N merupakan elemen-elemen *off diagonal* dari sub matriks *Jacobian* yang dibentuk dengan mendefinisikan persamaan (3.13) dan (3.14), dimana :

$$H_{pq} = \frac{\partial P_p}{\partial \delta_q} \quad N_{pq} = \frac{\partial P_p}{\partial V_q}$$

$$M_{pq} = \frac{\partial Q_p}{\partial \delta_q} \quad L_{pq} = \frac{\partial Q_p}{\partial V_q}$$

Persamaan diselesaikan untuk menghitung vektor koreksi *magnitude* tegangan $\Delta(V)$ dan sudut fasa tegangan ($\Delta\delta$) yang baru. Sehingga diperoleh harga *magnitude* tegangan dan sudut fasa yang baru, yaitu :

$$\delta^{k+1} = \delta^k + \Delta\delta^k \quad \dots \dots \dots \quad (3.19)$$

Proses perhitungan akan dilakukan berulang sampai selisih daya nyata dan daya reaktif antara yang dijadwalkan dengan yang dihitung, yaitu ΔP dan ΔQ untuk semua simpul mendekati nilai toleransi atau proses perhitungan iterasi mencapai *konvergen*.

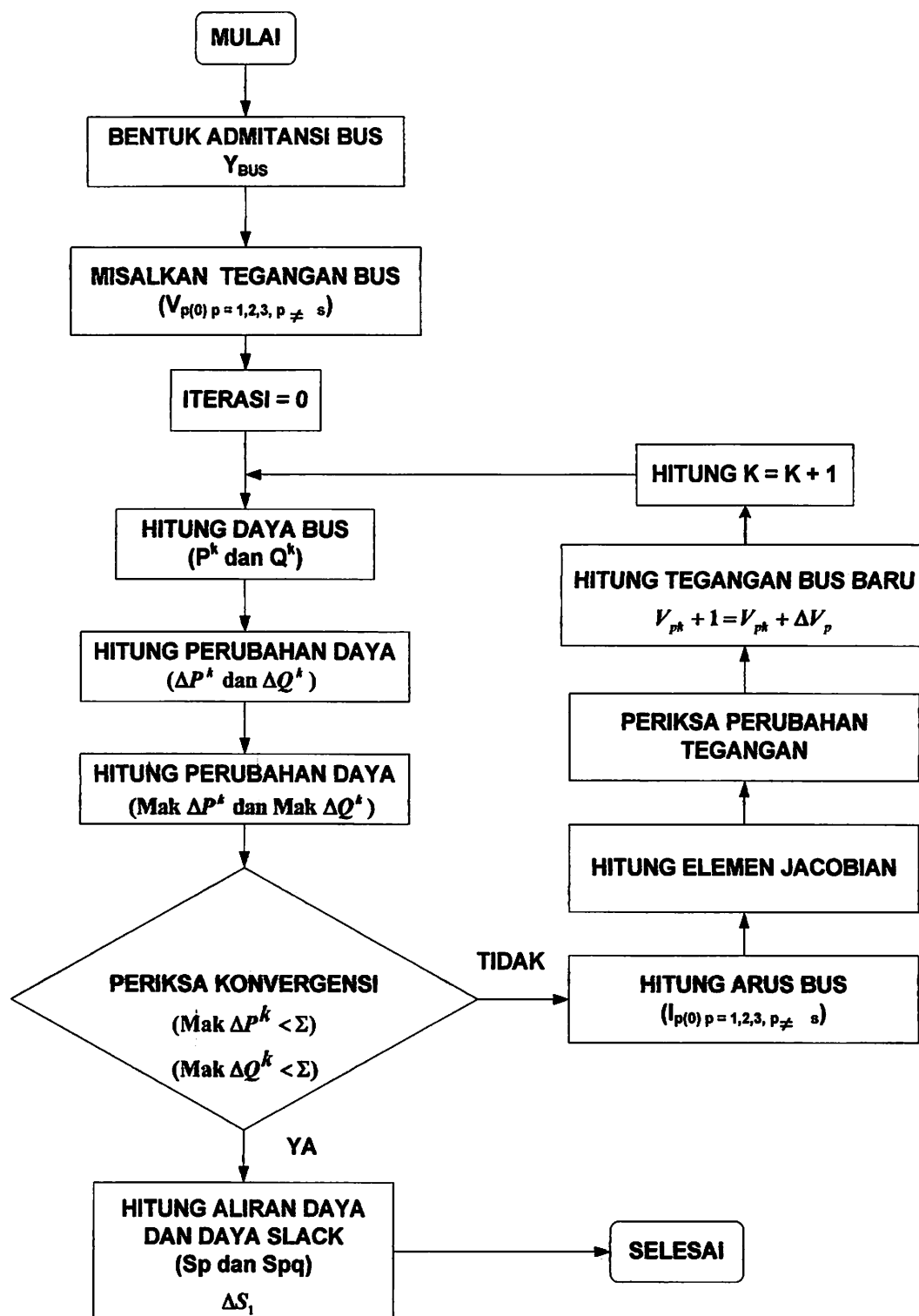
3.5.1. Algoritma Aliran Daya Newton Raphson

Algoritma aliran daya *Newton Raphson* :

1. Mulai.
 2. Bentuk admintansi Y bus.
 3. Tentukan nilai P_p (ditetapkan) dan Q_p (ditetapkan) yang mengalir ke dalam sistem pada setiap rel untuk nilai yang ditentukan atau nilai dari besar dan sudut tegangan untuk iterasi pertama atau tegangan yang ditentukan paling akhir untuk iterasi berikutnya.
 4. Iterasi = 0.
 5. Hitung daya bus (P^k dan Q^k).

6. Hitung perubahan daya (ΔP^k dan ΔQ^k).
7. Hitung perubahan daya (*Mak* ΔP^k dan ΔQ^k).
8. Periksa konvergensi (*Mak* $\Delta P^k < \Sigma$) (*Mak* $\Delta Q^k < \Sigma$).
9. Jika TIDAK, kembali ke langkah 8.
10. Hitung arus bus ($I_{p(0)p=1,2,3 \neq s}$).
11. Hitung nilai-nilai matriks *Jacobian* dengan menggunakan nilai-nilai perkiraan atau yang ditentukan dari besar sudut tegangan dalam persamaan untuk turunan parsial yang ditentukan dengan diferensiasi persamaan (3.13) dan (3.14).
12. Balikkan *Jacobian* itu dan hitung koreksi-koreksi tegangan $\Delta \delta q$ dan $\Delta |Vq|$ pada nilai sebelumnya.
13. Hitung nilai baru dari δq dan $|Vq|$ dengan menambah $\Delta \delta p$ dan $\Delta |Vq|$ pada nilai sebelumnya.
14. Kembali ke langkah pertama dan ulangi proses itu dengan menggunakan nilai untuk besar dan sudut tegangan yang ditentukan paling akhir sehingga semua nilai ΔP dan ΔQ atau semua nilai $\Delta \delta$ dan $\Delta |V|$ lebih kecil dari suatu indeks ketetapan yang dipilih.
15. Jika YA, hitung aliran daya dan daya *slack* (S_p dan S_{pq}) ΔS_1 .
16. Selesai.

3.5.1.1. Diagram Alir Aliran Daya Newton Raphson



Gambar 3-1

Diagram Alir Aliran Daya Newton Raphson

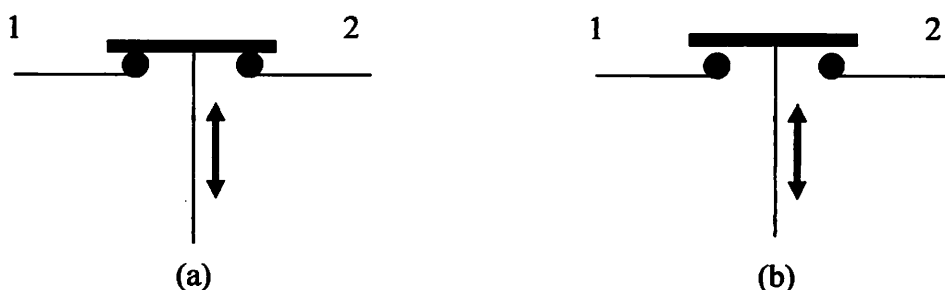
3.6. Metode Rekonfigurasi Jaringan

Proses menata awal konfigurasi awal dari jaringan (*initial condition*) menjadi suatu konfigurasi optimum akhir (*optimal condition*), sehingga dari konfigurasi yang terakhir ini diperoleh kerugian daya sistem distribusi yang paling kecil (aliran daya yang paling optimum).

Meskipun jaringan distribusi dioperasikan menggunakan sistem radial, namun besarnya sistem tersebut dikombinasikan ke dalam beberapa tipe. Tipe yang paling umum adalah model jaringan distribusi radial dengan *tie* dan *switch* pemisah.

Rekonfigurasi jaringan distribusi jaringan dapat dilakukan dengan mengatur kondisi dari *switch-switch* ini dalam keadaan terbuka (*on*) atau tertutup (*off*). *Switch* yang terdapat dalam jaringan distribusi terdapat dua macam :

1. *Normally Close Switch (NC Switch)* yang dalam keadaan operasi normal, posisi kontaknya selalu tertutup (*on*).
2. *Normally Open Switch (NO Switch)* yang dalam keadaan operasi normal, posisi kontaknya selalu terbuka (*off*).



Gambar 3-2

Diagram Skematik Tipe (a) NC Switch dan (b) NO Switch

Jadi jelaslah bahwa sebenarnya rekonfigurasi jaringan dalam sistem distribusi tenaga listrik adalah proses mengganti struktur *topologi* dari jaringan distribusi dengan mengubah status terbuka / tertutup dari *NO* / *NC Switch* sehingga dari proses ini bisa didapatkan aliran daya yang optimal pada sistem distribusi yang menyebabkan kerugiannya menjadi minimum dengan proses akhir sistem kembali radial.

3.7. Metode Algoritma Genetika^[5]

Algoritma Genetika merupakan metode *adaptive* yang biasa digunakan untuk memecahkan suatu pencarian nilai dalam sebuah masalah optimasi. Algoritma ini didasarkan pada proses genetic yang ada dalam makhluk hidup yaitu perkembangan generasi dalam sebuah populasi yang alami, secara lambat laun mengikuti prinsip seleksi alam “*siapa yang kuat, dia yang bertahan (survive)*”. Dengan proses ini, algoritma gentika dapat digunakan untuk mencari solusi permasalahan-permasalahan dalam dunia nyata.

Algoritma genetika ditemukan oleh John Holland pada tahun 1970 yang dilandasi oleh sifat-sifat evolusi alam. Holland percaya bahwa ini sangat cocok di gabungkan dalam sebuah algoritma komputer, menghasilkan sebuah teknik penyelesaian untuk permasalahan-permasalahan yang sulit dengan langkah alami yaitu melalui evolusi. John Holland mulai bekerja dengan algoritma yang dibentuk dari string-string biner 1 dan 0 yang disebut kromosom. Seperti halnya alam, algoritma ini menyelesaikan permasalahan-permasalahan dengan menemukan kromosom-kromosom yang baik dengan memanipulasi materi dan sifat (*gene*) kromosom-kromosom. Algoritma ini tidak mengetahui tipe

permasalahan yang akan diselesaikan. Hanya informasi yang telah diberikan dari *evaluasi* berupa nilai *fitness* setiap kromosom dengan nilai *fitness* yang terbaik yang bertahan hidup dan selalu diproduksi.

Sebelum algoritma genetika dijalankan maka sebuah kode yang sesuai (representasi) untuk persoalan harus dirancang. Titik solusi dalam ruang permasalahan dikodekan dalam bentuk kromosom/*string* yang terdiri dari komponen genetik terkecil yaitu gen. Pemakaian bilangan seperti *integer*, *floating point* dan abjad sebagai *allele* (nilai gen) memungkinkan penerapan operator genetika yaitu proses produksi (*reproduction*), pindah silang (*crossover*), mutasi (*mutation*) untuk menciptakan himpunan titik-titik solusi. Untuk memeriksaa hasil optimasi, kita membutuhkan fungsi fitness yang menandakan gambaran hasil (*solution*) yang sudah dikodekan. Selama proses, induk harus digunakan untuk reproduksi, pindah silang dan mutasi untuk menciptakan keturunan (*offspring*). Jika algoritma genetika didesain dengan baik, populasi akan mengalami konvergensi dan akan mendapatkan solusi yang optimum.

3.7.1. Istilah-Istilah Algoritma Genetika^[5]

Algoritma genetika menggunakan mekanisme genetika yang ada pada proses alami dan sistem buatan. Istilah-istilah yang digunakan adalah gabungan dari dua disiplin ilmu, yaitu ilmu biologi dan ilmu komputer. Mitsuo Gen dan Runwei Cheng (1997) menjelaskan istilah-istilah yang digunakan dalam algoritma genetika sebagai berikut :

Tabel 3-1

Istilah yang Digunakan dalam Algoritma Genetika

Istilah	Keterangan
Kromosom	Individu berupa segmen string yang sudah ditentukan
Gen	Bagian dari string
Loci	Posisi dari gen
Allele	Nilai yang dimasukkan dalam gen
Phenotype	String yang merupakan solusi terakhir
Genotype	Sejumlah string di hasil perkawinan yang berpotensi sebagai solusi

Terdapat beberapa parameter yang digunakan dalam proses algoritma genetika. Parameter tersebut digunakan untuk melihat kompleksitas dari algoritma genetika. Parameter yang digunakan tersebut adalah :

- **Jumlah Generasi (MAXGEN)**

Merupakan jumlah perulangan (iterasi) dilakukannya rekombinasi dan seleksi. Jumlah generasi ini mempengaruhi kestabilan *output* dan lama iterasi (waktu proses algoritma genetika). Jumlah generasi yang besar dapat mengarahkan ke arah solusi yang optimal, namun akan membutuhkan waktu yang lama. Sedangkan jika jumlah generasi terlalu sedikit maka solusi akan terjebak pada lokal optimum.

- **Ukuran Populasi (POPSIZE)**

Ukuran populasi mempengaruhi kinerja dan efektifitas dari algoritma genetika. Jika ukuran populasi kecil maka populasi tidak menyediakan cukup materi untuk mencakup ruang permasalahan, sehingga pada umumnya kinerja algoritma genetika menjadi buruk. Dalam hal ini dibutuhkan ruang yang lebih besar untuk mempersentasikan keseluruhan ruang permasalahan. Selain itu, penggunaan populasi yang besar dapat mencegah terjadinya konvergensi pada wilayah lokal.

- **Probabilitas Crossover (Pc)**

Probabilitas *crossover* ini digunakan untuk mengendalikan frekuensi operator *crossover*. Dalam hal ini dalam populasi terdapat $Pc \times POPSIZE$ struktur (individu) yang melakukan pindah silang. Semakin besar nilai probabilitas *crossover* maka semakin cepat struktur baru yang diperkenalkan dalam populasi, tetapi jika probabilitas *crossover* terlalu besar maka struktur dengan nilai fungsi objektif yang baik akan dapat hilang dengan lebih cepat dengan seleksi. Sebaliknya, jika probabilitas *crossover* terlalu kecil akan menghalangi proses pencarian dalam proses algoritma genetika.

- **Probabilitas Mutasi (Pm)**

Mutasi digunakan untuk meningkatkan variasi populasi dan tingkat mutasi yang terjadi. Kerena frekuensi terjadinya mutasi menjadi tersebut menjadi $Pm \times POPSIZE \times N$, dimana N adalah panjang struktur/gen dalam satu individu. Probabilitas mutasi yang rendah akan menyebabkan gen-gen yang berpotensi

tidak dicoba. Dan sebaliknya, tingkat mutasi yang tinggi akan menyebabkan keturunan semakin mirip dengan induknya. Dalam algoritma genetika, mutasi menjalankan aturan penting yaitu :

- Mengganti gen-gen yang hilang selama proses seleksi.
- Menyediakan gen-gen yang tidak muncul pada saat instalasi awal populasi.

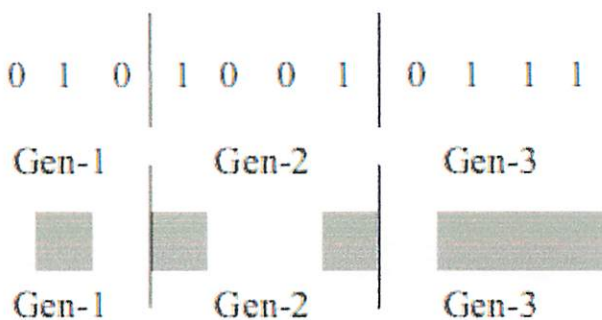
- **Panjang Kromosom (NVAR)**

Panjang kromosom berbeda-beda sesuai dengan model permasalahan. Titik solusi dalam ruang permasalahan dikodekan dalam bentuk kromosom/*string* yang terdiri dari komponen genetik terkecil yaitu gen. Pengkodeean dapat memakai bilangan seperti *string* biner, *integer*, *floating point* dan abjad.

3.7.2. Komponen-Komponen Utama pada Algoritma Genetika^[5]

3.7.2.1.Teknik Penyandian

Teknik penyandian disini meliputi penyandian gen dari kromosom. Gen merupakan bagian dari kromosom. Satu gen biasanya akan mewakili satu variabel. Gen dapat dipresentasikan dalam bentuk : *string bit*, pohon, *array* bilangan *real*, daftar aturan, elemen program, elemen permutasi, atau representasi lainnya yang dapat di implementasikan untuk operator genetika. Gambar 3-3 menunjukkan representasi *string bit*.



Gambar 3-3

Representasi String Bit^[5]

Demikian juga, kromosom dapat dipresentasikan menggunakan :

- *String bit* : 10011, 01101, 11101, dst.
- Bilangan *real* : 65.66, -67.98, 562.88, dst.
- Elemen permutasi : E2, E5, E10, dst.
- Daftar aturan : R1, R2, R3, dst.
- Elemen program : pemrograman genetika.
- Struktur lainnya

3.7.2.2. Prosedur Inisialisasi^[5]

Ukuran populasi tergantung pada masalah yang akan dipecah dan jenis operator genetika yang akan diimplementasikan. Setelah ukuran populasi ditentukan lalu dilakukan inisialisasi terhadap kromosom yang terdapat pada populasi tersebut. Inisialisasi kromosom dilakukan secara acak namun harus tetap memperhatikan domain solusi dan kendala permasalahan yang ada.

3.7.2.3.Fungsi Evaluasi^[5]

Ada 2 (dua) hal yang harus dilakukan dalam melakukan evaluasi kromosom yaitu :

- Evaluasi fungsi objektif (fungsi tujuan)
- Konversi fungsi objektif ke dalam funsi *fitness*

Selain secara umum, fungsi fitness diturunkan dari fungsi objektif dengan nilai yang tidak negatif. Apabila ternyata nilai dari fungsi objektif adalah negatif maka perlu ditambahkan suatu konstanta c agar nilai *fitness* yang terbentuk menjadi positif.

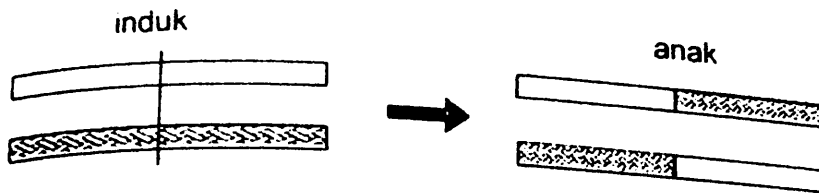
3.2.7.4.Seleksi^[5]

Seleksi ini bertujuan untuk memberikan kesempatan reproduksi yang lebih besar bagi anggota populasi yang paling fit. Seleksi akan menentukan individu-individu mana saja yang akan dipilih untuk dilakukan rekombinasi dan bagaimana *offspring* terbentuk dari individu-individu tersebut. Langkah pertama yang harus dilakukan dalam seleksi ini adalah pencarian nilai *fitness*. Masing-masing individu dalam suatu wadah seleksi akan menerima probabilitas reproduksi yang tergantung pada nilai objektif dirinya sendiri terhadap nilai objektif dari semua individu dalam wadah seleksi tersebut. Nilai *fitness* inilah yang nantinya akan digunakan pada tahap-tahap seleksi berikutnya.

3.2.7.5.Operator Genetika^[5]

1. Crossover (Pindah Silang)

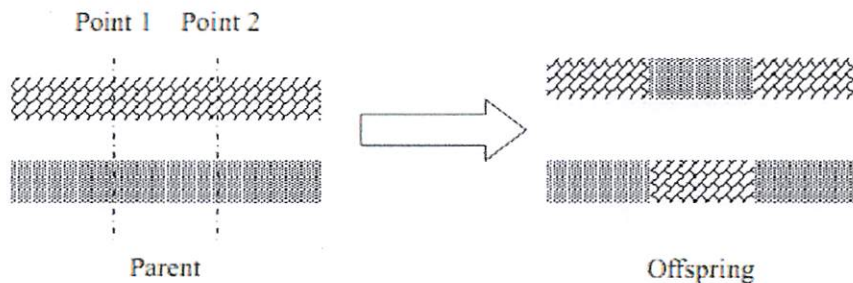
Fungsi dari *crossover* adalah menghasilkan kromosom anak dari kombinasi materi-materi dua kromosom induk. Cara kerjanya dengan membangkitkan sebuah nilai random r_k dimana $k = 1, 2, 3, \dots, \text{POPSIZE}$. Probabilitas *crossover* (P_c) ditentukan dan digunakan untuk mengendalikan frekuensi operator *crossover*. Apabila nilai $r_k < P_c$ maka kromosom ke- k terpilih untuk mengalami *crossover*. *Crossover* yang paling sederhana adalah *one point crossover*. Posisi titik persilangan (*point*) di tentukan secara random pada *range* satu sampai panjang kromosom. Kemudian nilai *offspring* diambil dari dua *parent* tersebut dengan batas titik persilangan tersebut. Ilustrasi kerja operator ini digambarkan seperti pada gambar 3-4.



Gambar 3-4

Ilustrasi Operator dengan One Point Crossover^[5]

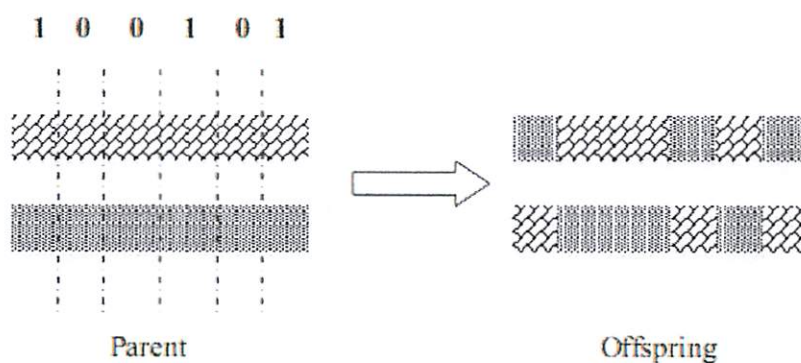
Kemudian ditingkatkan lagi dengan menggunakan *two point crossover*. Penentuan posisi titik persilangan sama seperti *one point crossover* sebelumnya. Pemilihan secara random dilakukan dua kali. Kemudian nilai *offspring* diambil dari dua *parent* tersebut dengan batas dua titik persilangan tersebut. Ilustrasi kerja operator ini digambarkan seperti pada gambar 3-5.



Gambar 3-5

Ilustrasi Operator dengan Two Point Crossover^[5]

Untuk *crossover uniform* dibangkitkan suatu nilai random 0 dan 1 sepanjang jumlah kromosom untuk nilai loci. Jika nilai yang dibangkitkan mempunyai nilai 1 maka *allele parent 2* dan *offspring 2* untuk loci tersebut diambil dari *allele parent 1* dan *offspring 2* untuk loci tersebut diambil dari *allele parent 2*. Ilustrasi kerja operator ini digambarkan seperti pada gambar 3-6.



Gambar 3-6

Ilustrasi Operator dengan Uniform Crossover^[5]

2. Mutasi (*Mutation*)^[5]

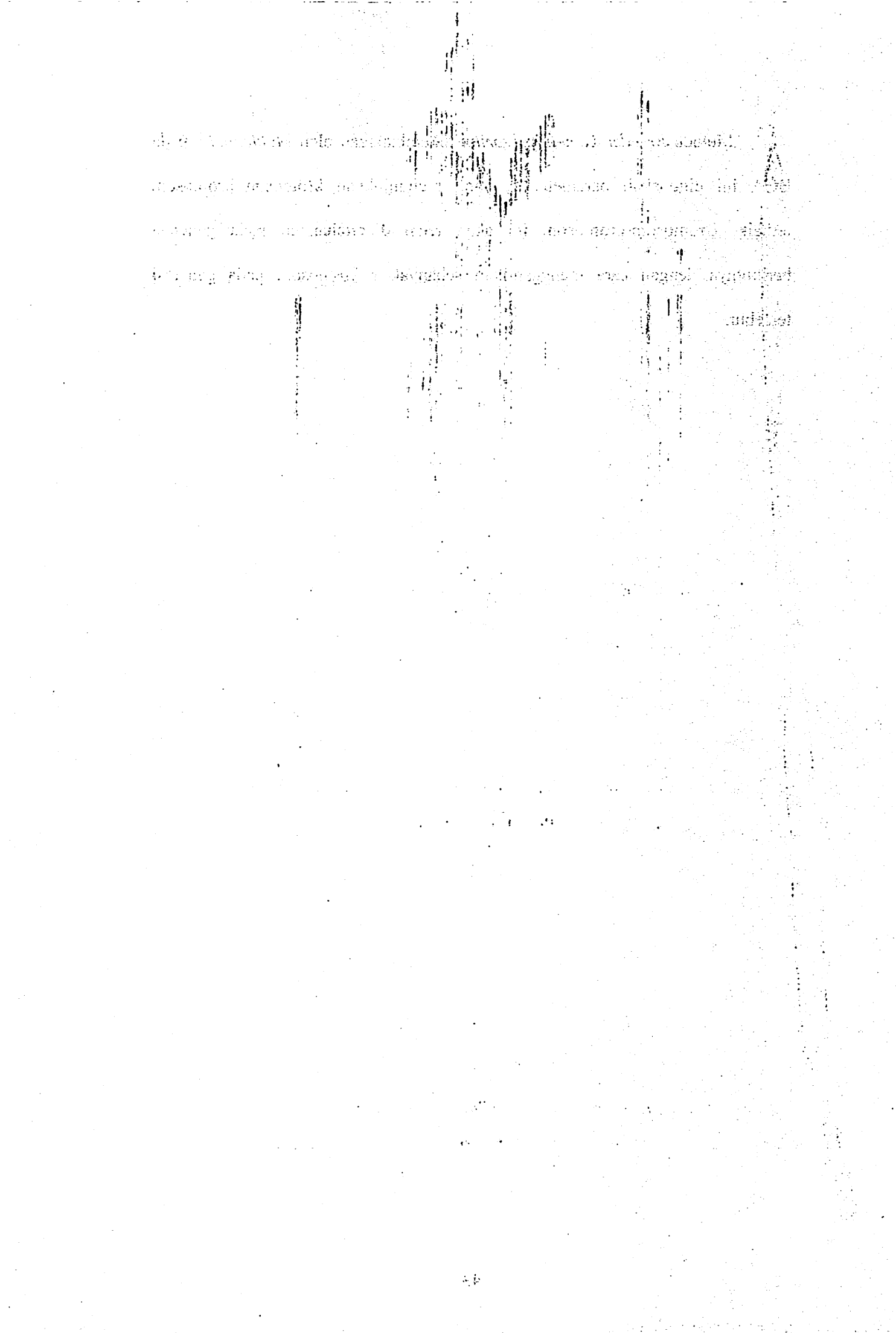
Operator mutasi digunakan untuk memodifikasi satu atau lebih gen dalam satu individu. Cara kerjanya dengan membangkitkan sebuah nilai random r_k , dimana $k = 1, 2, 3, \dots, NVAR$ (panjang kromosom). Probabilitas mutasi (Pm) ditentukan dan digunakan untuk mengendalikan frekuensi operator mutasi. Apabila nilai $r_k < Pm$ maka gen ke-k kromosom tersebut terpilih untuk mengalami mutasi. Mutasi dengan mengganti gen 0 dengan 1 atau sebaliknya gen 1 dan 0. Biasanya disebut *flip*, yaitu membalik nilai 0 ke 1 atau 1 ke 0.

Fungsi dari operator mutasi adalah untuk menghindari agar solusi masalah yang diperoleh bukan merupakan solusi optimum lokal. Seperti halnya pada operator *crossover*, tipe dan implementasi dari operator mutasi bergantung pada jenis pengkodean dan permasalahan yang dihadapi. Seberapa sering mutasi dilakukan dinyatakan dengan suatu probabilitas mutasi (Pm). Posisi elemen pada kromosom yang akan mutasi ditentukan secara random. Mutasi dikerjakan dengan cara melakukan perubahan pada elemen tersebut.

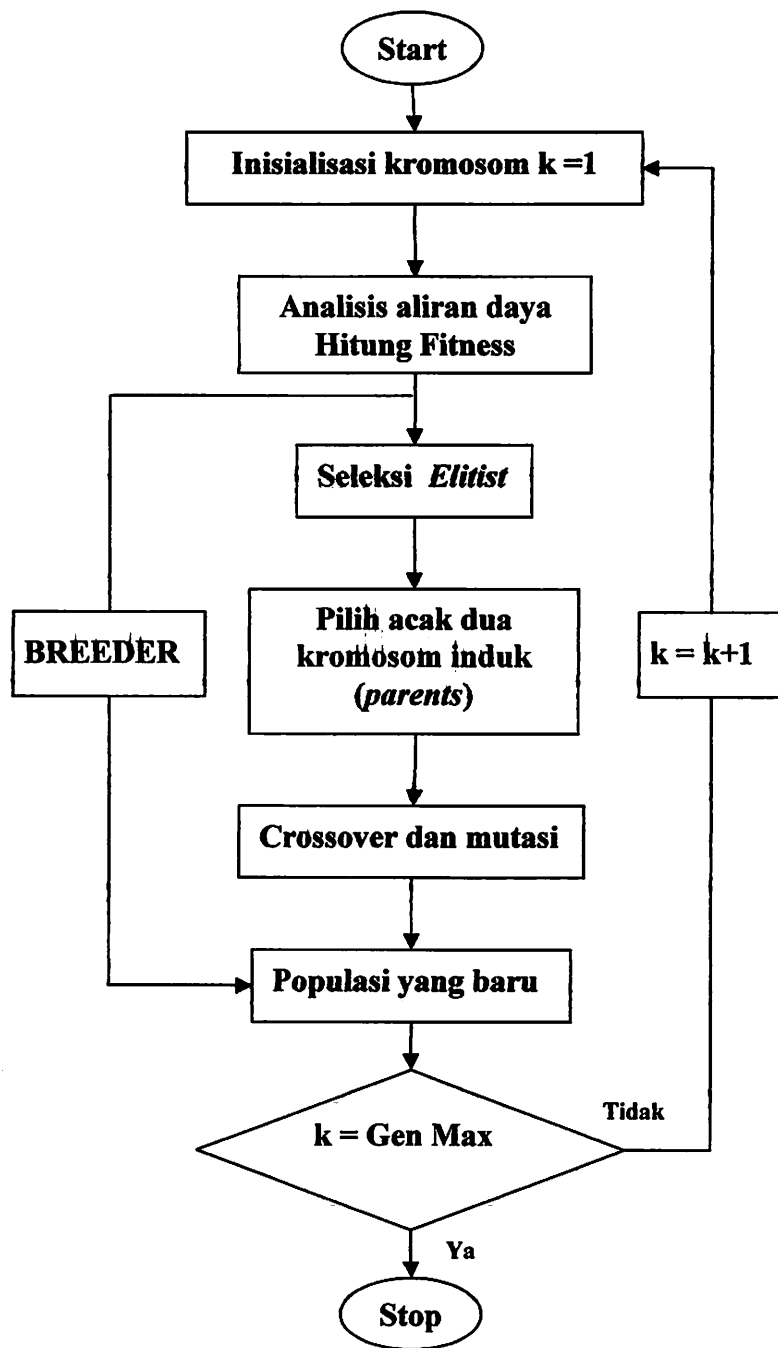
3.8. Breeder Genetic Algorithm (BGA)^[5]

Metode seleksi dalam algoritma genetika dilakukan secara random/acak, sehingga ada kemungkinan bahwa kromosom yang sebenarnya sudah baik tidak bisa turut serta pada generasi berikutnya karena tidak lolos seleksi. Untuk itu perlu adanya perbaikan pada algoritma genetika yang dikenal dengan nama *Breeder Genetic Algorithm* (BGA).

Metode *Breeder Genetic Algorithm* dikembangkan oleh *Muhlenbein*, pada BGA ini digunakan parameter r , yang menunjukkan kromosom-kromosom terbaik. Kromosom-kromosom ini akan tetap dipertahankan pada generasi berikutnya dengan cara menggantikan sebanyak r kromosom pada generasi tersebut.



3.8.1. Flowchart Metode Breeder Genetic Algorithm



Gambar 3-7

Flowchart Breeder Genetic Algorithm (BGA)

BAB IV

ANALISA REKONFIGURASI DENGAN PROGRAM MENGGUNAKAN METODE *BREEDER GENETIC ALGORITHM* PADA JARINGAN DISTRIBUSI PRIMER TRAFO II DI G.I. BANGIL

4.1. Sistem Distribusi Tenaga Listrik 20 kV G.I. Bangil pada Trafo II

Sistem pendistribusian pada G.I. Bangil menggunakan sistem distribusi tipe radial yang melayani beberapa penyulang, diantaranya adalah penyulang Kalikunting, Kenep, Pesanggrahan, Kebon Candi dan Gunung Gangsir (*single line diagram* dan data – data penyulang dapat dilihat pada lampiran B), yang menggunakan tegangan dasar 20 kV dan daya dasar 30 MVA.

Untuk menyelesaikan perhitungan aliran daya terlebih dahulu kita harus menentukan *single line diagram* sesuai dengan langkah – langkah yang dapat dilihat pada sub bab 4.1.1 di bawah ini.

4.1.1. Menentukan *Single Line Diagram* menggunakan *Software ETAP 7.0.4*

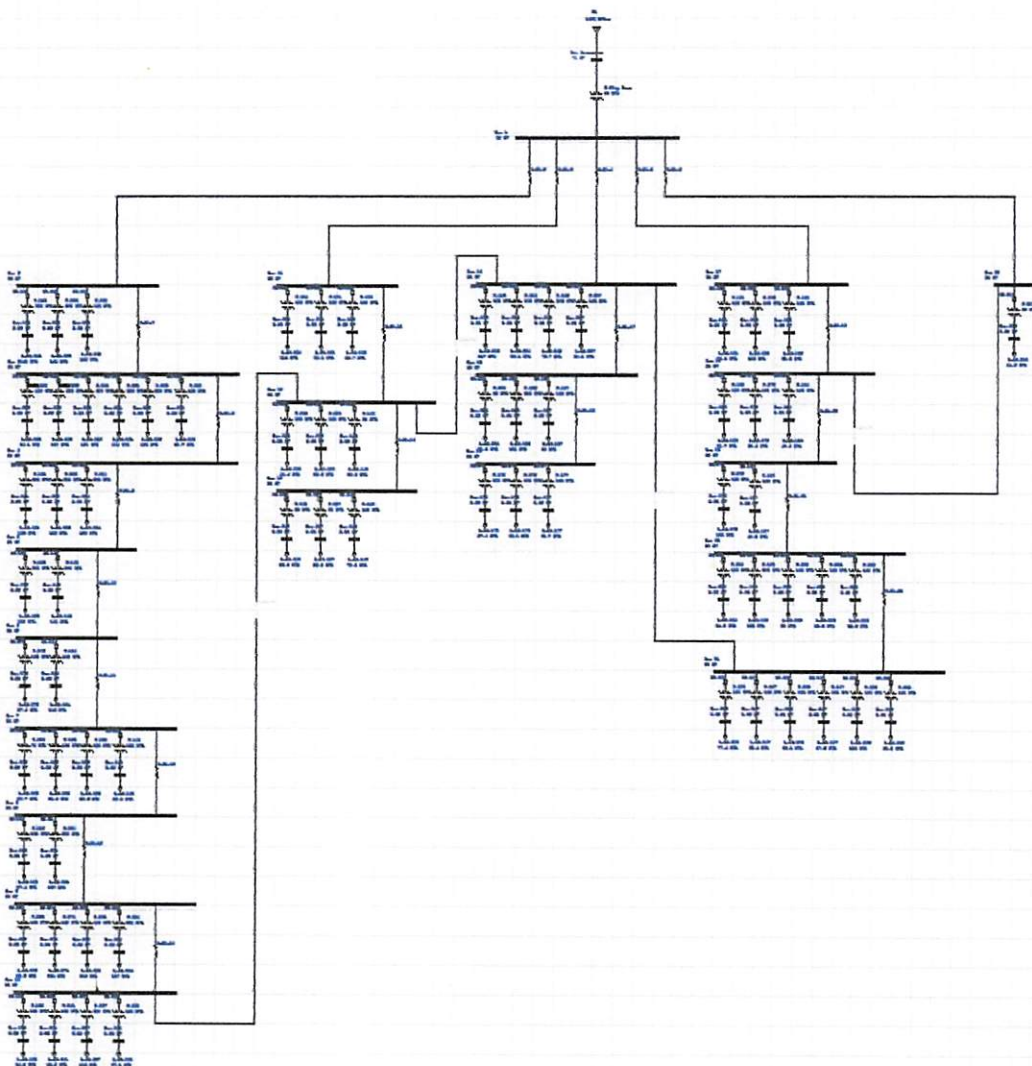
Analisa data diawali dengan menentukan *single line* pada *software ETAP 7.0.4*. Untuk itu, di perlukan data – data *single line diagram* dari tiap – tiap penyulang yang ada pada G. I. Bangil.

Pertama – tama, kita harus menentukan berapa jumlah *bus* pada tiap – tiap penyulang yang ada. Untuk menentukan jumlah *bus*, kita lihat dari banyaknya jumlah trafo – trafo beban yang dipisahkan oleh LBS (*Load Breaker Switch*). Setiap jumlah trafo yang dipisahkan oleh LBS disebut dengan *bus* beban. Misalkan pada penyulang Kalikunting, *bus* 3 terdiri dari 3 buah trafo beban yang

dipisahkan oleh sebuah LBS, *bus 4* terdiri dari 6 buah trafo beban yang dipisahkan oleh sebuah LBS, dst.

Setelah itu, kita lihat sambungan *switch* antar penyulang yang ada pada tiap – tiap *single line diagram*. *Switch normally open* pada *single line diagram* dinyatakan dengan nama LBS Manuver. Misalkan pada *bus 11* penyulang Kalikunting terdapat sebuah LBS Manuver yang terhubung pada *bus 13* penyulang Kenep, dst.

Untuk lebih jelasnya, *single line diagram* dalam bentuk ETAP 7.0.4 dapat dilihat pada gambar 4-1.

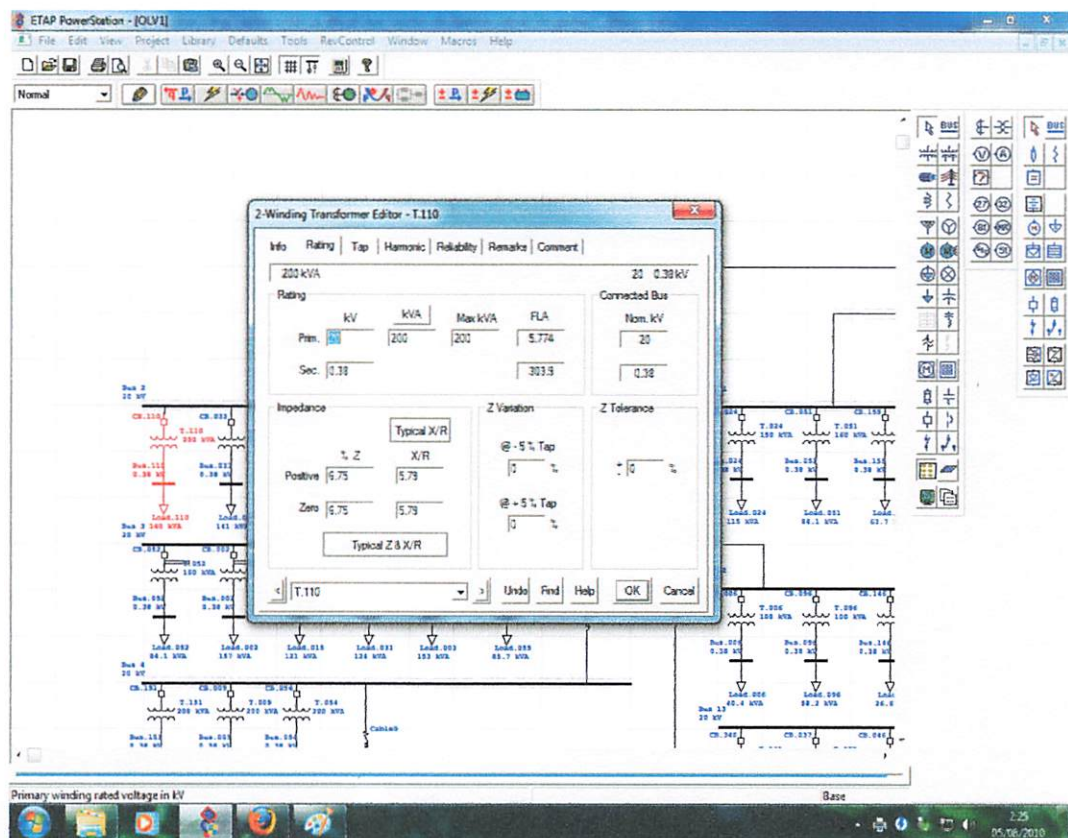


Gambar 4-1

Single line diagram G.I Bangil

Gambar 4-1 menunjukkan tampilan gambar *single line* diagram pada gardu induk Bangil yang digambar dalam bentuk software ETAP 7.0.4. Gambar ini dibuat berdasarkan data dari PT. PLN Persero cabang Bangil – Pasuruan.

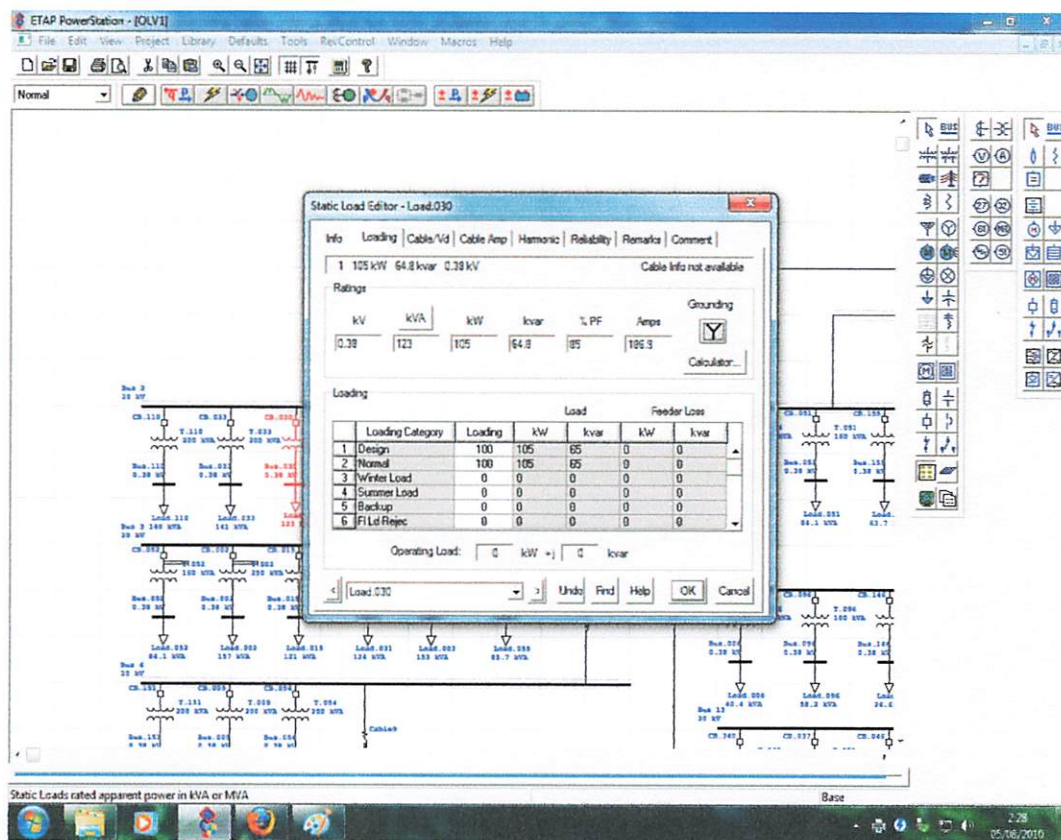
Kemudian dilanjutkan dengan mengisi data pada tiap trafo beban (data dapat dilihat pada lampiran B). Data yang digunakan adalah data kapasitas trafo (kVA) dan data pembebanan (kVA) pada setiap trafo. Pengisian inputan data kapasitas trafo dapat dilihat pada gambar 4-2.



Gambar 4-2

Tampilan pengisian inputan data kapasitas trafo pada software ETAP 7.0.4

Setelah mengisi data kapasitas trafo, kemudian dilanjutkan dengan mengisi data pembeban pada tiap – tiap trafo yang ada. Tampilan pengisian data pembeban pada tiap – tiap trafo ditunjukkan oleh gambar 4-3.



Gambar 4-3

Tampilan pengisian inputan data beban tiap trafo pada software ETAP 7.0.4

Pengisian data – data, dimaksudkan untuk mengetahui nilai pembebanan P (MW) dan Q (MVar) pada tiap – tiap trafo beban yang ada. Seperti ditunjukkan pada gambar 4-4.

Project:	ETAP PowerStation							Page:	3		
Location:	4.0.0C							Date:	08-09-2010		
Contract:								SN:	KLGCNSULT		
Engineer:	Study Case: LF							Revision:	Base		
Filename:	coba							Config:	Normal		
<hr/>											
Bus		Initial Voltage		Generator		Motor Load		Static Load		Mvar Limits	
ID	Type	kV	% Mag.	Ang.	MW	Mvar	MW	Mvar	Mvar	Max.	Min.
Trafo.057	Load	0.380	100.0	0.0						0.011	0.014
Trafo.058	Load	0.380	100.0	0.0						0.096	0.060
Trafo.042	Load	0.380	100.0	0.0						0.061	0.033
Trafo.046	Load	0.380	100.0	0.0						0.067	0.041
Trafo.047	Load	0.380	100.0	0.0						0.038	0.036
Trafo.051	Load	0.380	100.0	0.0						0.071	0.044
Trafo.052	Load	0.380	100.0	0.0						0.071	0.044
Trafo.054	Load	0.380	100.0	0.0						0.038	0.034
Trafo.055	Load	0.380	100.0	0.0						0.073	0.045
Trafo.062	Load	0.380	100.0	0.0						0.093	0.057
Trafo.063	Load	0.380	100.0	0.0						0.059	0.061
Trafo.072	Load	0.380	100.0	0.0						0.038	0.036

Gambar 4-4

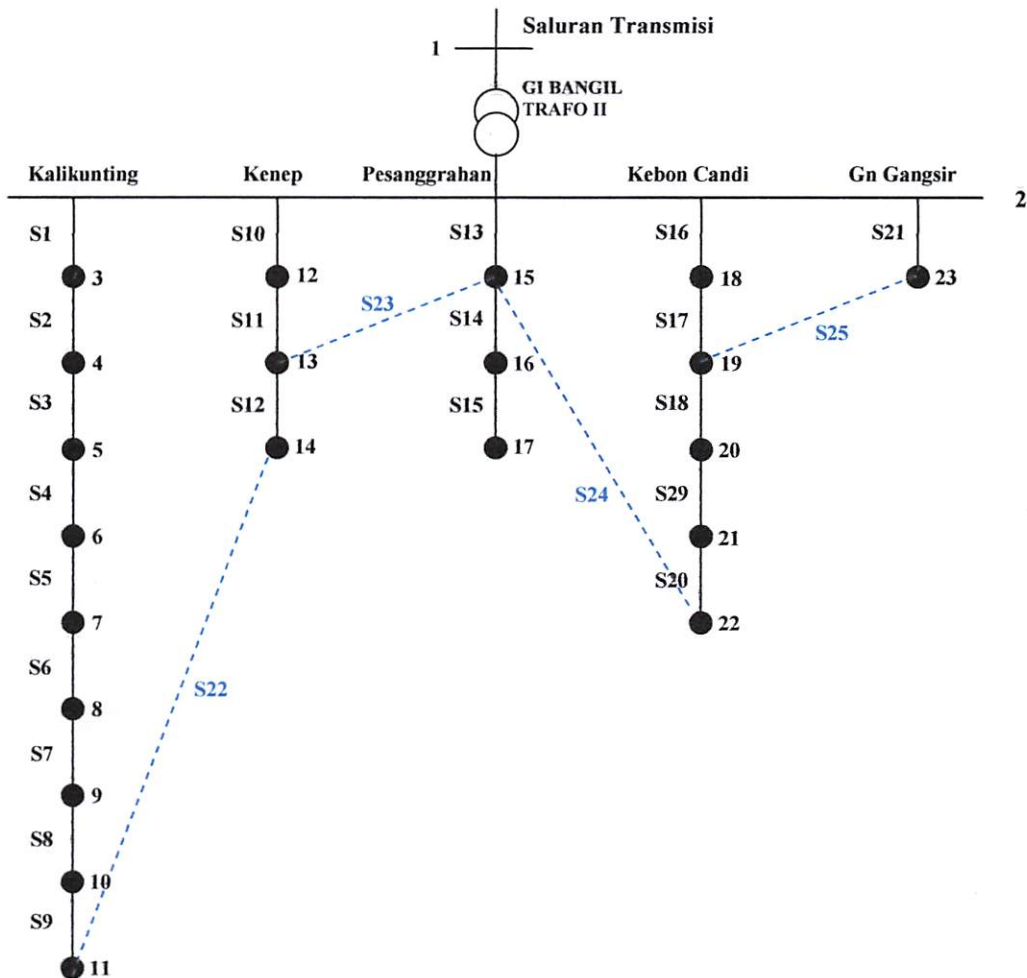
Tampilan hasil perhitungan aliran daya untuk nilai P dan Q

pada tiap – tiap trafo beban pada software ETAP 7.0.4

Gambar di atas merupakan tampilan hasil perhitungan untuk nilai P dan Q pada tiap – tiap trafo beban yang ada. (Data – data tiap trafo selengkapnya dapat dilihat pada lampiran B).

4.1.2. Single Line Diagram G.I. Bangil

Setelah menentukan *single line diagram* dengan menggunakan *software* ETAP 7.0.4, maka dapat kita ketahui bentuk dari sistem pendistribusian pada G. I. Bangil seperti pada gambar 4-5 di bawah ini.



Keterangan : ● = Bus beban

— = Switch NC (Normally Closed)

- - - = Switch NO (Normally Open)

Gambar 4-5

Konfigurasi Jaringan Radial dari Single Line Diagram GI Bangil

(Kondisi Awal)

Gambar di atas merupakan konfigurasi radial dari *single line diagram* GI Bangil, dimana daya dasar dari trafo adalah sebesar 30 MVA. Trafo ini melayani beberapa penyulang diantaranya adalah penyulang Kalikunting, penyulang Kenep, penyulang Pesanggrahan, penyulang Kebon Candi dan penyulang Gunung Gangsir dengan tegangan dasar 20 kV. Penyulang Kalikunting terdiri atas 9 *bus* beban dengan 9 *switch normally closed* dan 1 *switch normally open (switch 22)* yang terhubung dengan *bus* ke 13 pada penyulang Kenep. Penyulang Kenep terdiri atas 3 *bus* beban dengan 3 *switch normally closed* dan 1 *switch normally open (switch 23)* yang terhubung dengan *bus* 14 pada penyulang Pesanggrahan. Penyulang Pesanggrahan terdiri atas 3 *bus* beban dengan 3 *switch normally closed* dan 1 *switch normally open (switch 24)* yang terhubung dengan *bus* ke 21 pada penyulang Kebon Candi. Penyulang Kebon Candi terdiri atas 5 *bus* beban dengan 5 *switch normally closed* dan 1 *switch normally open (switch 25)* yang terhubung dengan *bus* 22 pada penyulang Gunung Gangsir. Penyulang Gunung Gangsir terdiri atas 1 *bus* beban dengan 1 *switch normally closed*.

4.2. Inputan Data

Sistem pendistribusian pada G.I. Bangil menggunakan tegangan dasar 20 kV dan daya dasar 30 MVA. Sehingga dapat ditetapkan :

- P dasar : 20 kV
- V dasar : 30 MVA

4.2.1. Data Pembebanan

Data yang digunakan sebagai inputan pembebanan adalah data pembebanan dari setiap *bus* yang ada pada masing – masing penyulang. Untuk mendapatkan nilai pembebanan pada tiap bus, maka kita harus menjumlahkan nilai pembebanan dari trafo – trafo beban yang ada pada setiap *bus*. Contoh :

Data pada *bus* 3 :

Bus 3 terdiri atas 3 trafo beban, yaitu T.030, T.033, T.110.

$$T.030 = 123 \text{ kVA} ; T.033 = 141 \text{ kVA} ; T.110 = 140 \text{ kVA}.$$

- $P = [V][I] \cos \varphi^{[2.3.1]}$

$$P = (123 + 141 + 140) \times 0.85 = 343.4 \text{ kW} = 0.34 \text{ MW.}$$

- $Q = [V][I] \sin \varphi^{[2.3.2]}$

$$\varphi = \cos^{-1} 0.85 = 31.778 ; \sin \varphi = \sin 31.778 = 0.53$$

$$Q = (123 + 141 + 140) \times 0.53 = 214.65 \text{ kVar} = 0.21 \text{ MVar.}$$

Dengan cara yang sama seperti pada contoh diatas untuk *bus* yang lainnya maka diperoleh hasil seperti pada tabel 4-1.

Tabel 4-1

Data pembebanan tiap Bus

Bus	P Bus (MW)	Q Bus (MVar)
1	-	-
2	-	-
3	0.34	0.21
4	0.61	0.38
5	0.32	0.20

6	0.23	0.14
7	0.18	0.11
8	0.19	0.12
9	0.19	0.12
10	0.35	0.22
11	0.31	0.19
12	0.22	0.14
13	0.11	0.07
14	0.11	0.07
15	0.31	0.20
16	0.21	0.13
17	0.14	0.08
18	0.26	0.16
19	0.15	0.09
20	0.14	0.09
21	0.35	0.22
22	0.36	0.22
23	0.01	0.01

18	19	20	AAAC	150	0.395
19	20	21	AAAC	150	2.095
20	21	22	AAAC	150	5.496
21	2	23	AAAC	150	1.660
22	11	13	AAAC	150	1.171
23	13	15	AAAC	150	0.285
24	15	22	AAAC	150	1.224
25	19	23	AAAC	150	2.265

Pada tabel 4-2 terlihat data saluran yang mana jaringan distribusi GI Bangil Trafo II menggunakan kabel saluran udara dengan jenis konduktor yang digunakan adalah AAAC dengan penampang nominal 150 mm^2 dan impedansi saluran $0.2162 + j 0.3305 \Omega$. Untuk menghitung data saluran antar *bus* maka diberikan contoh sebagai berikut.

- Contoh perhitungan data saluran antara *bus* 3 ke *bus* 4.

Jarak antara *bus* dari 3 ke 4 dengan panjang = 2.057 km

$$R = 2.057 \text{ km} \times R \text{ saluran} = 2.057 \times 0.2162 = 0.443 \Omega/\text{km}.$$

$$X = 2.057 \text{ km} \times X \text{ saluran} = 2.057 \times 0.3305 = 0.678 \Omega/\text{km}.$$

Dengan cara yang sama seperti pada contoh diatas untuk saluran yang lainnya maka diperoleh hasil seperti pada tabel 4-3.

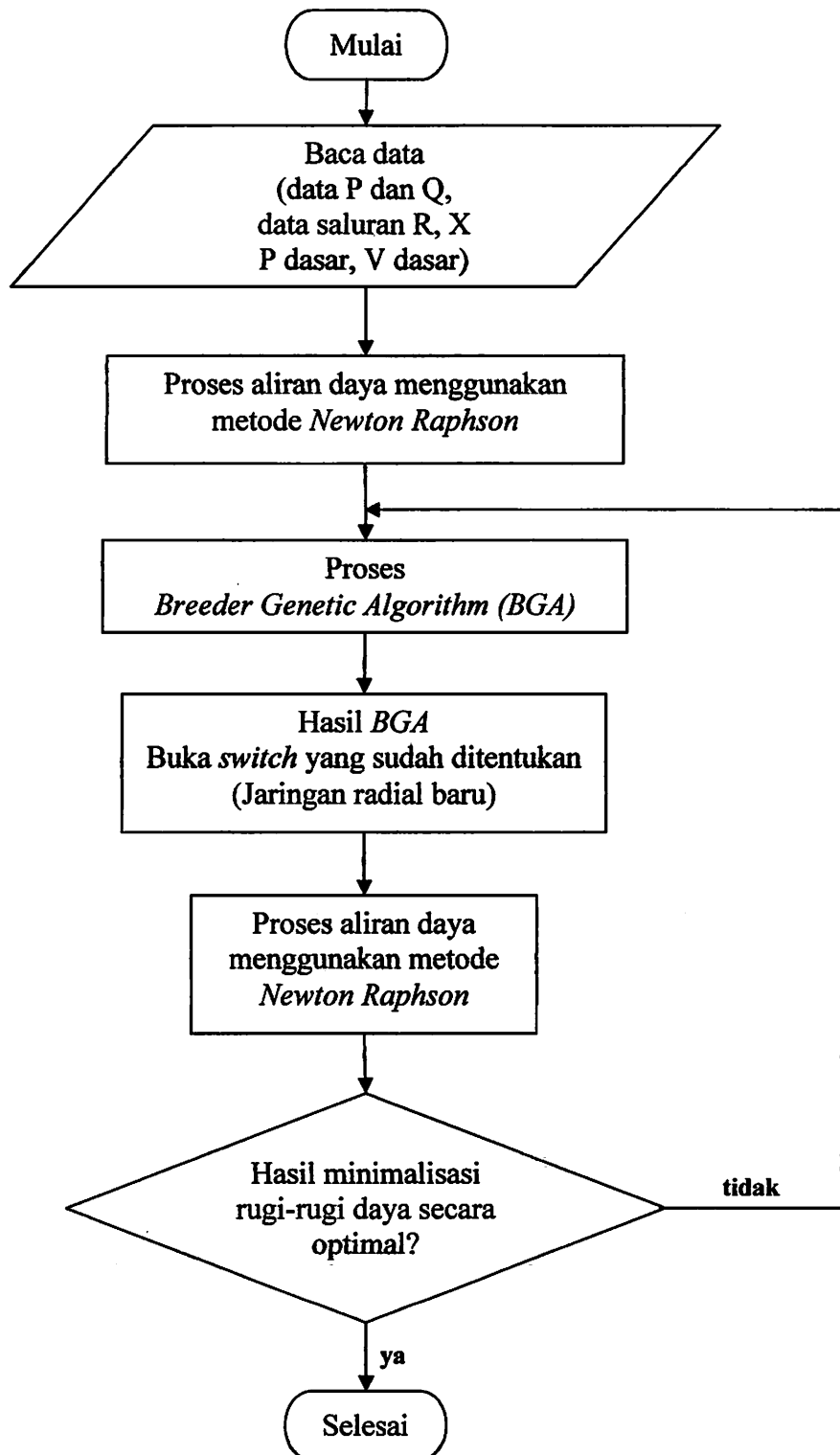
Tabel 4-3

Hasil Perhitungan Saluran GI Bangil

Dari Bus	Ke Bus	Jarak (km)	R (Ω/km)	X (Ω/km)
2	3	6.105	1.320	1.627
3	4	2.057	0.443	0.678
4	5	0.325	0.071	0.109
5	6	0.784	0.169	0.259
6	7	1.140	0.246	0.376
7	8	2.691	0.580	0.887
8	9	0.272	0.060	0.092
9	10	0.555	0.120	0.184
10	11	0.314	0.066	0.100
2	12	1.840	0.458	0.568
12	13	0.261	0.055	0.084
13	14	2.317	0.498	0.761
2	15	5.180	1.380	1.588
15	16	2.058	0.443	0.678
16	17	2.254	0.487	0.745
2	18	9.559	2.366	2.935
18	19	1.390	0.301	0.460
19	20	0.395	0.087	0.134
20	21	2.095	0.454	0.694
21	22	5.496	1.188	1.816

2	23	1.660	0.356	0.544
11	13	1.171	0.386	0.103
13	15	0.285	0.061	0.094
15	22	1.224	0.264	0.404
19	23	2.265	0.859	0.229

4.3. Flowchart penyelesaian masalah



Gambar 4-6

Flowchart Penyelesaian Masalah

4.3.1. Algoritma *Flowchart* Penyelesaian Masalah

1. Mulai.
2. Memasukkan inputan data (data beban P,Q, data saluran R,X, P dasar dan V dasar).
3. Memulai proses aliran daya dengan menggunakan metode *Newton Raphson*.
4. Setelah dilakukan proses aliran daya, kemudian dilanjutkan dengan proses *Breeder Genetic Algorithm*.
5. Dari hasil proses *Breeder Genetic Algorithm* dihasilkan konfigurasi jaringan radial yang baru dimana akan diketahui *switch – switch* mana yang akan terbuka atau tertutup.
6. Dilakukan lagi proses aliran daya dengan menggunakan metode *Newton Raphson*.
7. Periksa hasil minimalisasi rugi – rugi daya. Apakah terjadi minimalisasi?
8. Jika TIDAK, kembali ke langkah 4 (empat).
9. Jika YA, proses selesai.
10. Selesai.

4.4. Analisa menggunakan MATLAB 7.1

Analisa diawali dengan memasukkan data – data yang ada kemudian dilanjutkan dengan proses aliran daya dengan metode *Newton Raphson* untuk mengetahui tegangan dan sudut fasa tiap *bus* sebelum rekonfigurasi. Kemudian dilanjutkan dengan proses *Breeder Genetic Algorithm*. Dari hasil proses *Breeder Genetic Algorithm* dihasilkan konfigurasi jaringan radial yang baru dimana akan diketahui *switch – switch* mana yang akan terbuka atau tertutup.

4.4.1. Inputan Data Pembebanan

Dengan menggunakan data pada tabel 4-1 maka tampilan inputan data pembebanan dapat dilihat pada gambar 4-7 di bawah ini.

Bus #	Load	
	P (MW)	Q (MVar)
1	-	-
2	-	-
3	0.34	0.21
4	0.61	0.38
5	0.32	0.20
6	0.23	0.14
7	0.18	0.11
8	0.19	0.12
9	0.19	0.12
10	0.35	0.22
11	0.31	0.19
12	0.22	0.14
13	0.11	0.07
14	0.11	0.07
15	0.31	0.20
16	0.21	0.13
17	0.14	0.08
18	0.26	0.16
19	0.15	0.09
20	0.14	0.09
21	0.35	0.22
22	0.36	0.22
23	0.01	0.01

Gambar 4-7

Tampilan Inputan Data Pembebanan

Pada gambar 4-7 terlihat tampilan data inputan data pembebanan antar *bus* pada jaringan distribusi GI Bangil Trafo II dengan nilai beban dari *bus* 3 sampai *bus* 23 pada *software MATLAB* 7.1.

4.4.2. Inputan Data Saluran

Dengan menggunakan data pada tabel 4-3 maka tampilan inputan data pembebanan dapat dilihat pada gambar 4-8 di bawah ini.

Fbus	tbus	r	x	rateA	rateB	rateC	ratio	angle	status
2	3	1.320	1.627	0	0	0	0	0	1;
3	4	0.443	0.678	0	0	0	0	0	1;
4	5	0.071	0.109	0	0	0	0	0	1;
5	6	0.169	0.259	0	0	0	0	0	1;
6	7	0.246	0.376	0	0	0	0	0	1;
7	8	0.580	0.887	0	0	0	0	0	1;
8	9	0.060	0.092	0	0	0	0	0	1;
9	10	0.120	0.184	0	0	0	0	0	1;
10	11	0.066	0.100	0	0	0	0	0	1;
2	12	0.458	0.568	0	0	0	0	0	1;
12	13	0.055	0.084	0	0	0	0	0	1;
13	14	0.498	0.761	0	0	0	0	0	1;
2	15	1.380	1.588	0	0	0	0	0	1;
15	16	0.443	0.678	0	0	0	0	0	1;
16	17	0.487	0.745	0	0	0	0	0	1;
2	18	2.366	2.935	0	0	0	0	0	1;
18	19	0.301	0.460	0	0	0	0	0	1;
19	20	0.087	0.134	0	0	0	0	0	1;
20	21	0.454	0.694	0	0	0	0	0	1;
21	22	1.188	1.816	0	0	0	0	0	1;
2	23	0.356	0.544	0	0	0	0	0	1;
11	13	0.253	0.387	0	0	0	0	0	0;
13	15	0.061	0.094	0	0	0	0	0	0;
15	22	0.264	0.404	0	0	0	0	0	0;
19	23	0.859	0.229	0	0	0	0	0	0;

Gambar 4-8

Tampilan Inputan Data Saluran

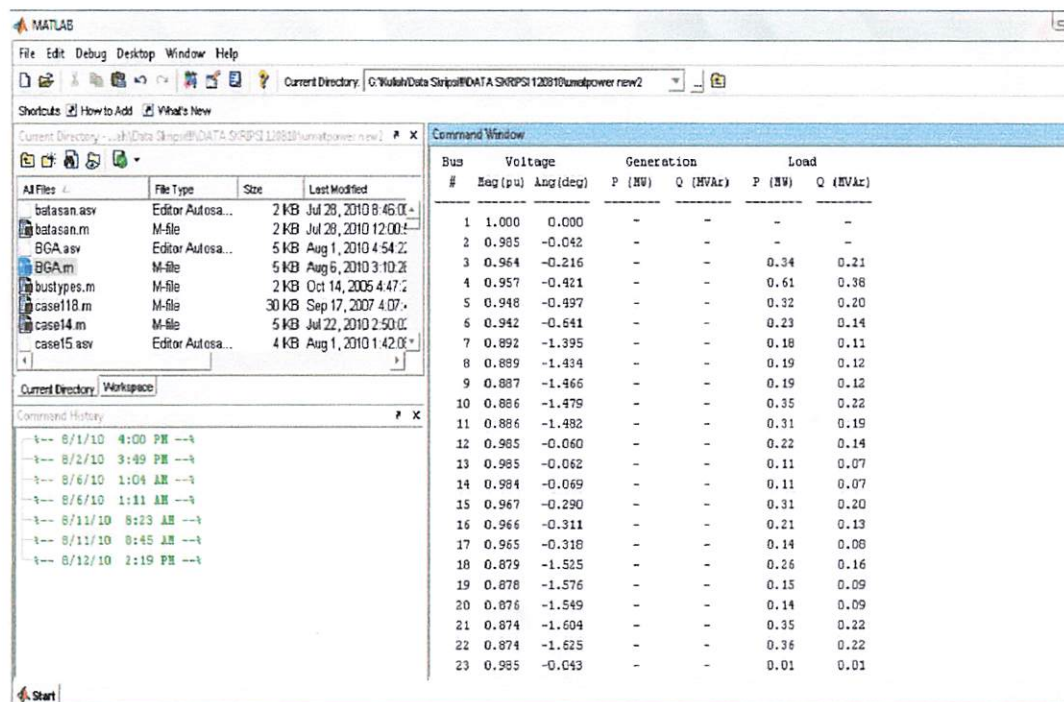
Gambar 4-8 merupakan tampilan inputan data saluran pada *software MATLAB* 7.1

4.5. Analisa Aliran Daya Menggunakan Metode *Newton Raphson*

Analisa aliran daya dilakukan untuk mengetahui nilai tegangan pada tiap *bus*, sudut fasa pada tiap *bus* dan rugi – rugi daya antar saluran yang terjadi sebelum dilakukan rekonfigurasi.

4.5.1. Hasil Tegangan dan Sudut Fasa tiap *Bus* Sebelum Rekonfigurasi

Setelah dilakukan analisa aliran daya dengan menggunakan metode *Newton Raphson* maka diperoleh besarnya tegangan dan sudut fasa pada tiap-tiap *bus*. Berikut ini adalah tampilan hasil untuk mengetahui tegangan dan sudut fasa tiap *bus* sebelum rekonfigurasi.



The screenshot shows the MATLAB interface with the Command Window active. The window displays a table of bus data. The columns are labeled: Bus #, Eqg (pu), Ang(deg), Generation P (MVA), Q (MVar), Load P (MVA), and Q (MVar). There are 23 rows of data, each representing a bus with its specific parameters. The data includes values for voltage magnitude and phase angle, along with generation and load components.

Bus #	Eqg (pu)	Ang(deg)	Generation P (MVA)	Q (MVar)	Load P (MVA)	Q (MVar)
1	1.000	0.000	-	-	-	-
2	0.905	-0.042	-	-	-	-
3	0.964	-0.216	-	-	0.34	0.21
4	0.957	-0.421	-	-	0.61	0.36
5	0.948	-0.497	-	-	0.32	0.20
6	0.942	-0.541	-	-	0.23	0.14
7	0.892	-1.395	-	-	0.18	0.11
8	0.889	-1.434	-	-	0.19	0.12
9	0.887	-1.466	-	-	0.19	0.12
10	0.886	-1.479	-	-	0.35	0.22
11	0.886	-1.482	-	-	0.31	0.19
12	0.985	-0.060	-	-	0.22	0.14
13	0.985	-0.062	-	-	0.11	0.07
14	0.994	-0.069	-	-	0.11	0.07
15	0.967	-0.290	-	-	0.31	0.20
16	0.966	-0.311	-	-	0.21	0.13
17	0.965	-0.318	-	-	0.14	0.08
18	0.879	-1.525	-	-	0.26	0.16
19	0.878	-1.576	-	-	0.15	0.09
20	0.878	-1.549	-	-	0.14	0.09
21	0.874	-1.604	-	-	0.35	0.22
22	0.874	-1.625	-	-	0.36	0.22
23	0.985	-0.043	-	-	0.01	0.01

Gambar 4-9

Tampilan Hasil nilai Tegangan dan Sudut Fasa tiap *Bus*

Sebelum Rekonfigurasi

Pada gambar 4-9 terlihat tampilan hasil dari tegangan dan sudut fasa tiap bus, sebelum rekonfigurasi hasil dari perhitungan aliran daya dengan menggunakan metode *Newton Raphson*. Untuk lebih jelasnya, nilai tegangan dan sudut fasa tiap bus dapat kita lihat pada tabel 4-4 di bawah ini.

Tabel 4-4

Tegangan dan Sudut Fasa tiap Bus GI Bangil Sebelum Rekonfigurasi

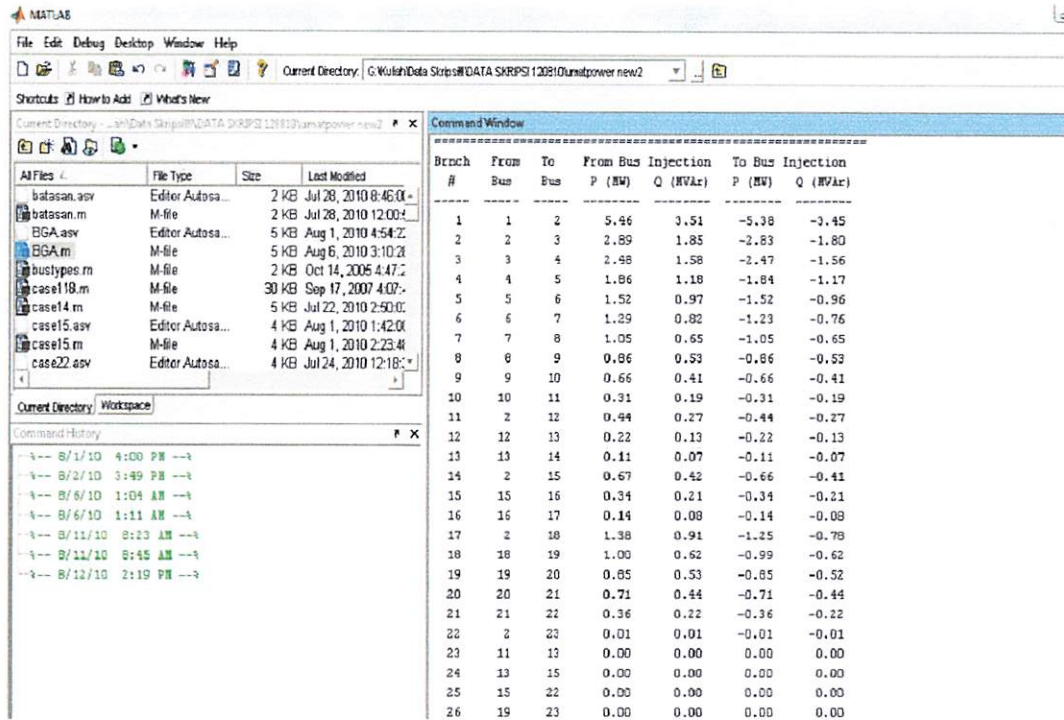
Bus	Tegangan	
	V (p.u)	Sudut (°)
1	1.000	0.000
2	0.985	-0.042
3	0.964	-0.216
4	0.957	-0.421
5	0.948	-0.497
6	0.942	-0.641
7	0.892	-1.395
8	0.889	-1.434
9	0.887	-1.466
10	0.886	-1.479
11	0.886	-1.482
12	0.985	-0.060
13	0.985	-0.062
14	0.984	-0.069
15	0.967	-0.290

16	0.966	-0.311
17	0.965	-0.318
18	0.879	-1.525
19	0.878	-1.576
20	0.876	-1.549
21	0.874	-1.604
22	0.874	-1.625
23	0.985	-0.043

Dari tabel 4-4 ini dapat terlihat jatuh tegangan yang tidak diizinkan terdapat pada *bus 6 s/d bus 11* dan pada *bus 18 s/d bus 22* yaitu sebesar 0.88 p.u dan 0.87 p.u. Dimana tegangan yang diizinkan yaitu 0,95 p.u s/d 1,05 p.u.

4.5.2. Hasil Aliran Daya Antar Saluran Sebelum Rekonfigurasi

Aliran daya antar saluran sebelum rekonfigurasi adalah sebagai berikut :



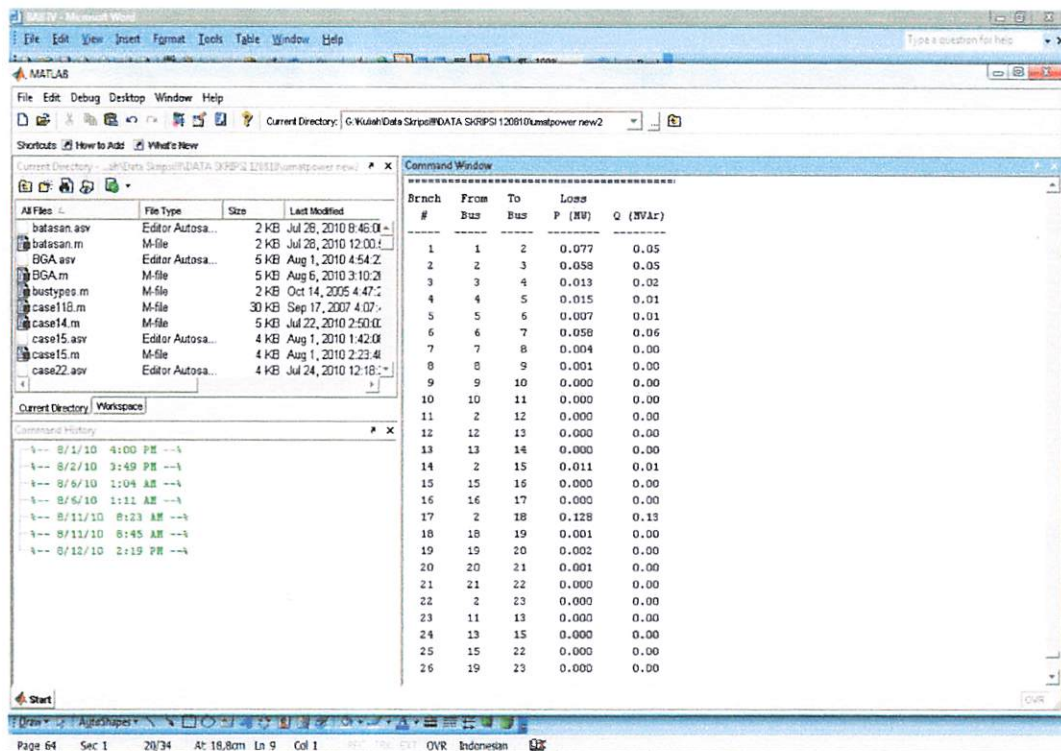
Gambar 4-10

Tampilan Hasil Aliran Daya Antar Saluran Sebelum Rekonfigurasi

Gambar 4-10 memperlihatkan tampilan hasil aliran daya antar saluran untuk daya yang dialirkan sepanjang saluran pada GI Bangil.

4.5.3. Hasil Rugi – Rugi Daya Antar Saluran Sebelum Rekonfigurasi

Berikut adalah tampilan rugi-rugi daya antar saluran sebelum rekonfigurasi.



Gambar 4-11

Tampilan Hasil Rugi-Rugi Daya Antar Saluran Sebelum Rekonfigurasi

Pada gambar 4-11 memperlihatkan hasil rugi-rugi daya antar saluran sebelum adanya rekonfigurasi jaringan. Selanjutnya tabel 4-5 merupakan tabel rugi-rugi daya antar saluran sebelum adanya rekonfigurasi.

Tabel 4-5

Rugi – Rugi Daya Antar Saluran

Bus Pangkal	Bus Ujung	Rugi – Rugi Daya	
		P (MW)	Q (Mvar)
1	2	0.077	0.05
2	3	0.058	0.05
3	4	0.013	0.02
4	5	0.015	0.01
5	6	0.007	0.01
6	7	0.058	0.06
7	8	0.004	0.00
8	9	0.001	0.00
9	10	0.000	0.00
10	11	0.000	0.00
2	12	0.000	0.00
12	13	0.000	0.00
13	14	0.000	0.00
2	15	0.011	0.01
15	16	0.000	0.00
16	17	0.000	0.00
2	18	0.128	0.13
18	19	0.001	0.00
19	20	0.002	0.00

20	21	0.001	0.00
21	22	0.000	0.00
2	23	0.000	0.00
11	13	0.000	0.00
13	15	0.000	0.00
15	22	0.000	0.00
19	23	0.000	0.00
Total		0.377	0.36

Dari tabel 4-5 terlihat nilai rugi – rugi daya antar saluran, dimana total rugi – ruginya adalah $P = 0.377 \text{ MW}$ dan $Q = 0.36 \text{ MVar}$.

4.6. Analisis Konfigurasi Jaringan dengan Menggunakan Metode *Breeder Genetic Algorithm (BGA)*

Parameter - parameter rancangan untuk *BGA* adalah :

- UkPop = 80 ; Ukuran populasi
- MaxGen = 20 ; Maksimum generasi
- Psilang = 0.95 ; Peluang Pindah Silang
- Pmut = 0.5 ; Peluang Mutasi

Susunan gen pada kromosom individu akan dibangkitkan secara acak, jumlah gen tergantung jumlah *switch* pada penyulang, berarti tiap susunan kromosom terdapat jumlah *switch* gen. Semakin banyak jumlah *switch*, maka semakin banyak pula jumlah gen-nya.

4.6.1. Pembangkitan Populasi Awal

Populasi awal dibangkitkan secara acak dengan susunan kromosom sesuai dengan jumlah *switch*. Pada setiap LBS dikodekan dalam bilangan biner dipilih secara acak 0 (nol) dan 1 (satu) untuk mewakili operasi *switching* pada masing-masing kromosom. Misal pada GI terdapat penyulang-penyulang yang terdiri dari 20 *switch*, maka tiap kromosom terdiri dari 20 gen yang berupa bilangan biner yang mewakili *switch* tersebut, sehingga dapat ditulis untuk populasi yang terdiri dari 4 kromosom:

- V1= [1001011110001110110]
- V2= [00110010101111100111]
- V3= [11100111010101011101]
- V4= [10101010000011111101]

4.6.2. Fungsi Evaluasi (Fungsi Kebugaran - *Fitness*)

Fungsi evaluasi merupakan masalah yang penting dalam GA. Fungsi evaluasi yang baik harus mampu memberikan nilai *fitness* yang sesuai dengan kinerja kromosom. Berkaitan dengan masalah rekonfigurasi jaring distribusi tegangan menengah dengan tujuan mengurangi *losses* daya, maka nilai *fitness* dapat dirumuskan dalam bentuk:

$$F = \frac{1}{(losses + 0.01)}$$

Penambahan angka 0.01 untuk menghindari bilamana nilai *losses* (rugi-rugi) menjadi nol.

4.6.3. Operator Genetika

Ada 3 (tiga) tahapan yang dilakukan pada operator genetika, yaitu :

- **Seleksi *Etilist***, merupakan seleksi dari kromosom didasarkan atas nilai fitness terbaik.
- **Crossover** adalah operator genetika yang utama. Operator ini bekerja dengan memasangkan dua individu sebagai induk (*parent*) untuk mendapatkan kromosom anak (*offspring*). Pasangan kromosom orang tua akan mengalami proses pindah silang dengan cara memotong *string* (kromosom) mereka pada posisi yang terpilih secara acak.
- **Mutasi**. Operator mutasi digunakan untuk melakukan modifikasi satu atau lebih nilai gen dalam individu yang sama. Mencegah kehilangan kemiripan genetik setelah proses pemilihan dan penghapusan.

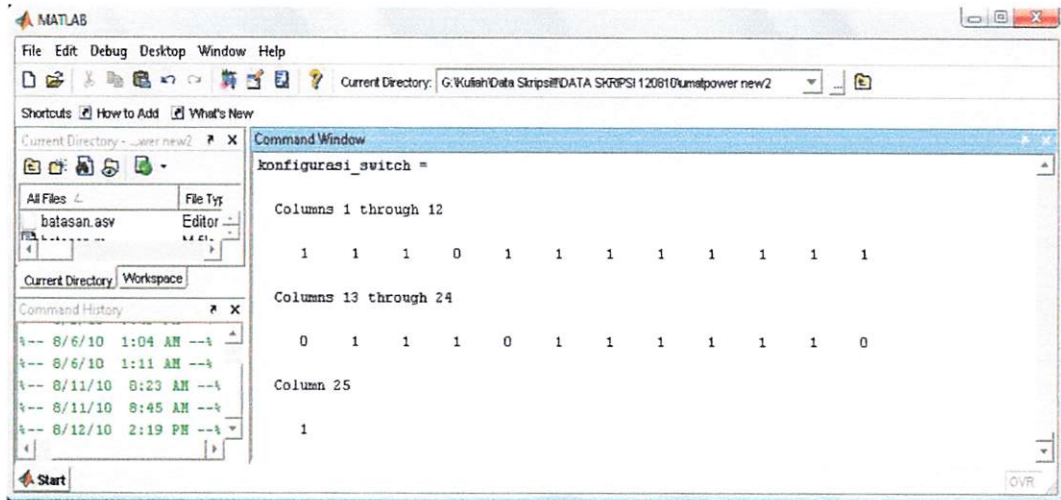
4.6.4. Metode *Breeder Genetic Algorithm (BGA)*

Metode seleksi dalam algoritma genetika dilakukan secara random/acak, sehingga ada kemungkinan bahwa kromosom yang sebenarnya sudah baik tidak bisa turut serta pada generasi berikutnya karena tidak lolos seleksi. Untuk itu perlu adanya perbaikan pada algoritma genetika yang dikenal dengan nama *Breeder Genetic Algorithm (BGA)*.

Metode *Breeder Genetic Algoritm* dikembangkan oleh *Muhlenbein*, pada BGA ini digunakan parameter r , yang menunjukkan kromosom-kromosom terbaik. Kromosom-kromosom ini akan tetap dipertahankan pada generasi berikutnya dengan cara menggantikan sebanyak r kromosom pada generasi tersebut.

4.7. Hasil Analisis Posisi *Open Switch* dalam Konfigurasi Jaringan dengan Menggunakan Metode *Breeder Genetic Algorithm*.

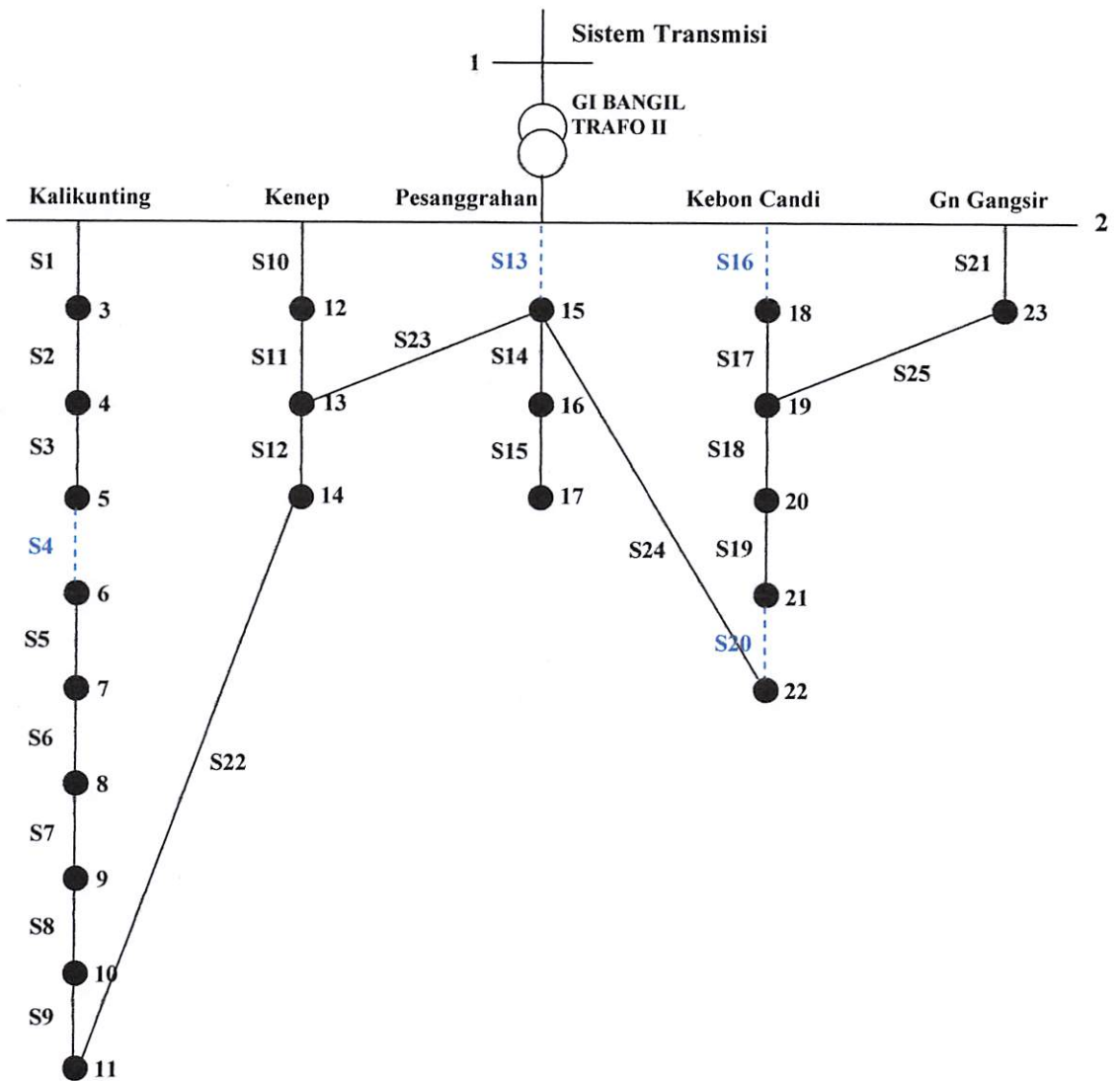
Berikut ini adalah tampilan hasil analisis posisi *open switch* dalam konfigurasi jaringan dengan menggunakan metode *Breeder Genetic Algorithm*.



Gambar 4-12

Tampilan hasil analisis posisi open switch dalam konfigurasi jaringan dengan menggunakan metode Breeder Genetic Algorithm.

Dari gambar 4-12, dapat dilihat konfigurasi jaringan yang baru dimana posisi *switch* yang terbuka (*normally open switch*) adalah *switch* 4 (s4), *switch* 13 (s13), *switch* 16 (s16) dan *switch* 20 (s20). Sehingga konfigurasi jaringan yang sebelumnya akan berubah seperti pada gambar 4-12.



Keterangan : ● = Bus beban

— = Switch NC (*Normally Closed*)

- - - = Switch NO (*Normally Open*)

Gambar 4-13

Konfigurasi Jaringan Radial setelah Rekonfigurasi

Gambar 4-13 menunjukkan konfigurasi jaringan radial yang baru setelah dilakukannya proses *Breeder Genetic Algorithm*, terjadi perubahan pada operasi

switch. Switch normally open terletak pada *switch 4 (s4), switch 13 (s13), switch 16 (s16)* dan *switch 20 (s20)*.

Perbandingan posisi *switch open* dan *switch closed* pada saat sebelum dan sesudah rekonfigurasi ditunjukkan pada table 4-6.

Tabel 4-6

Perbandingan Posisi Open Switch Sebelum dan Sesudah Rekonfigurasi

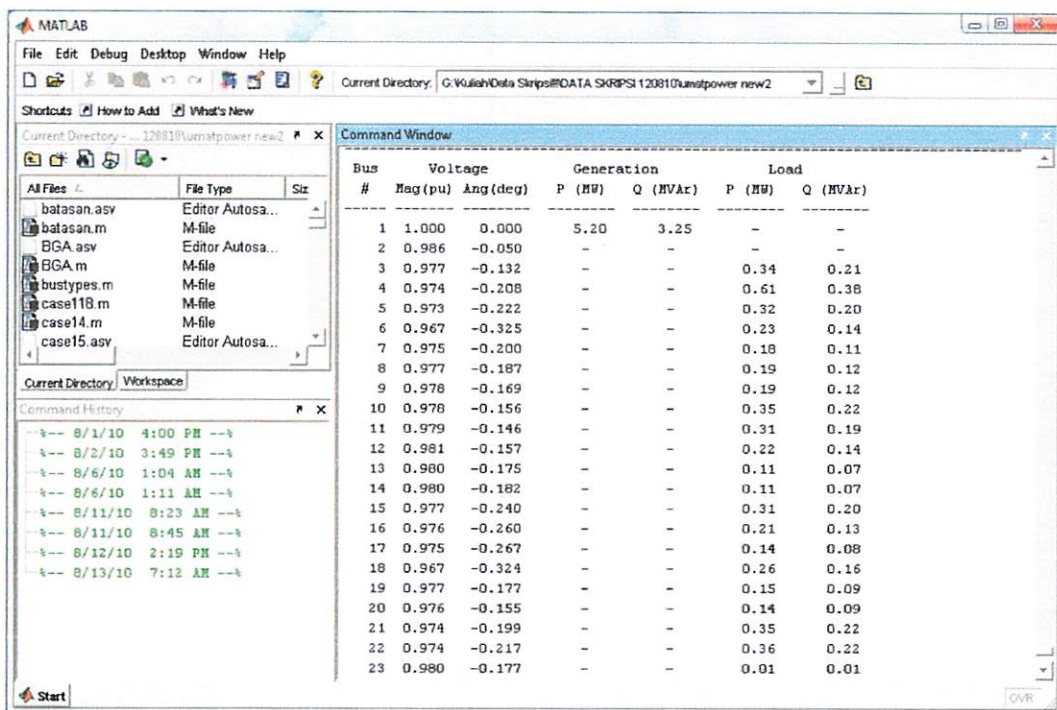
Sebelum Rekonfigurasi			Sesudah Rekonfigurasi		
Bus Pangkal	Bus Ujung	Posisi <i>Switch Open</i>	Bus Pangkal	Bus Ujung	Posisi <i>Switch Open</i>
10	13	s22	5	6	s4
12	14	s23	2	15	s13
14	21	s24	2	18	s16
18	22	s25	21	22	s20

4.8. Analisa Aliran Daya Menggunakan Metode *Newton Raphson* setelah rekonfigurasi

Analisa aliran daya dilakukan untuk mengetahui nilai tegangan pada tiap *bus*, sudut fasa pada tiap *bus* dan rugi – rugi daya antar saluran yang terjadi setelah dilakukan rekonfigurasi.

4.8.1. Hasil Tegangan dan Sudut Fasa Setelah Rekonfigurasi

Berikut adalah tampilan hasil aliran daya untuk mengetahui tegangan dan sudut fasa setelah dilakukan rekonfigurasi jaringan.



The screenshot shows the MATLAB interface with the Command Window active. The window displays a table of power flow results for 23 buses. The columns represent Bus number (#), Voltage (Mag(pu) and Ang(deg)), Generation (P (MW) and Q (MVar)), and Load (P (MW) and Q (MVar)). The results show that bus 1 is the slack bus (0.986 pu voltage, 0.050 angle). Other buses have voltages between 0.977 and 0.980 pu, and angles between -0.132 and -0.177 degrees. Power generation and load values are also listed for each bus.

Bus #	Voltage		Generation		Load	
	Mag(pu)	Ang(deg)	P (MW)	Q (MVar)	P (MW)	Q (MVar)
1	1.000	0.000	5.20	3.25	-	-
2	0.986	-0.050	-	-	-	-
3	0.977	-0.132	-	-	0.34	0.21
4	0.974	-0.208	-	-	0.61	0.38
5	0.973	-0.222	-	-	0.32	0.20
6	0.967	-0.325	-	-	0.23	0.14
7	0.975	-0.200	-	-	0.18	0.11
8	0.977	-0.187	-	-	0.19	0.12
9	0.978	-0.169	-	-	0.19	0.12
10	0.978	-0.156	-	-	0.35	0.22
11	0.979	-0.146	-	-	0.31	0.19
12	0.981	-0.157	-	-	0.22	0.14
13	0.980	-0.175	-	-	0.11	0.07
14	0.980	-0.182	-	-	0.11	0.07
15	0.977	-0.240	-	-	0.31	0.20
16	0.976	-0.260	-	-	0.21	0.13
17	0.975	-0.267	-	-	0.14	0.08
18	0.967	-0.324	-	-	0.26	0.16
19	0.977	-0.177	-	-	0.15	0.09
20	0.976	-0.155	-	-	0.14	0.09
21	0.974	-0.199	-	-	0.35	0.22
22	0.974	-0.217	-	-	0.36	0.22
23	0.980	-0.177	-	-	0.01	0.01

Gambar 4-14

Tampilan Hasil nilai Tegangan dan Sudut Fasa tiap Bus

Setelah Rekonfigurasi

Pada gambar 4-14 terlihat tampilan hasil dari tegangan dan sudut fasa tiap *bus*, setelah rekonfigurasi.

Dari hasil perhitungan aliran daya setelah rekonfigurasi terdapat kenaikan tegangan di setiap *bus* yang sebelumnya terjadi jatuh tegangan yaitu di *bus* 6 s/d *bus* 11 dan pada *bus* 18 s/d *bus* 22 yaitu sebesar 0.97 p.u. Dimana tegangan yang diizinkan yaitu 0,95 p.u s/d 1,05 p.u, yang artinya bahwa pada *bus-bus* tersebut telah masuk pada batas tegangan yang diizinkan oleh PLN.

Tabel 4-7 memperlihatkan keadaan tegangan dan sudut fasa setelah rekonfigurasi.

Tabel 4-7

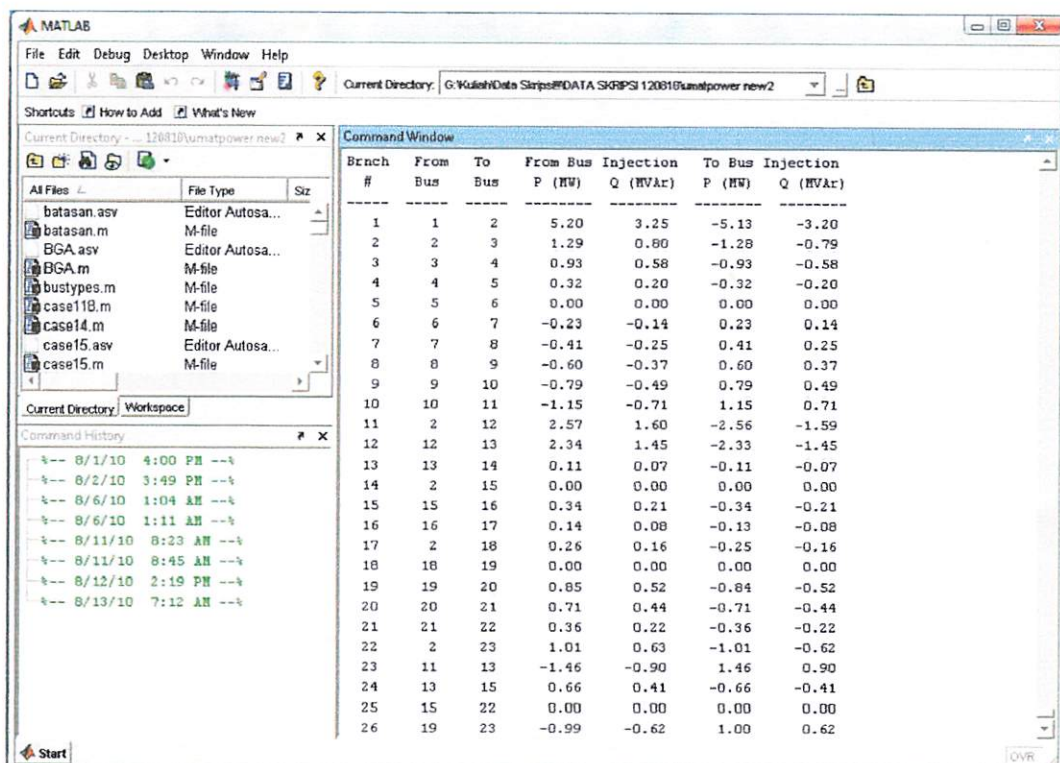
Tegangan dan Sudut Fasa tiap Bus Setelah Rekonfigurasi

Bus	Tegangan	
	V (p.u)	Sudut (°)
1	1.000	0.000
2	0.986	-0.050
3	0.977	-0.132
4	0.974	-0.208
5	0.973	-0.222
6	0.966	-0.343
7	0.975	-0.218
8	0.976	-0.205
9	0.977	-0.187
10	0.977	-0.174
11	0.978	-0.163
12	0.980	-0.173
13	0.980	-0.193

14	0.979	-0.200
15	0.975	-0.294
16	0.973	-0.314
17	0.973	-0.321
18	0.978	-0.173
19	0.978	-0.162
20	0.977	-0.150
21	0.977	-0.171
22	0.973	-0.263
23	0.981	-0.163

4.8.2. Hasil Aliran Daya Antar Saluran Setelah Rekonfigurasi

Berikut ini adalah tampilan hasil aliran daya antar saluran setelah rekonfigurasi.



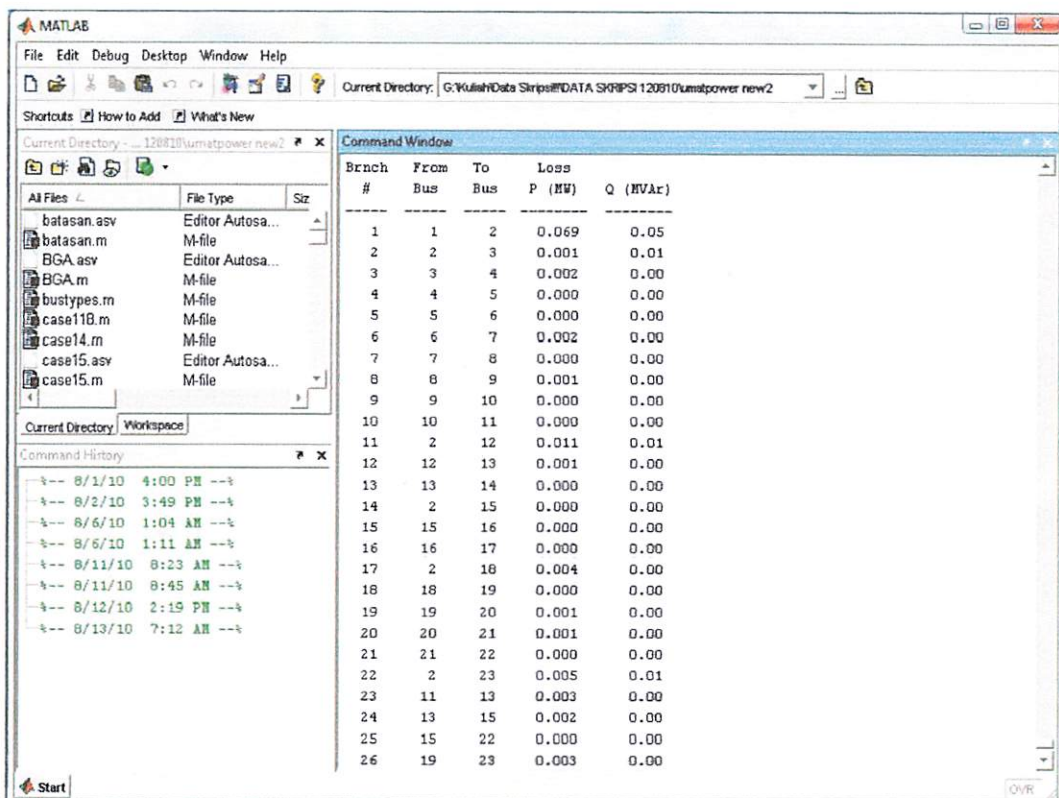
Gambar 4-15

Hasil Aliran Daya Antar Saluran Setelah Rekonfigurasi

Untuk gambar 4-15 terlihat tampilan hasil aliran daya antar saluran dari bus ke bus untuk daya yang dialirkan sepanjang GI Bangil trafo II setelah rekonfigurasi.

4.8.3. Hasil Rugi – Rugi Daya Antar Saluran Setelah Rekonfigurasi

Berikut ini adalah tampilan hasil rugi –rugi daya antar saluran setelah dilakukan rekonfigurasi.



Gambar 4-16

Tampilan Hasil Rugi-Rugi Daya Antar Saluran Setelah Rekonfigurasi

Pada gambar 4-16 memperlihatkan hasil rugi-rugi daya antar saluran, dimana setelah dilakukan rekonfigurasi terjadi penurunan daya. Selanjutnya tabel 4-8 merupakan tabel rugi-rugi daya antar saluran.

Tabel 4-8

Rugi – Rugi Daya Antar Saluran Setelah Rekonfigurasi

Bus Pangkal	Bus Ujung	Rugi – Rugi Daya	
		P (MW)	Q (Mvar)
1	2	0.069	0.05
2	3	0.011	0.01
3	4	0.002	0.00
4	5	0.000	0.00
5	6	0.000	0.00
6	7	0.002	0.00
7	8	0.000	0.00
8	9	0.001	0.00
9	10	0.000	0.00
10	11	0.000	0.00
2	12	0.014	0.02
12	13	0.001	0.00
13	14	0.000	0.00
2	15	0.000	0.00
15	16	0.000	0.00
16	17	0.000	0.00
2	18	0.000	0.00
18	19	0.000	0.00
19	20	0.000	0.00

20	21	0.000	0.00
21	22	0.000	0.00
2	23	0.004	0.00
11	13	0.003	0.00
13	15	0.004	0.00
15	22	0.001	0.00
19	23	0.002	0.00
Total		0.106	0.10

Dari tabel 4-8 terlihat nilai rugi – rugi daya antar saluran, dimana total rugi

- rugi setelah rekonfigurasi adalah $P = 0.116 \text{ MW}$ dan $Q = 0.10 \text{ MVar}$.

4.9. Perbandingan Rugi – Rugi Daya Sebelum dan Sesudah Rekonfigurasi

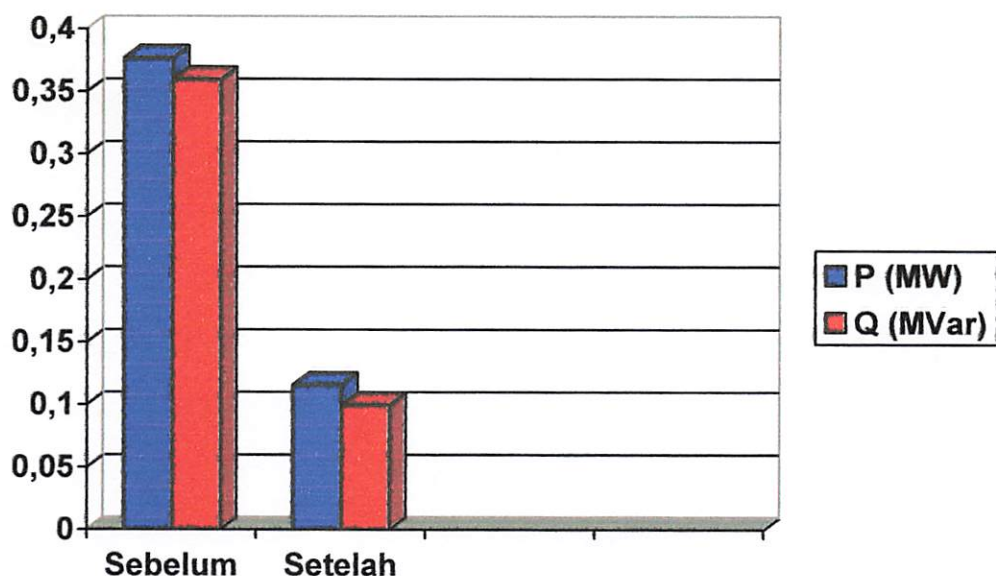
Dari tabel 4-5, dapat diketahui total rugi-rugi daya sebelum adanya rekonfigurasi jaringan adalah $P = 0.377 \text{ MW}$ dan $Q = 0.36 \text{ Mvar}$, sedangkan dari tabel 4-8 dapat diketahui total rugi - rugi daya setelah rekonfigurasi adalah $P = 0.116 \text{ MW}$ dan $Q = 0.10 \text{ MVar}$. Selisih rugi – rugi dayanya adalah $P = 0.377 - 0.116 = 0.261 \text{ MW}$ dan $Q = 0.36 - 0.10 = 0.26 \text{ MVar}$. Jadi rugi – rugi daya yang dapat ditekan adalah $P = 69.23\%$ dan $Q = 72.22\%$.

Tabel 4-9

Perbandingan Rugi-Rugi Daya Sebelum dan Setelah Rekonfigurasi

Total Rugi-Rugi Daya Sebelum Rekonfigurasi		Total Rugi-Rugi Daya Setelah Rekonfigurasi	
P (MW)	Q (MVar)	P (MW)	Q (MVar)
0.377	0.36	0.116	0.10

Jika digambarkan dalam sebuah grafik, maka perbandingan dan selisih rugi – rugi daya sebelum dan setelah rekonfigurasi dapat dilihat pada grafik 4-1 di bawah ini.



Grafik 4-1

Perbandingan Rugi – Rugi Daya Sebelum dan Setelah Rekonfigurasi

Grafik 4-1 menunjukkan perbandingan dan selisih rugi – rugi daya sebelum dan setelah dilakukan rekonfigurasi.

BAB V

KESIMPULAN

5.1. Kesimpulan

- Dari hasil rekonfigurasi jaringan menggunakan metode *Breeder Genetic Algorithm* maka didapat hasil *switch open* yang baru yaitu *switch 4 (s4)*, *switch 13 (s13)*, *switch 16 (s16)* dan *switch 20 (s20)*. Dimana sebelum dilakukan rekonfigurasi posisi *switch open* terletak *switch 22*, *switch 23*, *switch 24* dan *switch 25*.
- Total rugi-rugi daya saluran sebelum rekonfigurasi adalah 0.377 MW dan 0.36 MVar. Sedangkan total rugi-rugi daya saluran setelah rekonfigurasi adalah 0.116 MW dan 0.10 MVar. Selisih rugi – rugi dayanya adalah $P = 0.377 - 0.116 = 0.261$ MW dan $Q = 0.36 - 0.10 = 0.26$ MVar. Jadi rugi – rugi daya yang dapat ditekan adalah $P = 69.23\%$ dan $Q = 72.22\%$.

DAFTAR PUSTAKA

- [1] Indra Partha, Gede. 2006. Rekonfigurasi Jaringan Distribusi Tenaga Listrik menggunakan *Breeder Genetic Algorithm* (BGA). Bali ; Universitas Udayana.
- [2] Ir. Basri, Hasan. 1996. Sistem Distribusi Tenaga Listrik. Jakarta Selatan ; Balai Penerbit dan Humas ISTN Bumi Srengseng Indah.
-] Suhadi, Bambang. 2008. **Teknik Distribusi Tenaga Listrik Jilid I**. Jakarta : Departemen Pendidikan Nasional.
- [4] Stevenson, Williams D, Jr. 1996. Analisis Sistem Tenaga Listrik. Jakarta : Penerbit Erlangga Edisi ke Empat.
- [5] Muhlenbein, H. & Schlierkamp-Voosen, D. 1992. *Predictive Models for the Breeder Genetic Algorithm*, GMD.

CAMPIRANA



PERKUMPULAN PENGELOLA PENDIDIKAN UMUM DAN TEKNOLOGI NASIONAL MALANG
INSTITUT TEKNOLOGI NASIONAL MALANG
FAKULTAS TEKNOLOGI INDUSTRI
FAKULTAS TEKNIK SIPIL DAN PERENCANAAN
PROGRAM PASCASARJANA MAGISTER TEKNIK

BNI (PERSERO) MALANG
BANK NIAGA MALANG

Kampus I : Jl. Bendungan Sigura-gura No. 2 Telp. (0341) 551431 (Hunting), Fax. (0341) 553015 Malang 65145
Kampus II : Jl. Raya Karanglo, Km 2 Telp. (0341) 417636 Fax. (0341) 417634 Malang

**BERITA ACARA UJIAN SKRIPSI
FAKULTAS TEKNOLOGI INDUSTRI**

Nama : Agusto Tri Hardiansyah
Nim : 05.12.016
Jurusan : Teknik Elektro S-1
Konsentrasi : Teknik Energi Listrik
Judul Skripsi : **REKONFIGURASI JARINGAN UNTUK MEREDUKSI
RUGI – RUGI DAYA MENGGUNAKAN METODE
BREEDER GENETIC ALGORITHM (BGA) PADA
JARINGAN DISTRIBUSI 20 KV G.I. BANGIL**

Dipertahankan dihadapan Majelis Penguji Skripsi Jenjang program Starata Satu (S-1) pada :

Hari : Jumat
Tanggal : 20 Agustus 2010
Dengan nilai : 78 (B+) *Bsf*

PANITIA UJIAN SKRIPSI

Mengetahui,
Ketua Majelis Penguji

[Signature]
Ir. Yusuf Ismail Nahkoda, MT
NIP.Y. 1018800189

ANGGOTA PENGUJI

Dosen Penguji I

[Signature]
Ir.Teguh Herbasuki,MT
NIP.Y.1038900209

Dosen Penguji II

[Signature]
Ir.Eko Nurcahyo,MT
NIP.Y.1028700172



LEMBAR ASISTENSI

Nama : AGUSTO TRI HARDIANSYAH
Nim : 05.12.016
Masa bimbingan : Januari 2010 – Juli 2010
Judul Skripsi : **REKONFIGURASI JARINGAN UNTUK MEREDUKSI RUGI – RUGI DAYA MENGGUNAKAN METODE BREEDER GENETIC ALGORITHM (BGA) PADA JARINGAN DISTRIBUSI 20 KV G.I BANGIL**

No	Tanggal	Uraian	Paraf Pembimbing
1.	19/02 2010	Selesaikan bab IV	th
2.	10/03 2010	Rangkikan Bab V	th
3.	5/06 2010	Selesaikan Bab III, Bab II.	th
4.	10/Julia 2010	Review bab V: selection proses gambaran BBR 4-5	th
5.	13/8 2010	Review Bab II, Tuliskan Teori unuk mendukung Bab IV	th
6.	16/8 2010	Review Bab II. Tern model syar	th
7.	20/08 2010	Presentasi Seminar · Word	th
8.			
9.			
10.			

Dosen Pembimbing

Dr. H. Taufik Hidayat, MT)
NIP Y. 101.8700151



LEMBAR ASISTENSI

Nama : AGUSTO TRI HARDIANSYAH
Nim : 05.12.016
Masa bimbingan : Januari 2010 – Juli 2010
Judul Skripsi : **REKONFIGURASI JARINGAN UNTUK MEREDUKSI RUGI – RUGI DAYA MENGGUNAKAN METODE BREEDER GENETIC ALGORITHM (BGA) PADA JARINGAN DISTRIBUSI 20 KV G.I BANGIL**

No	Tanggal	Uraian	Paraf Pembimbing
1.	12/02 2010	Selesaikan Bab II , Bab III	✓
2.			
3.	5/06 2010	Selesaikan Bab IV	✓
4.			
5.	10/08 2010	Revisi Bab IV , Langsungkan Bab V	✓
6.			
7.	13/08 2010	Revisi Bab II , Bab III	✓
8.			
9.	16/08 2010	ACC seminar Hari .	✓
10.			

Dosen Pembimbing

(Ir. Choirul Saleh, MT)
NIP Y. 101.8800190



**P.T. PLN (PERSERO)
DISTRIBUSI JAWA TIMUR
AREA PELAYANAN & JARINGAN PASURUAN**

Panglima Sudirman No. 69 Pasuruan 67115

Telpon : (0343) 426515 s/d 426517

E-mail Pos

Telex :
Faximile : (0343) 426518

Alamat Kawat : PLN PSR

No. : 0248/041 /APJ-PSR/2010
Lampiran : -
Perihal : SURVEY

19 MAR 2010

KEPADA
YTH. INSTITUT TEKNOLOGI
NASIONAL MALANG
Jl. Bendungan Sigura-gura No. 2
MALANG 65145

Sehubungan surat Saudara No : ITN – 255 /III.TA-2/2/10 tanggal 11 Februari 2010 tentang Survey di PT PLN (Persero) Area Pelayanan dan Jaringan Pasuruan, dengan ini diberitahukan bahwa pada prinsipnya kami dapat mengijinkan Permohonan Saudara dengan catatan sebagai berikut :

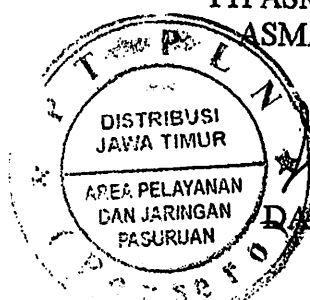
1. Survey dilaksanakan mulai tanggal 15 Maret 2010 s/d 25 Maret 2010.
2. Data yang diminta hendaknya terbatas pada hal-hal yang bersifat umum dan dipergunakan untuk keperluan ilmiah.
3. Mahasiswa yang diijinkan melaksanakan Survey 1 (satu) Mahasiswa Jurusan Teknik Elektro Konsentrasi Teknik Energi Listrik sbb :

- AGUSTO TRI H. (05.12.016)

Demikian untuk diketahui dan atas perhatiannya disampaikan terima kasih.

Tembusan :
▲ UPJ BANGIL

PH ASMAN SDM & ADM
ASMAN KEUANGAN



Darmanto
DARMANTO, SE

LAMPIRAN

REKONFIGURASI JARING DISTRIBUSI TENAGA LISTRIK MENGGUNAKAN BREEDER GENETIC ALGORITHM (BGA)

Cok. Gede Indra Partha
 email: cokindra@yahoo.com
 Staf Pengajar Jurusan Teknik Elektro Unud
 Kampus Bukit Jimbaran Bali

Abstrak

Kebutuhan akan daya listrik saat ini semakin meningkat, seiring dengan perkembangan teknologi, cara hidup, kebutuhan dan budaya di daerah tersebut. Untuk itu keandalan dan kontinuitas pelayanan, sistem transmisi dan distribusi perlu ditingkatkan untuk memperoleh pelayanan yang optimal dengan losses terendah. Pada penelitian ini digunakan metode Breeder Algoritma Genetika (BGA) yang telah dikembangkan dalam optimasi beban seimbang untuk rekonfigurasi jaring distribusi tegangan menengah (JTM). Proses optimasi beban dilakukan dengan cara merubah switch-switch pada penyulang (sebagai gen-gen dalam kromosom) jaring distribusi sehingga diperoleh jaring distribusi yang paling optimal. Hasil analisis menggunakan BGA menunjukkan konfigurasi baru yang optimal dengan losses terendah serta lebih cepat konvergen jika dibandingkan dengan Genetic Algorithm (GA) biasa.

Kata Kunci: Breeder Genetic Algorithm BGA, Rekonfigurasi jaring distribusi.

1. PENDAHULUAN

Penggunaan tenaga listrik merupakan suatu kebutuhan atau tuntutan hidup yang tidak dapat dipisahkan dalam menunjang segala aktivitas sehari-hari. Meningkatnya aktivitas kehidupan manusia secara langsung akan mengakibatkan tingginya permintaan energi listrik yang mengakibatkan penambahan beban pada jaring listrik.

Secara otomatis penambahan beban listrik akan mengakibatkan adanya perluasan jaring listrik. Apabila beban ini cukup besar, maka arus yang mengalir di jaring listrik dan jatuh tegangan semakin besar (toleransi +5% dan -5%).

Panjangnya jaring listrik mengakibatkan perbedaan tegangan antara sisi kirim dan sisi terima menjadi berbeda, makin panjang jaring, maka perbedaan tegangan semakin besar karena pengaruh rugi-rugi (losses) pada jaring tersebut. Turunnya tegangan sering terjadi pada sistem tenaga listrik yang kapasitasnya terbatas, sehingga pada jam-jam tertentu (pada beban puncak) tegangan pada ujung sisi terima semakin rendah, bahkan melampaui batas-batas toleransi, sedangkan pada jam-jam dimana beban listriknya berkurang, tegangan listriknya akan kembali normal.

Sistem distribusi biasanya terdiri dari beberapa penyulang/feeder dengan sistem jaring radial dimana antara penyulang yang satu dengan yang lainnya dapat dihubungkan dengan mengoperasikan sectionalizing switches/LBS. Sectionalizing switches dengan posisi terbuka pada kondisi normal ini sangat berperan untuk proses rekonfigurasi sistem jaring sehingga losses dapat dikurangi. Jika suatu penyulang mengalami gangguan, daerah yang padam sementara dapat disulap kembali secara cepat dengan membuat konfigurasi jaring baru dengan mengoperasikan beberapa sectionalizing switches. Dalam jaring distribusi tenaga listrik, mengubah status

sectionalizing switches dari normally open (NO) ke normally closed (NC) atau sebaliknya merupakan perubahan struktur topologi dari jaring distribusi. Dalam operasi sistem tenaga listrik rekonfigurasi bertujuan untuk mengurangi losses, sehingga kualitas tegangan listrik menjadi lebih baik.

Banyaknya alternatif rekonfigurasi sistem baru yang mungkin dibuat, akan menyulitkan operator menentukan pilihan konfigurasi yang tepat. Oleh karena itu diperlukan suatu metode agar didapatkan konfigurasi baru yang optimal dan dengan losses terendah.

Permasalahan konfigurasi jaring listrik dengan losses daya terendah ini akan diselesaikan dengan memodelkan ke dalam metode Intelligent Computation yaitu Breeder Genetic Algorithm. Dengan metode ini diharapkan dapat menyelesaikan permasalahan dan dapat mengoptimasi fungsi-fungsi obyektif tersebut secara cepat serta akurat dan hasilnya dapat dijadikan sebagai acuan dalam penentuan konfigurasi jaring yang optimal dengan losses terendah.

2. TINJAUAN PUSTAKA

Optimasi konfigurasi jaring distribusi telah berkembang sangat pesat, seperti metode single-period dan multi-period [1], tetapi kedua model tersebut sangat baik digunakan untuk sistem linier saja. Permasalahan optimasi pada kondisi riil lebih banyak ditemukan sistem yang tak linier, sehingga penggunaan metode single-period dan multi-period memberikan hasil yang kurang valid. Metode optimasi dikembangkan lagi sesuai dengan perkembangan metode Intelligent Computation seperti Fuzzy Logic, Simulasi Annealing, Tabu Search, Genetic Algorithm dan Imune System. Metode komputasi Genetic Algorithm (GA) telah banyak digunakan untuk menyelesaikan permasalahan optimasi tak linier [2], [8], dalam

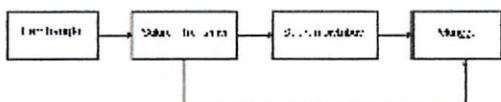
bukunya menggunakan metode Genetic Algorithm dalam menyelesaikan permasalahan optimasi di Industri. Metode GA kemudian berkembang penggunaanya ke berbagai bidang ilmu, salah satunya diaplikasikan dalam optimasi desain jaringan distribusi [3], [7]. Dalam penelitiannya digunakan metode GA kode biner untuk mendisain sistem distribusi yang optimal. Kode biner GA sangat baik digunakan untuk mendapatkan hasil yang memerlukan ketelitian.

Perkembangan metode GA terus berkembang mendisain sistem distribusi optimal. Kodifikasi non-biner telah dipilih karena kesederhanaan dan kemampuannya untuk memasukkan informasi lebih dari bilangan biner [4]. Algoritma ini telah diterapkan dalam sistem distribusi yang besar dan diperoleh penyelesaian global optimal atau penyelesaian yang sangat mendekati pada titik optimal sebenarnya. Aplikasi lainnya dari metode GA yaitu dalam optimasi jaringan distribusi dengan cara mengoptimalkan penyulang-penyulang primer untuk sistem yang tak seimbang dan lossesnya dapat dikurangi [5].

Pengembangan metode GA telah berkembang terus, oleh Muhlenbein dalam buku penyelesaian masalah optimasi dengan teknik heuristik mengembangkan metode Breeder GA (BGA). Kelebihan dalam metode BGA adalah dalam setiap pembentukan generasi baru (regenerasi), kromosom dengan nilai terbaik sebelumnya akan menggantikan generasi baru yang memiliki fitness terjelek (untuk menghindari kehilangan nilai yang terbaik karena proses acak). Hasil simulasi menunjukkan dengan metode BGA memberikan hasil yang lebih cepat konvergen dibandingkan metode GA.

2.1. Sistem Jaringan Distribusi 20 kV

Pembangkit listrik umumnya berada jauh dari pusat beban, terlebih-lebih pembangkit listrik berskala besar, sehingga untuk menyalurkan tenaga listrik tersebut sampai ke konsumen atau pusat beban maka tenaga listrik tersebut harus disalurkan seperti gambar 1.



Gambar 1. Bagan Sistem Penyaluran Tenaga Listrik

Sistem jaringan distribusi dapat dibedakan menjadi dua yaitu sistem jaringan distribusi primer dan sistem jaringan distribusi sekunder. Kedua sistem tersebut dibedakan berdasarkan tegangan kerjanya. Pada umumnya tegangan kerja pada sistem jaringan distribusi primer adalah 20kV, sedangkan tegangan kerja pada sistem jaringan distribusi sekunder adalah 380/220V [6].

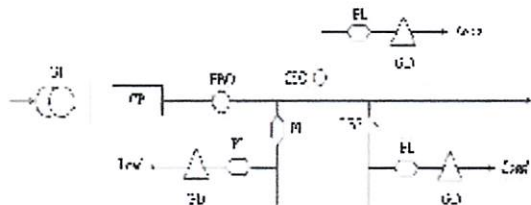
2.2. Konfigurasi Jaringan Distribusi

Dalam distribusi jaringan tegangan menengah, dikenal beberapa macam sistem jaringan, dimana masing-masing sistem mempunyai kelebihan dan kekurangan. Dasar pemilihan suatu sistem tergantung dari tingkat kepentingan konsumen atau daerah beban itu sendiri yang meliputi:

1. Kontinuitas pelayanan yang baik.
2. Kualitas daya yang baik.
3. Luas dan penyebaran daerah beban yang dilayani seimbang.
4. Kondisi dan situasi lingkungan.
5. Kerapatan beban pada daerah yang dihendaki.
6. Regulasi tegangan.
7. Sistem penyambungan beban.
8. Pertimbangan faktor teknis dan ekonomis.
9. Perencanaan dan besar kapasitas gardu distribusi.
10. Keperluan darurat penambahan daya listrik pada penyulang.

2.3. Jaringan Distribusi Tegangan Menengah Tipe Radial

Sistem konfigurasi tipe radial ini merupakan bentuk dasar dari semua jaringan yang ada dan merupakan konfigurasi yang paling sederhana serta biaya investasi yang relatif murah [8], seperti pada gambar 2, sehingga banyak digunakan pada jaringan distribusi menengah.



Gambar 2. Jaringan Distribusi Tipe Radial

2.4. Rekonfigurasi Jaringan Distribusi

Dari beberapa tipe jaringan, kebanyakan tipe jaringan yang digunakan pada penyulang distribusi listrik adalah tipe radial. Hal ini untuk memudahkan koordinasi dalam sistem keamanannya. Pada penyulang distribusi terdiri dari dua jenis switch yaitu switch normally close (NC) dan switch normally open (NO). Dalam kondisi terjadi gangguan, switch NC akan terbuka untuk mengisolasi gangguan pada cabang jaringan, pada saat yang sama switch NO akan menutup untuk mengalihkan beberapa atau semua bagian dari cabang jaringan yang diisolasi ke penyulang lain atau ke cabang lain dalam penyulang yang sama.

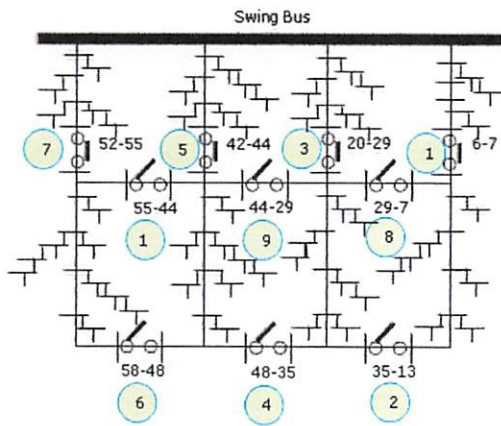
Rekonfigurasi jaringan merupakan proses pembentukan struktur topologis dari penyulang distribusi dengan mengubah status dari switch. Selama kondisi operasi normal rekonfigurasi jaringan bertujuan untuk mengurangi losses dan menyimbangkan beban-beban dalam jaringan [7].

3. REKONFIGURASI JARING MENG GUNAKAN BREEDER GENETIC ALGORITHM

3.1. Jaring Tegangan Menengah (JTM)

Jaring tegangan menengah terdiri dari beberapa penyulang yang melayani beban-beban baik perumahan, maupun industri. Pada jaring ini terdapat Load break switch (LBS) sebagai switch yang digunakan untuk pemulihian pelayanan.

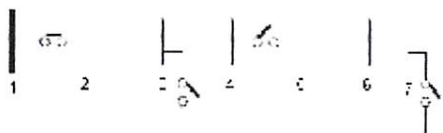
Dalam operasi normal (tidak ada gangguan/pertumbuhan daya) jaring tegangan menengah ini akan digunakan sebagai bahan simulasi untuk menunjukkan efektifitas dari pada BGA, keadaan load break switch (LBS) seperti ditunjukkan pada gambar 3. Jenis penghantar yang digunakan pada penyulang JTM adalah penghantar A3C dengan ukuran 70 mm^2 , 95 mm^2 dan 150 mm^2 .



Gambar 3. Jaring Distribusi

3.2. Kodifikasi Kromosom dari Switch pada Penyulang

Susunan gen pada kromosom individu akan dibangkitkan secara acak, jumlah gen tergantung jumlah LBS (sebagai switch pada penyulang) berarti tiap susunan kromosom terdapat jumlah LBS gen. Semakin banyak jumlah LBS, maka semakin banyak pula jumlah gen-nya. Pada gambar 4. ditunjukkan contoh penyulang yang terdiri dari GI sebagai slack bus (bus 1) dan penyulang yang terdiri dari beberapa beban/transistor sebagai load bus (bus 2 dan seterusnya) serta 4 buah LBS sebagai switch.



Gambar 4. Pengkodean JTM pada bus

Jadi pada gambar 4 tersebut menunjukkan satu sistem yang dinyatakan sebagai satu kromosom yang terdiri dari 4 gen yang menyatakan LBS/switch.

3.3. Pembangkitan Populasi Awal

Populasi awal dibangkitkan secara acak dengan susunan kromosom sesuai dengan jumlah LBS/switch. Pada setiap LBS dikodekan dalam bilangan biner dipilih secara acak 0 (nol) dan 1 (satu) untuk mewakili operasi switching pada masing-masing kromosom.

Misal pada GI terdapat penyulang-penyulang yang terdiri dari 20 LBS/switch, maka tiap kromosom terdiri dari 20 gen yang berupa bilangan biner yang mewakili LBS/switch tersebut, sehingga dapat dituliskan untuk populasi yang terdiri dari 4 kromosom:

$$V_1 = [10010111110001110110]$$

$$V_2 = [00110010101111001111]$$

$$V_3 = [11100111010101011101]$$

$$V_4 = [10101010000011111101]$$

3.4. Fungsi Evaluasi (Fungsi Kebugaran-fitness)

Fungsi evaluasi merupakan masalah yang penting dalam GA. Fungsi evaluasi yang baik harus mampu memberikan nilai fitness yang sesuai dengan kinerja kromosom. Berkaitan dengan masalah rekonfigurasi jaring distribusi tegangan menengah dengan tujuan mengurangi losses daya, maka nilai fitness dapat dirumuskan dalam bentuk:

$$F = \frac{1}{(Losses + 0.01)}$$

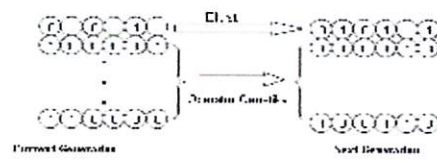
Penambahan angka 0.01 untuk menghindari floating point bilamana nilai losses (rugi-rugi) menjadi nol.

3.5. Operasi Genetika

3.5.1. Seleksi Elitist

Model seleksi elitist merupakan pendekatan sampling deterministik, seleksi dari kromosom didasarkan atas nilai fitness terbaik. Pendekatan ini memungkinkan kromosom terbaik selalu muncul pada setiap generasi. Algoritma dari model elitist diperlihatkan pada gambar 5, dapat diuraikan sebagai berikut:

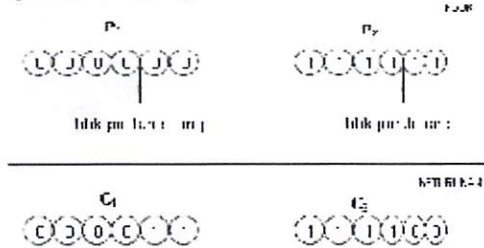
1. Menghitung nilai fitness setiap individu.
2. Memilih individu dengan fitness terbaik.
3. Mengcopykan fites terbaik pada generasi.
4. Kromosom lainnya yang dibentuk dalam generasi selanjutnya melalui proses operator genetika.



Gambar 5. Pembentukan next generation dalam Algoritma Genetika.

3.5.2. Crossover

Crossover adalah operator genetika yang utama. Operator ini bekerja dengan memasangkan dua individu sebagai induk (parent) untuk mendapatkan kromosom anak (offspring). Pasangan kromosom orang tua akan mengalami proses pindah silang dengan cara memotong string (kromosom) mereka pada posisi yang terpilih secara acak, untuk memproduksi dua segmen head dan dua segmen tail. Metode crossover yang digunakan pada algoritma genetika adalah crossover satu titik (single-point crossover). Metode ini memilih satu titik sebagai posisi persilangan, sebelah kanan titik persilangan akan ditukarkan dari kedua induk kromosom untuk menghasilkan kromosom anak. Proses crossover dapat dilihat dalam gambar 6.



Gambar 6. Ilustrator operasi crossover

3.5.3. Mutasi

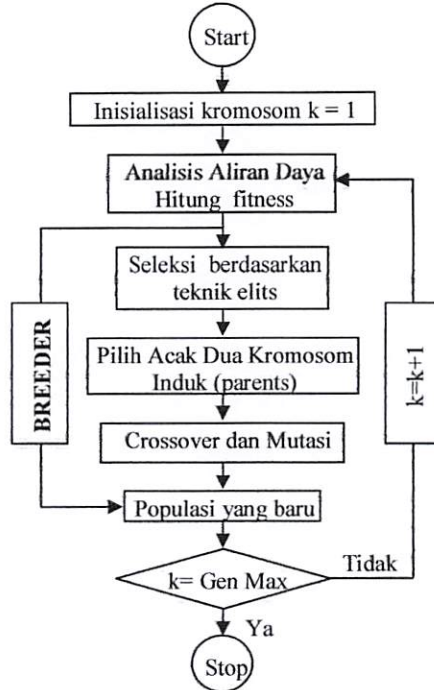
Operator mutasi digunakan untuk melakukan modifikasi satu atau lebih nilai gen dalam individu yang sama. Mutasi memastikan bahwa probabilitas untuk pencarian pada daerah tertentu dalam persoalan tidak akan pernah nol dan mencegah kehilangan kemiripan genetic setelah proses pemilihan dan penghapusan. Mutasi ini bukanlah operator genetic yang utama, yang dilakukan secara acak pada gen dengan kemungkinan yang kecil (P_m sekitar 0,01).

3.6. Metode Breeder Genetic Algorithm (BGA)

Metode seleksi dalam algoritma genetika dilakukan secara random/acak, sehingga ada kemungkinan bahwa kromosom yang sebenarnya sudah baik tidak bisa turut serta pada generasi berikutnya karena tidak lolos seleksi. Untuk itu perlu adanya perbaikan pada algoritma genetika yang dikenal dengan nama Breeder Genetic Algorithm (BGA).

Metode Breeder Genetic Algorithm dikembangkan oleh Muhlenbein, pada BGA ini digunakan parameter r , yang menunjukkan kromosom-kromosom terbaik. Kromosom-kromosom ini akan tetap dipertahankan pada generasi berikutnya dengan cara menggantikan sebanyak r kromosom pada generasi tersebut.

3.7. Flowchart Breeder Genetic Algorithm



Gambar 7. Flowchart Breeder GA

4. HASIL DAN ANALISIS.

4.1. Parameter Kontrol

Parameter yang digunakan dalam penelitian ini seperti pada tabel 1.

Tabel 1. Data Parameter Kontrol.

No	PARAMETER	VALUE
1	Power factor	0,9
2	Crossover rate	0,45
3	Mutasi rate	0,01
4	Jumlah Populasi	80
5	Generasi	100
6	Tegangan Nominal (Kv)	20
7	Base Power (MVA)	100
8	Magnitude Tegangan (p.u)	$V^{\max} = 1.04$

4.2. Penghantar Sistem Distribusi 20kV

Pada tabel 2. menunjukkan data-data parameter penghantar sistem distribusi 20kV.

Tabel 2. Data Parameter Penghantar.

Penghantar	D (mm ²)	r (Ω)	x (Ω)	KHA (A)
CU XLPE	240	0.1610	0.0980	358
AL XLPE	150	0.2650	0.1060	272
AAAC	150	0.2375	0.3002	425
AAAC	95	0.3744	0.3321	320
AAAC	70	0.5303	0.3406	255

4.3. Data Transformator Sistem Distribusi 20kV

Pada tabel 3. ditunjukkan data-data parameter transformator sistem distribusi 20kV.

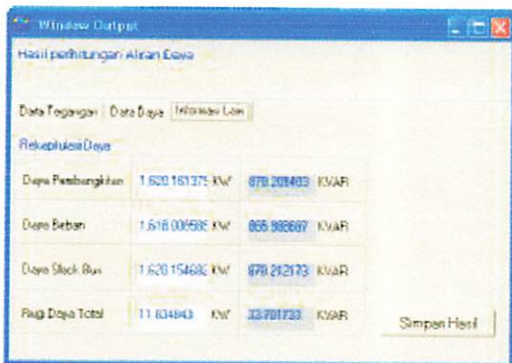
Tabel 3. Data Parameter Transformator.

KVA	z (%)	x (%)	r (%)
25	4	1.70	3.62
50	4	1.60	3.67
100	4	1.60	3.67
160	4	1.25	3.30
200	4	1.25	3.30
250	4	1.20	3.82
315	4	1.24	3.80
400	4	1.15	3.83
630	4	1.03	3.86

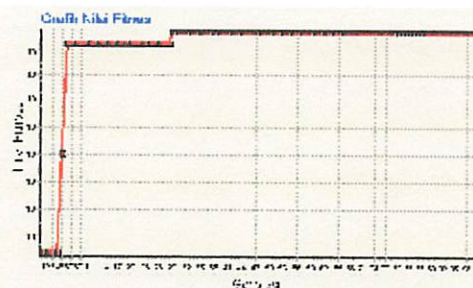
4.4. Hasil analisis aliran daya pada penyulang-penyulang dengan menggunakan metode Breeder GA.

- Hasil menggunakan metode konvensional GA seperti pada gambar 8, didapatkan hasil losses daya total untuk daya aktif sebesar 11,834843 KW dan untuk daya reaktif sebesar 33,701733 KVAR.
- Hasil menggunakan metode Breeder Genetic Algorithm (BGA) didapat hasil yang sama dengan metode GA gambar 8, tetapi ditekankan pada proses konvergen losses daya, dimana dengan menggunakan GA konvergen dicapai pada generasi ke 29 sedangkan dengan menggunakan BGA konvergen losses daya total pada generasi ke 13. Jadi dengan menggunakan BGA lebih cepat konvergen jika dibandingkan dengan GA biasa.

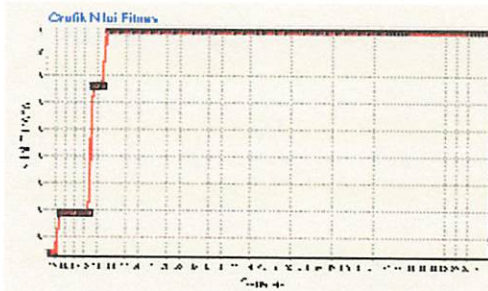
Gambar 9. memperlihatkan grafik fungsi fitness dari metode GA yang konvergen pada generasi ke 29 dan gambar 10. menunjukkan grafik fungsi fitness dari BGA yang konvergen pada generasi ke 13.



Gambar 8. Hasil Perhitungan Output GA.



Gambar 9. Grafik Nilai Fitness GA



Gambar 10. Grafik Nilai Fitness Breeder GA

Perhitungan losses daya sebelum direkonfigurasi menggunakan program EDSA TECHNICAL 2000 ditunjukkan pada tabel 4.

Tabel 4. Hasil Generasi Daya Program EDSA Tech. 2000

ITEM	P (KW)	Q (KVAR)	Pf (%)
Swing Bus	1758.506	973.659	87.49
Generator	0.000	0.000	0.00
Total Load	1746.228	93.990	88.10
Total Loss	12.278	35.668	
Mismatch	0.000	0.000	

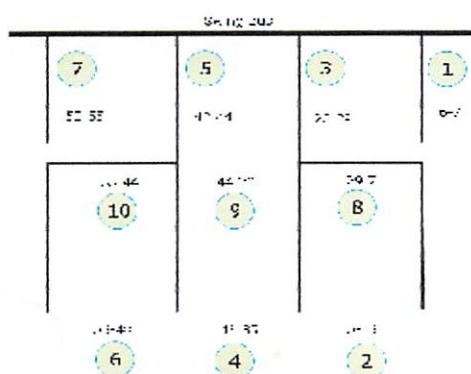
Hasil rekonfigurasi didapatkan sistem jaringan yang radial dengan penurunan losses daya aktif sebesar 12.278KW-11.834843 KW = 0.443157 KW (3.7%).

Pengujian jatuh tegangan rekonfigurasi sistem baru dilakukan dengan menggunakan program EDSA Technical 2000, didapat hasil jatuh tegangan tidak melebihi batas-batas toleransi (+5% dan -5%), yang terkecil 0.01% dan terbesar 2.5%. Data selengkapnya ditunjukkan pada tabel 5.

Tabel 5. Analisis jatuh tegangan dengan EDSA Tech. 2000

NO	Penyulang	Jatuh Tegangan	
		Min (%)	Mak (%)
1	P ₁	0.01	4.61
2	P ₂	2.5	0.95
3	P ₃	2.5	1
4	P ₄	2.5	0.74

Hasil rekonfigurasi sistem didapatkan sistem radial seperti ditunjukkan pada gambar 11.



Gambar 11. Hasil Rekonfigurasi Jaring Radial

5. KESIMPULAN

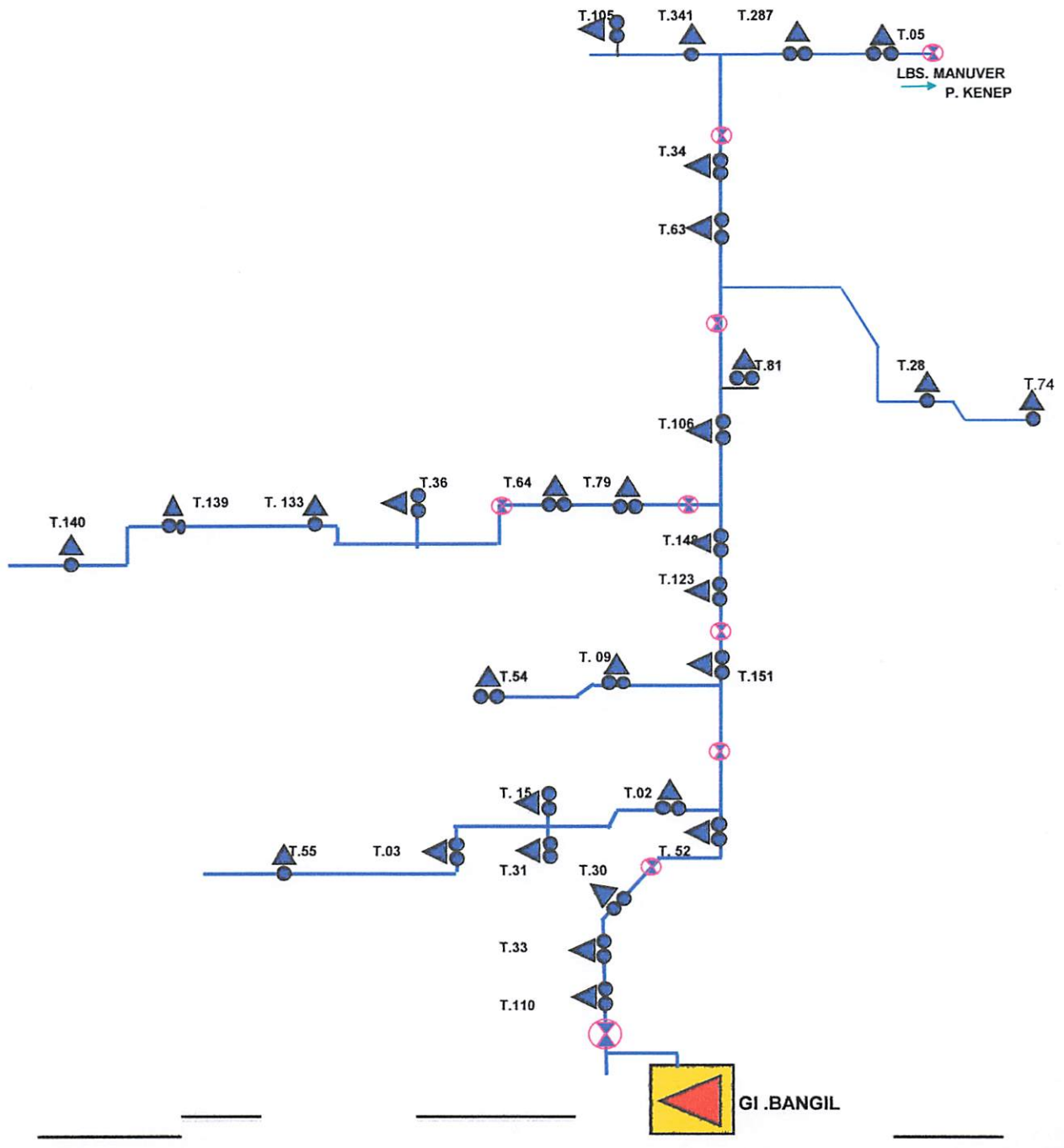
Penggunaan metode Breeder Genetic Algorithm pada rekonfigurasi sistem distribusi daya listrik dapat disimpulkan:

1. Penggunaan metode BGA lebih cepat konvergen jika dibandingkan dengan metode GA biasa.
2. Dengan metode Breeder Genetic Algorithm ini menurunkan losses daya Aktif sebesar sebesar $12,278\text{KW} - 11,835\text{KW} = 0.443\text{KW}$ (3.7%)
3. Jatuh tegangan untuk masing-masing penyulang masih dalam batas toleransi (+5%, dan -5%), minimum sebesar 0,01% dan maksimum sebesar 2.5%

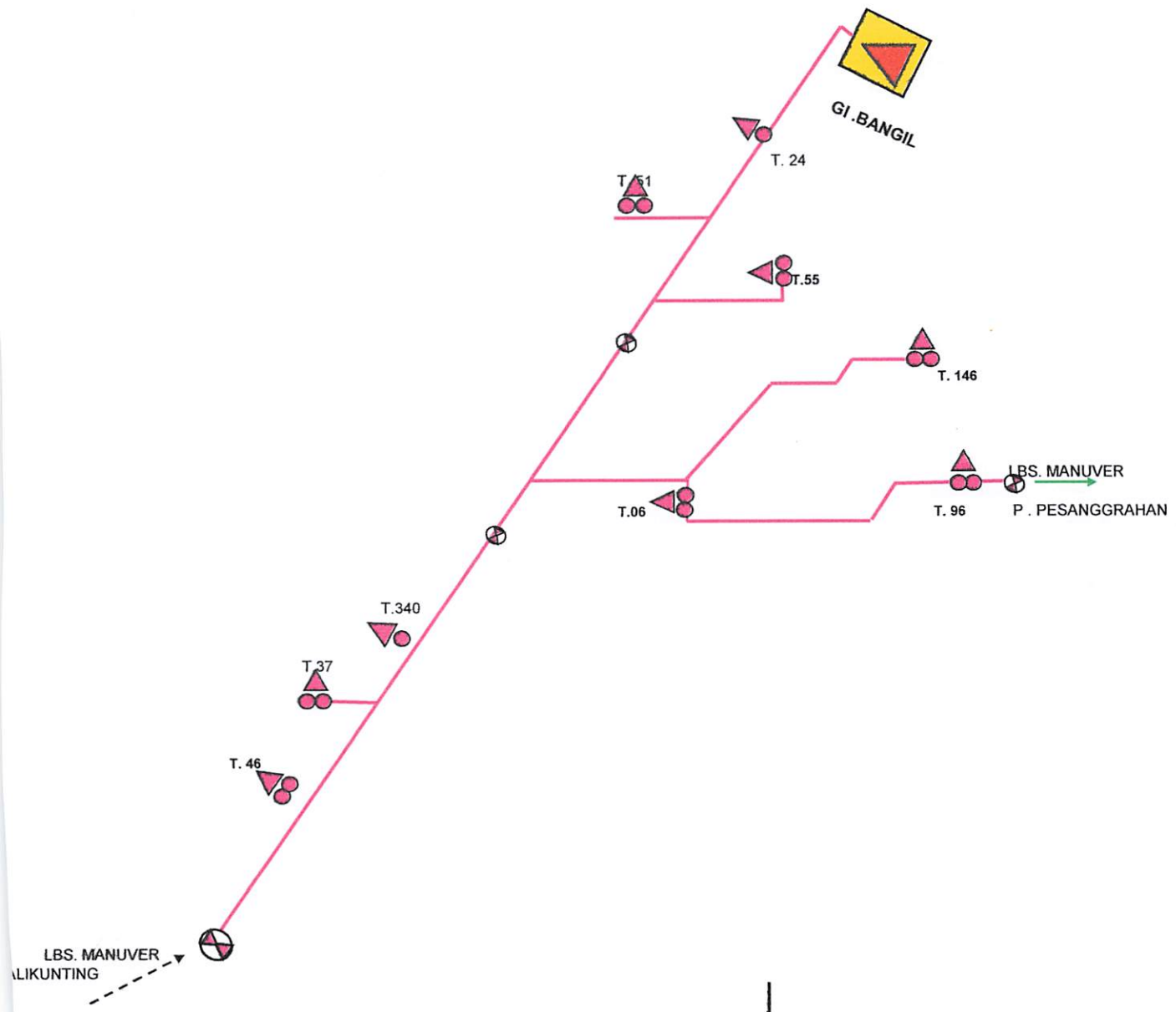
6. DAFTAR PUSTAKA

- [1] S.R. Khator and L.Cheung, "Power distribution Planning", review of models and issues, IEEE Trans.Power. Syst., Vol. 12, No.3, pp.1151-1158, May 1997.
- [2] D.E Golberg, "Genetic Algorithms in Search Optimization, and Machine Learning", Reading, M.A: Addison-Wesley, 1989.
- [3] I.J. Ramirez-Rosado and T. Gonen, Pseudodynamic, "Planning for expansion of Power Distribution System", IEEE Transaction on Power System, Vol.6, No.1, February 1991, pp.245-254.
- [4] I.J Ramirez-Rosado and J.L. Bernal-Agustin, "Genetic Algorithms apiled to the design of larger power distribution System" IEEE Trans. Power Syst. Vol. 13, No. 12, pp. 696-703, May 1998.
- [5] T-H Chen and T.Cherng,"Optimal fasa arrangement of Distribution transformer connected to primary feeder for system unbalance improvement and loss reduction using Genetic Algorithms," IEEE Tans. Syst. Vol. 15, No.3, pp. 994-1000, Aug. 2000.
- [6] Stevenson, Jr. dan William, D. "Analisis Sistem Tenaga Listrik", Erlangga. Bandung. 1990.
- [7] Civanlar,S. dan Grainger, J.J. "Distribution Feeder Reconfiguration For Loss Reduction", North Carolina State University. North Carolina. 1988.
- [8] Debapriya Das, "A Fuzzy Multiobjective Approach for Network Reconfiguration of Distribution Systems", IEEE Transactions on Power Delivery, Vol. 21, No. 1, January 2006, p.202.

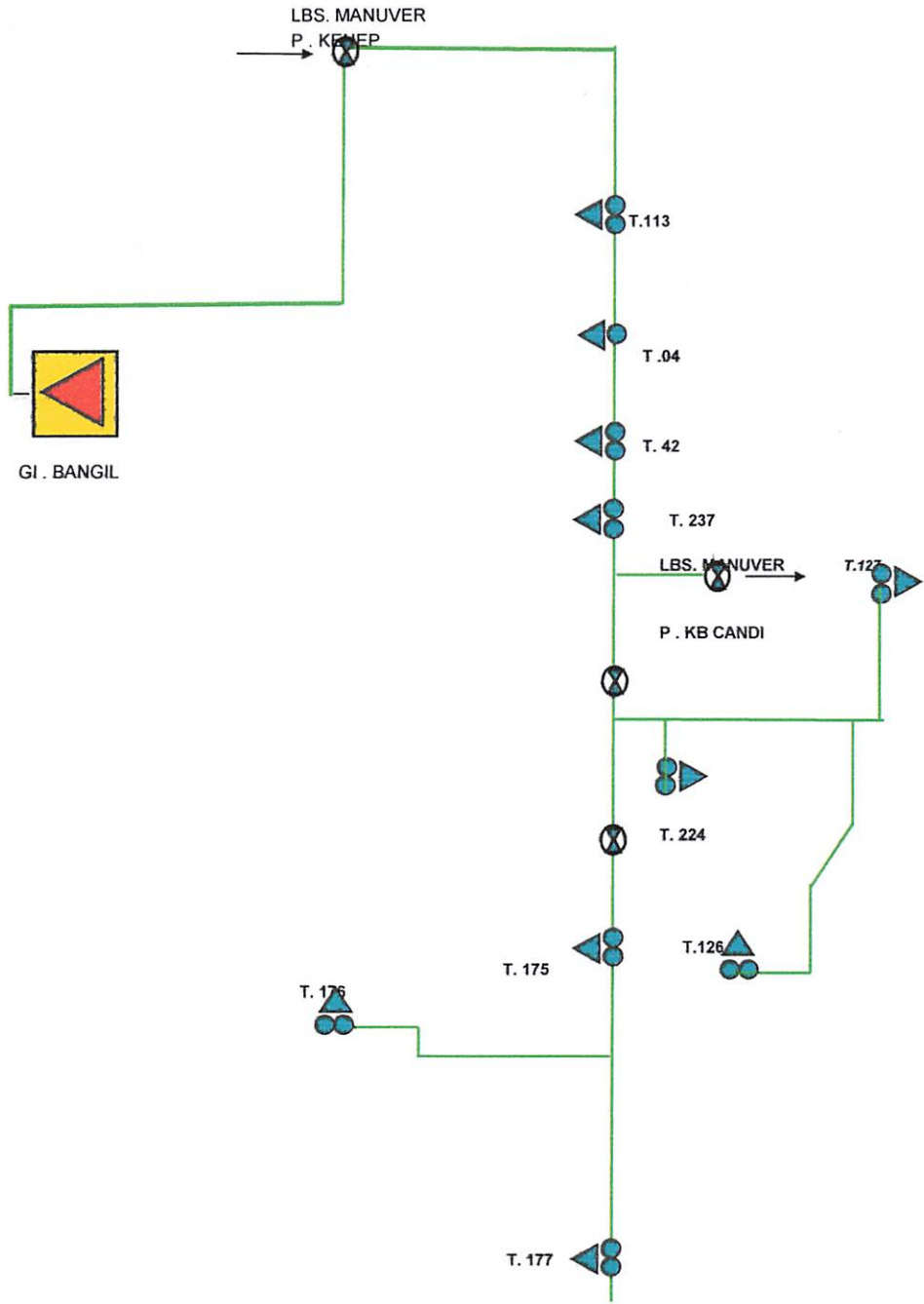
SINGLE LINE PENYULANG KALIKUNTING
DARI GI . BANGIL



SINGLE LINE PENYULANG KENEP



SINGLE LINE PENYULANG PESANGGRAHAN



SINGLE LINE PENYULANG KEBON CANDI

T.347

T.73

T.194

LBS.MANUVER

T.29

T.62

T.47

T.85

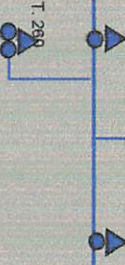
T.328

T.160

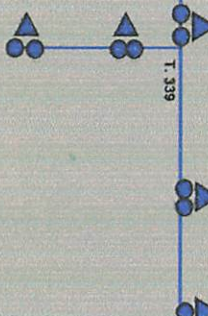
T.304

T.194

P.PESANGGRAHAN



T.353



T.339

T.194

LBS.MANUVER

T.138

P.GUNUNG GANGSIR

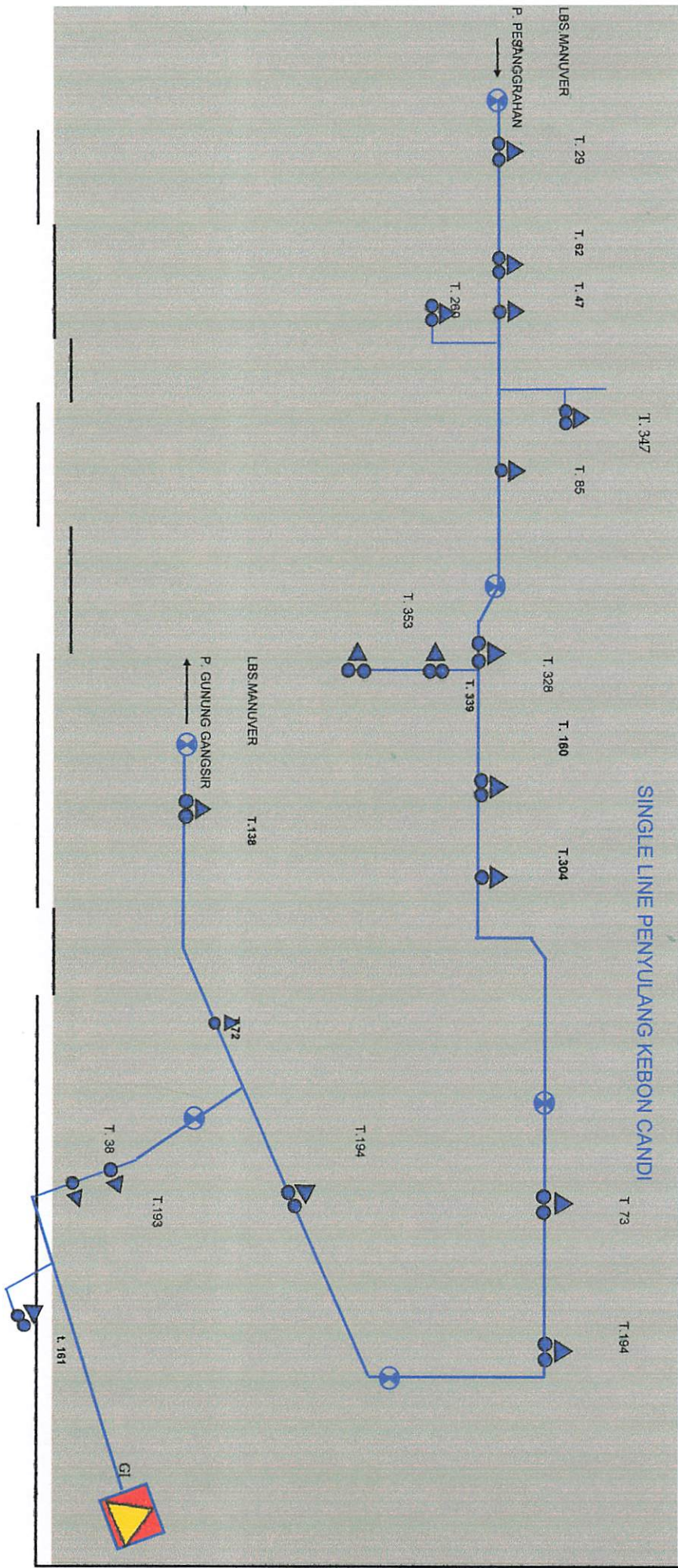


T.193

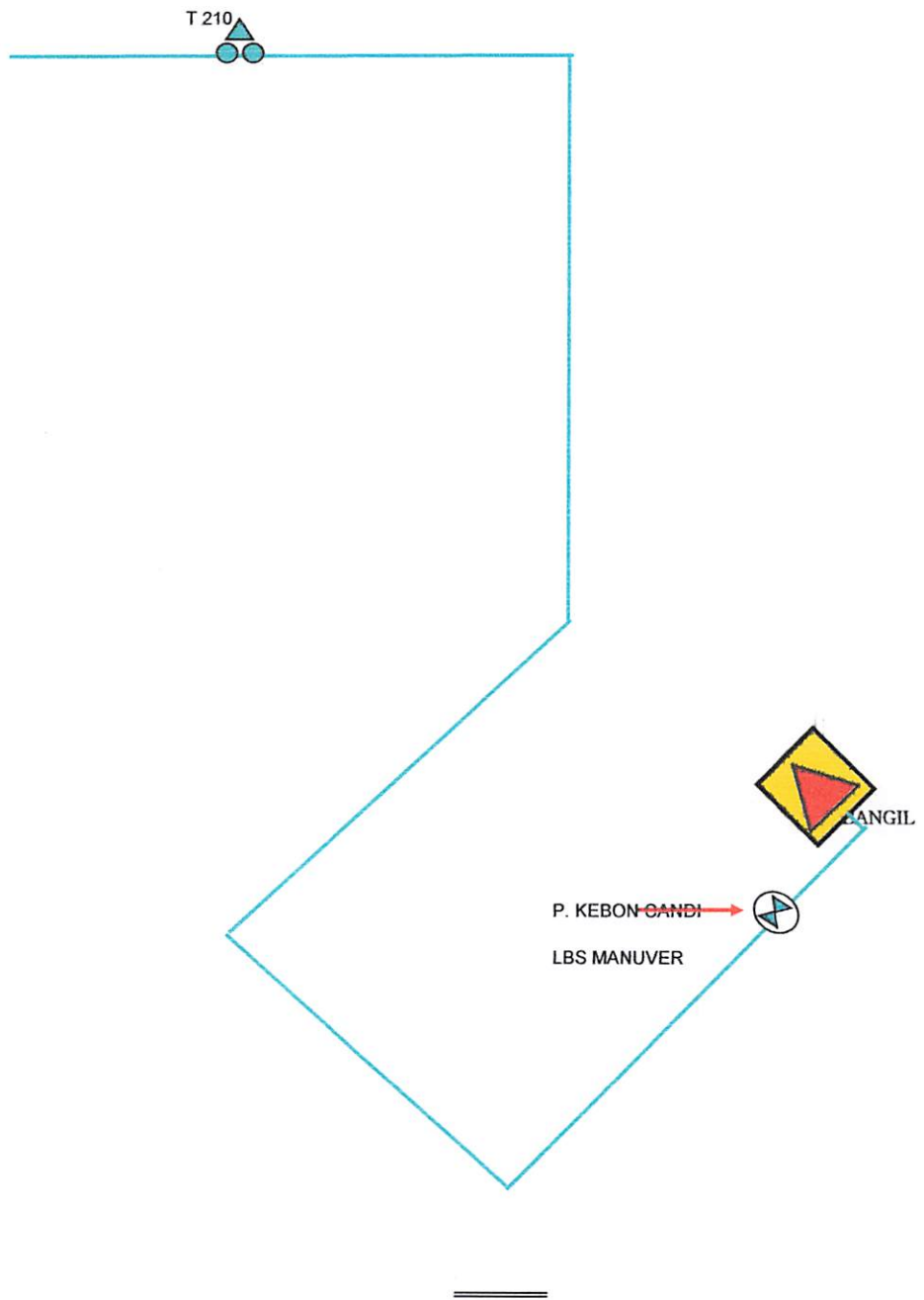
T.38

T.193

GL



SINGLE LINE PENYULANG GUNUNG GANGSIR



LAPORAN PENGUKURAN BEBAN UPJ BANGIL

SEMESTER 1 TRIWULAN 1

TAHUN : 2009

LAPORAN PENGUKURAN BEBAN UPJ BANGIL

SEMESTER 1 TRIWULAN 1

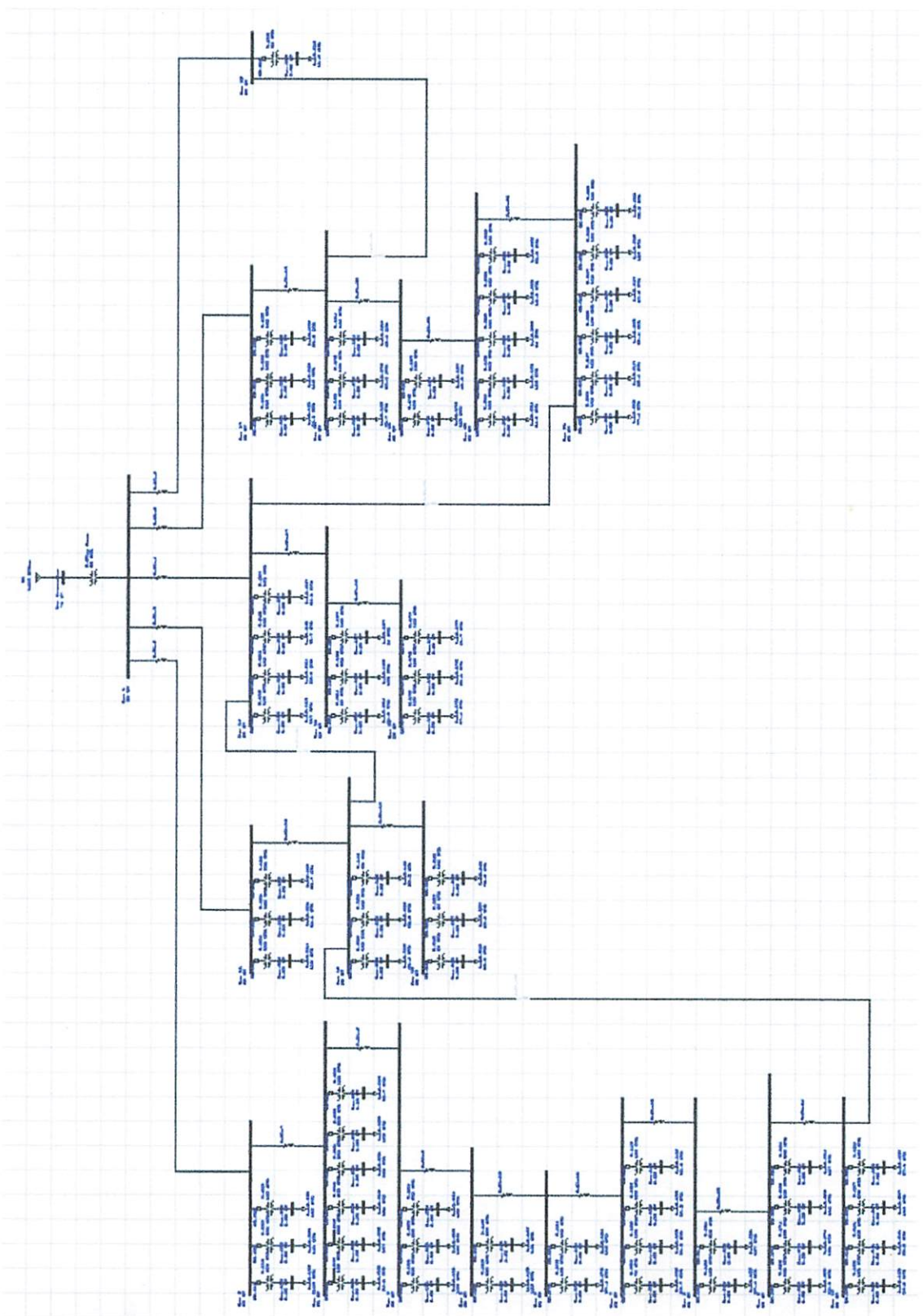
TAHUN : 2009

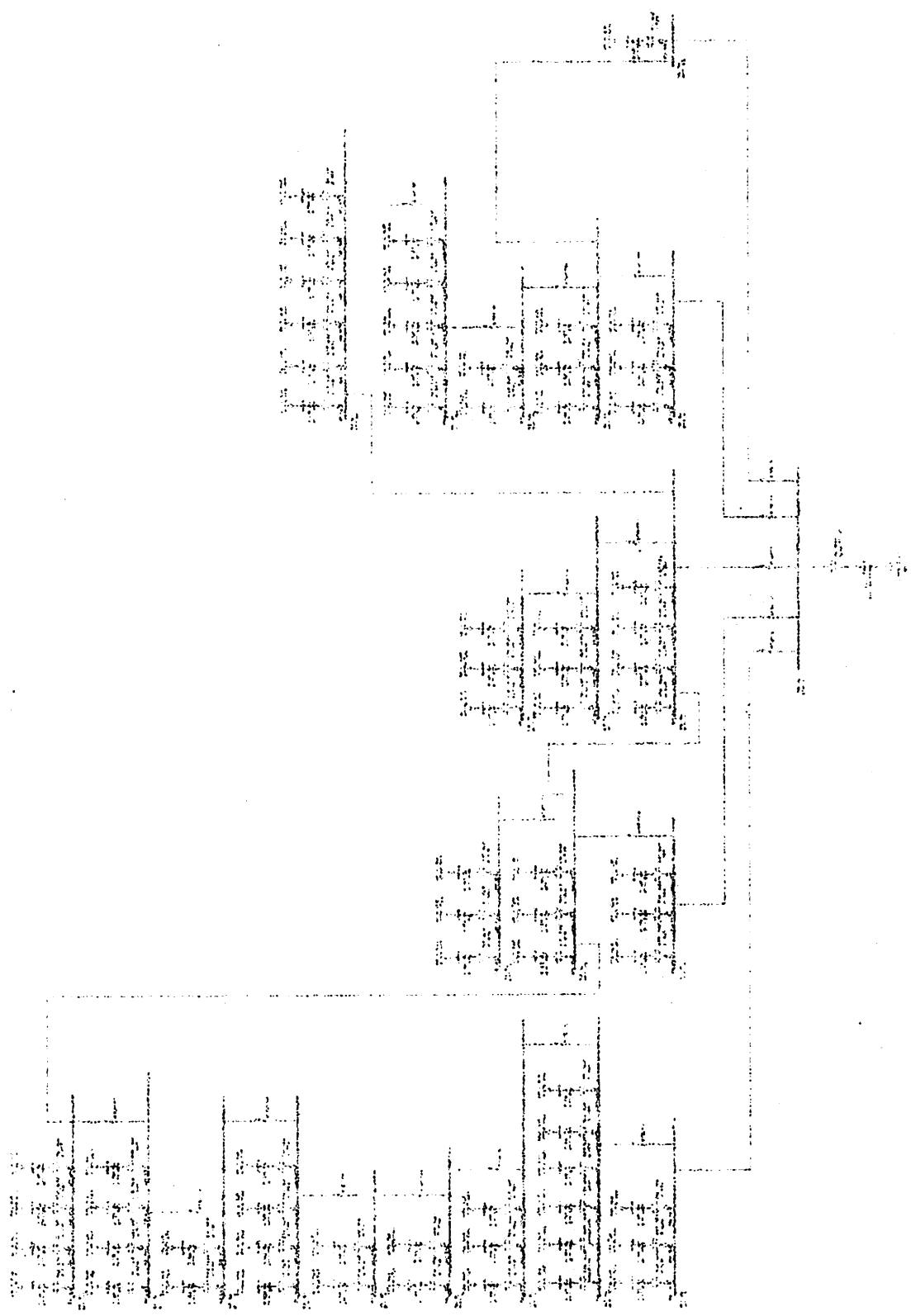
NO	NO GAR DU	ALAMAT	PENYULANG	KAPA SITAS (KVA)	SISTEM TEGANGAN KV	TGL / BULAN PENGUKURAN VOL T	A M P E R E												BEBAN PADA TRAF				TEGANGAN TRAF		BEBAN (%)	TITIK TUMP	VOL T	% Vn	TITIK TUMPU	VOLT	%	PENTAHAN Q	ODA LA	KEBO CORA NLA	KET								
							LINE A			LINE B			LINE C			LINE D			R			S			T			N			R			S			T			N			
							R	S	T	R	S	T	R	S	T	N	R	S	T	N	R	S	T	N	R	S	T	N	R	S	T	N	R	S	T	N							
2	3	4		5	6	7	8	9	10	11	12	13	14	15	16	17	18	19	20	21	22	23	24	25	26	27	28	29	30	31	32	33	34	35	36	37	38	39	40	41	42	43	44
81	103	DS TAMBAKAN / JL ABDI	KALI KUNTING	160	20	400		58	70	115	62					35	24	36	33					144	107	157	77	228	230	227	94,22	58,89	A11	223	93,24	2,1	1,3	0,87					
82	106	JL BADER	KALI KUNTING	160	20	400		56	66	131	37					38	15	32	10					132	138	152	46	228	230	231	97,43	60,91	A5B7A5	220	95,24	2,2	1,5	0,86					
83	109	DS GAJAHBENDO (STM)	BEJI	200	20	400		55	66	113	48					74	62	89	30					158	164	196	76	231	232	220	119,88	59,81	A2D6C2	223	97,38	1,7	2,1	0,90					
84	110	PASARBARU	KALI KUNTING	200	20	400		56	66	171	61					4	-	25	31					178	204	196	74	229	228	226	140,00	70,00	A9B3C2	182	79,82	1,8	1,6	0,86					
85	112	DN BEKACAK SEL.	RACI	100	20	400		41	24	29	17					70	47	88	47					119	70	117	61	226	229	225	70,87	70,87	A9	223	98,87	1,8	1,3	0,80					
86	113	PESANGGRAH / Gg. T	PESANGGRAH	180	20	400		96	66	113	46					54	61	77	50					152	163	181	93	232	233	230	118,88	73,03	A1B8	219	95,22	1,4	1,5	0,87					
87	116	DS KUDULDalem / PLAZA	RACI	250	20	400		91	64	77	31													96	66	90	55	234	219	169	67	225	225	224	143,84	57,48	A4B6	220	98,21	2,0	1,7	0,87	
88	117	DS SYIAR	SYIAR	100	20	400		-	1	16	8					64	27	59	43					64	27	73	48	225	228	225	37,87	37,87	A8	221	98,22	2,1	1,5	0,86	UNDER LOAD				
89	118	DS KOLURGARI	RACI	180	20	400		90	74	90	45					32	20	46	22					121	105	139	67	215	217	217	84,28	52,68	A6B2C2	221	101,84	C0	221	101,84	2,1	1,6	0,86		
90	123	JL SANGENG	KALI KUNTING	200	20	400					47	30	49	15			96	66	88	89	181	136	228	108	222	227	220	125,88	82,93	B8A1	181	82,27	D2C2B5	181	82,27	2,2	1,3	0,86					
91	125	DS SUMBER GLAGAH	SYIAR	100	20	400					28	27	35	11			20	43	26	13	62	27	63	29	228	225	225	36,10	35,10		222	98,23		222	98,23	2,3	1,2	0,86	UNDER LOAD				
92	126	DN SUMBER BOTO	PESANGGRAH	200	20	400		60	65	51	28					113	66	132	35					188	200	181	69	222	222	220	130,84	85,47	A4D5A1	220	100,00	C1B8	220	100,00	1,7	1,5	0,86		
93	127	DS KARANGPANAS	PESANGGRAH	160	20	400		45	57	67	20					77	68	85	29					129	127	181	58	224	228	226	93,98	58,74	B4	182	81,25	D1C1D4C	182	81,25	1,3	1,9	0,86		
94	130	DS PEKOREN 01/02	SYIAR	180	20	400		56	66	100	53					52	38	56	29					185	191	168	80	223	223	222	116,89	72,74	B3C4B3	180	81,08	D6A4	180	81,08	1,7	1,5	0,86		
95	132	JL RAYA,RACI	PIER B	200	20	400					106	66	66	52			98	68	59	24	207	212	168	66					135,68	67,78	B13A4B	219	8DIV/01	D5A4B6	219	8DIV/01	1,8	1,6	0,86				
96	133	DS KEDUNGBOOTO	KALI KUNTING	160	20	400										96	66	66	42	133	109	111	44	228	229	222	81,82	56,95	B8C4	223	97,81	D2A1B10	223	97,81	2,1	1,3	0,86						
97	134	DS DADAPAN	SYIAR	100	20	400		20	47	52	20					51	52	64	4					81	104	118	21	227	228	228	69,97	69,97	B2C4	223	97,81	D10A6D2	223	97,81	2,2	1,7	0,86		
98	135	DS KALISAT	SYIAR	3X25	20	400									48	50	59	28					47	53	61	26	228	226	225	37,18	49,57	B3B8C2	220	97,78	C11	220	97,78	2,3	1,6	0,86			
99	137	DS NOBAYUNAN	BEJI	100	20	400					28	33	67	9					19	28	22	27	46	61	90	34	232	223	223	46,49	45,49	B3C2C5	222	99,65	D4C5B8A	222	99,65	1,8	2,1	0,86	UNDER LOAD		
100	138	DS PILANGBANGAU / BEN	KEBON CANDI	100	20	400		41	26	66	32					60	22	39	34					106	53	104	55	232	234	232	60,74	60,74	B3C3B5	222	95,89	C1B4	222	95,89	1,3	1,0	0,86		
101	139	DS NGAMPTEL BALONG RI	KALI KUNTING	100	20	400					52	34	74	28			23	19	25	18	70	54	100	44	230	232	229	53,81	53,81	C4D5	223	97,38	D2A1C3	181	97,38	2,4	1,4	0,87					
102	140	DN KEDUNGRINGIN / DS E	KALI KUNTING	100	20	400					87	74	68	40								89	72	58	40	229	231	232	50,57	50,57	B4A1B5	223	96,12	C3B4A7	223	96,12	2,1	1,2	0,86				
103	141	DN. PANJEGERAN	CANGRING MA	180	20	400		31	24	98	32					33	75	15	18					64	99	115	50	223	234	234	64,20	40,12	A4D2	181	77,35	C908	181	77,35	1,7	1,0	0,86	UNDER LOAD	
104	144	DN. SELAMBRIT	SYIAR	100	20	400					50	35	46	29			47	34	62	22	103	70	106	49	230	213	220	64,43	64,43	A11B4	181	79,04	C2A1C3	181	79,04	1,9	1,6	0,86					
105	145	DS KRENGIH	SYIAR	100	20	400		-	22	15	14					116	70	98	26					113	91	113	23	223	225	225	73,21	73,21	A11B4	222	98,87	A3D20	222	98,87	2,1	1,4	0,86		
106	146	DS BANJARKEJEN / DN S	KENEP	50	20	400									32	40	43	15					32	40	43	16	223	224	221	26,58	53,11	C10D2	222	100,45	D2D2A10	222	100,45	1,6	1,6	0,86			
107	148	DS KERSIKAN	KALI KUNTING	250	20	400					112	98	61	26			66	66	66	40	238	170	196	68	222	219	227	140,87	58,38	A1B3A	181	79,74	C1	181	79,74	1,8	0,86						
108	151	DS SINGOPOLO	KALI KUNTING	200	20	400					63	43	71	43			66	66	66	55	220	180	190	70	225	226	225	130,28	58,13	B8C1	221	98,22	D2A3	221	98,22	1,9	1,3	0,86					
109	155	DS TAMPUNG BRT/Sispe	KENEP	100	20	400									57	92	90	23					66	99	91	21	227	229	229	63,74	63,74	B2A3	221	96,51	B1D2D	221	96,51	1,4	1,8	0,86			
110	159	DS BLAWI	PIER B	100	20	400					38	70	45	46			9	2	-	-	43	78	46	45	0	0	0	38,87	38,87	B3C6	223	8DIV/01	D1A3C2	223	8DIV/01	2,2	1,2	0,86	UNDER LOAD				
111	160	DS KEBON CANDI	KEBON CANDI	200	20	400					170	66	66	74			28	26	18	14	198	253	220	59	224	224	222																

NO	NO GAR DU	ALAMAT	PENULANG	KAPA STAS (kVA)	SISTEM TEGANGAN KV	TGL / BULAN PENGUKURAN VOL T	AMPERE												BEBAN PADA TRAF				TEGANAN TRAF				BEBAN		TITIK %	VOL T	% TITIK Vn	PENTAHAN TR AF Q	GOS Q	KEBO CORA NLA	KET												
							LINE A			LINE B			LINE C			LINE D			R			S			T			N			R			S			T			N			(kVA)				
							R	S	T	R	S	T	R	S	T	N	R	S	T	N	R	S	T	N	R	S	T	N	R	S	T	N	R	S	T	N	%	TUMPU	Vn								
2	3	4		5	6	7	8	9	10	11	12	13	14	15	16	17	18	19	20	21	22	23	24	25	26	27	28	29	30	31	32	33	34	35	36	37	38	39	40	41	42	43	44				
121	187	KPR INDOFOOD	KEBON CANDI	160	20	400		84	50	31	40					13	-	-	17					95	51	31	60	228	230	229	40,56	25,65	88	220	96,07	D2C3	220	96,07	1,9	1,4	0,85	UNDER LOAD					
122	193	PERUM ZIDAM	KEBON CANDI	160	20	400		82	81	51	41					49	83	58	46					113	165	113	87	226	225	224	90,29	56,43	A6B8C1	223	99,55	B3C4	223	99,55	1,3	2,2	0,85						
123	194	YONKAW 8 TANK	KEBON CANDI	160	20	400							13	9	25	15					35	44	51	18	50	57	81	33	225	226	228	43,42	27,13	A6B8C2	220	97,35	C6B4A5D	220	97,35	2,1	1,8	0,85	UNDER LOAD				
124	199	DS KEDUNG BANTENG	SYIAR	160	20	400		28	19	20	13					14	34	47	30					63	23	67	43	233	235	234	35,33	22,08	B2A4C2	221	94,44	C16B2	221	94,44	2,3	1,4	0,85	UNDER LOAD					
125	200	DS GEMBON KEDUNG BA	SYIAR	100	20	400		68	36	91	38					51	50	33	14					118	87	124	46	220	230	229	76,98	76,98	A8D2	221	96,51	C1D10C1	222	96,51	1,6	1,7	0,85						
126	202	DS REMBANG	SYIAR	160	20	400		43	24	23	17					120	85	153	72					168	120	177	59	222	225	222	106,93	66,83	B3C3E	223	100,45	D1A7	223	100,45	2,2	1,3	0,90						
127	203	DS BLAWI	PIER B	200	20	400		39	44	1	57					110	#86	139	33					150	166	145	58	225	229	232	111,06	55,64	B2C4B7	181	78,02	D9C1	181	78,02	1,5	1,7	0,90						
128	210	DS CURAH DUKUH	GANGSIR	50	20	400							12	19	12	10					11	24	13	10	234	235	234	11,08	23,60		220	94,02		220	94,02	2,4	1,3	0,85	UNDER LOAD								
129	224	PERUM ROMBO	PESANGGRAH	60	20	400		30	24	39	23												30	24	39	24	235	234	231	21,48	42,95	B1A4	221	96,67	D2	221	96,67	1,7	1,8	0,85	UNDER LOAD						
130	226	DS BALAI PANJANG / RAD	PIER B	50	20	400										52	33	34	25					64	33	39	29	232	229	238	29,10	58,20	C1B2B3	222	94,07		222	94,07	1,6	1,4	0,85						
131	237	DS ORO-ORO OMBO WET	PESANGGRAH	160	20	400		#86	#86	78	43					18	29	14	18					140	132	92	56	231	231	230	84,08	52,54	A10B8C	223	90,98	C8D6	222	90,98	2,1	1,7	0,85						
132	245	DS PEJATEN	SYIAR	100	20	400		30	33	23	11					73	81	65	9					103	90	100	22	225	228	225	71,82	71,82		223	99,11		222	99,11	1,7	1,9	0,85						
133	246	DS OYORAN	SYIAR	3X25	20	400		20	8	8	12					45	36	24	14					63	41	34	31	228	232	229	31,97	42,49	A1D1A1	223	96,67	C2D6	223	96,67	2,3	1,2	0,90						
134	251	DS CENGKELEK / KEDUNG	SYIAR	3X25	20	400		25	26	39	33					1	3	4	3					85	37	12	22	226	226	225	21,28	28,33	B4C2	222	96,67		222	96,67	1,7	2,1	0,85	UNDER LOAD					
135	260	DS CANDIROBOH	KEBON CANDI	100	20	400		48	16	29	15					8	14	10	10					58	31	37	28	228	229	229	20,10	29,10	C13B7	221	97,79		221	97,79	1,5	1,8	0,85						
136	275	DS GNG GANOSIR	WONOKOYO	160	20	400		#86	#86	122	31												112	108	122	31	229	231	228	78,98	49,35		222	97,57		222	97,57	1,4	2,2	0,85							
137	280	TKW/PANDEREJO (80)	BEJI	60	20	400							7	23	43	39					6	2	-	8	14	24	44	34	222	224	220	18,94	37,57	A3B1	220	100,00	D2	220	100,00	1,9	1,3	0,85	UNDER LOAD				
138	287	DS KALIANYAR	KALI KUNTING	200	20	400		32	61	66	27	33	4	3	2	95	88	55	28	-	41	15	12	170	190	137	68	220	232	232	116,10	58,08	A4C7	222	95,89		222	95,89	1,4	2,3	0,85						
139	291	DN. BAKALAN / JL. Raya P	BEJI	160	20	400		85	75	70	31									87	34	84	44	181	105	137	78	228	231	228	97,08	61,05		221	96,93		220	96,93	1,6	1,9	0,85						
140	304	POHKAN / Sispalan T. 135	KEBON CANDI	100	20	400														83	65	65	-	82	68	68	0	227	229	227	64,50	54,50	E9T2C2	222	97,00	F1B1C5E	222	97,00	1,6	1,9	0,85						
141	310	DS TURIREJO / Sispalan T.	WONOKOYO	25	20	400							34	12	17	20							34	13	17	20	226	229	229	14,78	59,12		222	98,23		223	98,23	1,3	2,4	0,80							
142	311	DS BOBO/Sispalan T. 077	WONOKOYO	160	20	400							151	#86	#86	43							151	134	156	44	224	225	224	101,84	53,65	B13A6	223	99,55		223	99,55	1,7	1,6	0,80							
143	314	DS KEDANTEN / Sispalan T.	WONOKOYO	160	20	400		47	22	27	-									68	48	#86	59	117	69	135	59	225	229	226	74,13	46,33	A1D5C2	222	98,23		222	98,23	1,6	1,5	0,85						
144	322	DS CANGK MLG SEL.	CANGRING MU	3X50	20	400							91	57	63	37	12	99	45	31				102	158	95	62	232	232	232	81,98	54,65		220	94,83		220	94,83	1,3	2,1	0,87						
145	328	Jl. Pepaya POGAR / Sispalan T.	KEBON CANDI	160	20	400		35	6	2	33					131	#86	103	58					168	114	103	59	231	231	230	88,91	55,57		222	96,52		221	96,52	2,3	1,8	0,85						
146	337	PERUM POND.ASIH	BEJI	100	20	400		25	7	13	23					48	33	77	38					79	37	69	63	210	222	222	47,34	47,34	C5	223	100,45		222	100,45	1,7	1,4	0,85	UNDER LOAD					
147	339	DS KBN CANDI/Sispalan T.	KEBON CANDI	160	20	400		33	49	35	16					47	39	79	28					80	84	113	47	230	231	232	93,97	39,98		220	94,83		221	94,83	2,3	1,3	0,87	UNDER LOAD					
148	341	DS KALIANYAR / Sispalan T.	KALI KUNTING	100	20	400							43	31	42	21							32	25	45	28	231	234	233	23,79	47,57		222	96,28		221	96,28	1,8	1,3	0,85	UNDER LOAD						
150	344	JL. SILI / Sispalan T. 060	RACI	160	20	400		67	79	106	40					27	35	54	32					60	63	93	125	45	228	226	66,28	66,28		224	100,45		221	100,45	1,3	2,2	0,85						
151	345	JL. DUYUNG - DERMO / S	RACI	160	20	400		53	#86	123	48					20	25	58	37					101	158	106	84	220	229	220</td																	

Penampang nominal (mm ²)	Jari-jari (mm)	Urat	GMR (mm)	Impedansi (Ω/km)
35	3,3371	7	2,4227	0,9217 + j 0,3790
50	3,9886	7	2,8957	0,6452 + j 0,3678
70	4,7193	7	3,4262	0,4608 + j 0,3572
120	6,1791	19	4,6837	0,2688 + j 0,3376
150	6,9084	19	5,2365	0,2162 + j 0,3305

No	Dari	Ke	Penghantar	Penampang nominal (mm ²)	Jarak (km)
1	2	3	AAAC	150	6.105
2	3	4	AAAC	150	2.057
3	4	5	AAAC	150	0.325
4	5	6	AAAC	150	0.784
5	6	7	AAAC	150	1.140
6	7	8	AAAC	150	2.691
7	8	9	AAAC	150	0.272
8	9	10	AAAC	150	0.555
9	10	11	AAAC	150	0.314
10	2	12	AAAC	150	1.840
11	12	13	AAAC	150	0.261
12	13	14	AAAC	150	2.317
13	2	15	AAAC	150	5.180
14	15	16	AAAC	150	2.058
15	16	17	AAAC	150	2.254
16	2	18	AAAC	150	9.559
17	18	19	AAAC	150	1.390
18	19	20	AAAC	150	0.395
19	20	21	AAAC	150	2.095
20	21	22	AAAC	150	1.660
21	2	23	AAAC	150	5.496
22	11	13	AAAC	150	1.171
23	13	15	AAAC	150	4.285
24	15	22	AAAC	150	4.224
25	19	23	AAAC	150	2.265





ETAP PowerStation
 Project: 4.00C
 Location:
 Contract:
 Engineer:
 Filename: coba

Date: 07-27-2010
 S/N: KLGCONSULT
 Revision: Base
 Study Case: LF
 Config: Normal

BUS Input Data

Bus	ID	Type	kV	Initial Voltage		Generator		Motor Load		Static Load		Mvar Limits	
				% Mag.	Ang.	MW	Mvar	MW	Mvar	MW	Mvar	Max.	Min.
Bus 1		Load	20.000	100.0	0.0								
Bus 2		Load	20.000	100.0	0.0								
Bus 3		Load	20.000	100.0	0.0								
Bus 4		Load	20.000	100.0	0.0								
Bus 5		Load	20.000	100.0	0.0								
Bus 6		Load	20.000	100.0	0.0								
Bus 7		Load	20.000	100.0	0.0								
Bus 8		Load	20.000	100.0	0.0								
Bus 9		Load	20.000	100.0	0.0								
Bus 10		Load	20.000	100.0	0.0								
Bus 11		Load	20.000	100.0	0.0								
Bus 12		Load	20.000	100.0	0.0								
Bus 13		Load	20.000	100.0	0.0								
Bus 14		Load	20.000	100.0	0.0								
Bus 15		Load	20.000	100.0	0.0								
Bus 16		Load	20.000	100.0	0.0								
Bus 17		Load	20.000	100.0	0.0								
Bus 18		Load	20.000	100.0	0.0								
Bus 19		Load	20.000	100.0	0.0								
Bus 20		Load	20.000	100.0	0.0								
Bus 21		Load	20.000	100.0	0.0								
Bus 22		Load	20.000	100.0	0.0								
Bus.002		Load	0.380	100.0	0.0							0.133	0.083
Bus.003		Load	0.380	100.0	0.0							0.130	0.081
Bus.004		Load	0.380	100.0	0.0							0.082	0.051
Bus.005		Load	0.380	100.0	0.0							0.074	0.046
Bus.006		Load	0.380	100.0	0.0							0.034	0.021
Bus.009		Load	0.380	100.0	0.0							0.113	0.070
Bus.015		Load	0.380	100.0	0.0							0.103	0.064
Bus.024		Load	0.380	100.0	0.0							0.098	0.061
Bus.028		Load	0.380	100.0	0.0							0.079	0.049
Bus.029		Load	0.380	100.0	0.0							0.059	0.036
Bus.030		Load	0.380	100.0	0.0							0.105	0.065
Bus.031		Load	0.380	100.0	0.0							0.105	0.065
Bus.033		Load	0.380	100.0	0.0							0.120	0.074
Bus.034		Load	0.380	100.0	0.0							0.091	0.056
Bus.036		Load	0.380	100.0	0.0							0.031	0.019
Bus.037		Load	0.380	100.0	0.0							0.022	0.014

ETAP PowerStation
 Project: 4.0.0C
 Location:
 Contract:
 Engineer:
 Filename: coba

Study Case: LF
 SN: KLGCONSULT
 Revision: Base
 Config.: Normal

Bus

ID	Type	kV	Initial Voltage		Generator		Motor Load		Static Load		Mvar Limits	
			% Mag.	Ang	MW	Mvar	MW	Mvar	MW	Mvar	Max.	Min
Bus.038	Load	0.380	100.0	0.0					0.096	0.060		
Bus.042	Load	0.380	100.0	0.0					0.062	0.038		
Bus.046	Load	0.380	100.0	0.0					0.067	0.041		
Bus.047	Load	0.380	100.0	0.0					0.058	0.036		
Bus.051	Load	0.380	100.0	0.0					0.071	0.044		
Bus.052	Load	0.380	100.0	0.0					0.071	0.044		
Bus.054	Load	0.380	100.0	0.0					0.088	0.054		
Bus.055	Load	0.380	100.0	0.0					0.073	0.045		
Bus.062	Load	0.380	100.0	0.0					0.093	0.057		
Bus.063	Load	0.380	100.0	0.0					0.099	0.061		
Bus.072	Load	0.380	100.0	0.0					0.058	0.036		
Bus.073	Load	0.380	100.0	0.0					0.102	0.063		
Bus.074	Load	0.380	100.0	0.0					0.086	0.053		
Bus.079	Load	0.380	100.0	0.0					0.049	0.031		
Bus.081	Load	0.380	100.0	0.0					0.083	0.051		
Bus.085	Load	0.380	100.0	0.0					0.080	0.050		
Bus.096	Load	0.380	100.0	0.0					0.099	0.062		
Bus.105	Load	0.380	100.0	0.0					0.108	0.067		
Bus.106	Load	0.380	100.0	0.0					0.066	0.041		
Bus.110	Load	0.380	100.0	0.0					0.119	0.074		
Bus.113	Load	0.380	100.0	0.0					0.080	0.050		
Bus.123	Load	0.380	100.0	0.0					0.107	0.066		
Bus.126	Load	0.380	100.0	0.0					0.111	0.069		
Bus.127	Load	0.380	100.0	0.0					0.080	0.050		
Bus.133	Load	0.380	100.0	0.0					0.069	0.043		
Bus.138	Load	0.380	100.0	0.0					0.052	0.032		
Bus.139	Load	0.380	100.0	0.0					0.046	0.028		
Bus.140	Load	0.380	100.0	0.0					0.043	0.027		
Bus.146	Load	0.380	100.0	0.0					0.023	0.014		
Bus.148	Load	0.380	100.0	0.0					0.120	0.074		
Bus.151	Load	0.380	100.0	0.0					0.116	0.072		
Bus.155	Load	0.380	100.0	0.0					0.054	0.034		
Bus.160	Load	0.380	100.0	0.0					0.132	0.082		
Bus.161	Load	0.380	100.0	0.0					0.082	0.051		
Bus.164	Load	0.380	100.0	0.0					0.099	0.061		
Bus.175	Load	0.380	100.0	0.0					0.032	0.020		
Bus.176	Load	0.380	100.0	0.0					0.059	0.036		
Bus.177	Load	0.380	100.0	0.0					0.044	0.027		
Bus.187	Load	0.380	100.0	0.0					0.035	0.022		
Bus.193	Load	0.380	100.0	0.0					0.077	0.048		
Bus.194	Load	0.380	100.0	0.0					0.037	0.023		

Project:	ETAP PowerStation				Page:	4
Location:	4.0.0C				Date:	07-27-2010
Contract:					SN:	KLGCONSULT
Engineer:	Study Case: LF				Revision:	Base
Filename:	coba				Config.:	Normal

Bus			Initial Voltage		Generator		Motor Load		Static Load		Mvar Limits	
ID	Type	kV	% Mag.	Ang.	MW	Mvar	MW	Mvar	MW	Mvar	Max.	Min.
Bus.210	Load	0.380	100.0	0.0					0.010	0.006		
Bus.224	Load	0.380	100.0	0.0					0.018	0.011		
Bus.237	Load	0.380	100.0	0.0					0.071	0.044		
Bus.260	Load	0.380	100.0	0.0					0.025	0.015		
Bus.287	Load	0.380	100.0	0.0					0.099	0.061		
Bus.304	Load	0.380	100.0	0.0					0.046	0.029		
Bus.328	Load	0.380	100.0	0.0					0.076	0.047		
Bus.339	Load	0.380	100.0	0.0					0.080	0.050		
Bus.340	Load	0.380	100.0	0.0					0.020	0.013		
Bus.341	Load	0.380	100.0	0.0					0.056	0.035		
Bus.347	Load	0.380	100.0	0.0					0.058	0.036		
Bus.353	Load	0.380	100.0	0.0					0.014	0.009		
Bus Generator	Swing	70.000	100.0	0.0								
Total Number of Buses: 92					0.000	0.000	0.000	0.000	5.079	3.148		

```

clear all

%Parameter BGA
UkPop=80;           %Ukuran populasi
MaxGen=20;          %maksimum generasi
Psilang=0.95;        %Peluang Pindah Silang
Pmut=0.5;           %Peluang Mutasi
r = 20;

nsaklar = 25;
%Mendapatkan Power Loss awal
V_awal = [1 1 1 1 1 1 1 1 1 1 1 1 1 1 1 1 1 1 1 1 1 1 1 1 0 0 0 0];
casename = 'data_bus_saluran';
FITNESS = fitness(casename,V_awal,0,MaxGen);

fterbaik=zeros(1,MaxGen);
terV = V_awal;
terF = FITNESS;

%Inisialisasi Populasi
populasi=inisial(nsaklar,UkPop);

FBREEDER = zeros(1,r);
for i= 1:r
    VBREEDER(i,:) = V_awal;
end

% Looping generasi
for Generasi=1:MaxGen

    V = populasi(1,:);
    FITNESS = fitness(casename,V,Generasi,MaxGen);

    BestV = V;
    MaxF = FITNESS(1);
    MinF = FITNESS(1);
    IndeksIndividuTerbaik = 1;
    for ii=2:UkPop
        V = populasi(ii,:);
        FITNESS(ii) = fitness(casename,V,Generasi,MaxGen);
        if (FITNESS(ii) > MaxF),
            MaxF= FITNESS(ii);
            IndeksIndividuTerbaik=ii;
            BestV = V;
        end
        if (FITNESS(ii) < MinF),
            MinF = FITNESS(ii);
        end
    end
end

[SE,IndF]= sort(FITNESS);

```

for i = 1:r
 if FBREEDER(i) < SF((UkPop-i)+1)
 FBREEDER(i) = SF((UkPop-i)+1);
 FBREEDER(i,:) = populasi(IndF((UkPop-i)+1),:);
 end

end



```

end

%Penyimpanan nilai fitness terbaik
if MaxF > terF
    terF = MaxF;
    terV = BestV;
end
fterbaik(1,Generasi)=terF;

%Ellitisme
TemPopulasi = populasi;

if mod (UkPop, 2) ==0
    IterasiMulai = 3;
    TemPopulasi(1,:) = populasi(IndeksIndividuTerbaik,:);
    TemPopulasi(2,:) = populasi(IndeksIndividuTerbaik,:);
else
    IterasiMulai = 2;
    TemPopulasi(1,:) = populasi(IndeksIndividuTerbaik,:);
end

%Linear Fitness Ranking
LinearFitness = LinearFitnessRangking(UkPop,FITNESS,MaxF,MinF);

for jj=IterasiMulai:2:UkPop,
    IP1 = RouletteWheel(UkPop,LinearFitness);
    IP2 = RouletteWheel(UkPop,LinearFitness);
    if (rand < Psilang),
        TP = 1+fix(rand*(nsaklar-1));
        Anak = PindahSilang(populasi(IP1,:),populasi(IP2,:),...
            nsaklar,TP);

        TemPopulasi(jj,:) = Anak(1,:);
        TemPopulasi(jj+1,:) = Anak(2,:);
    else
        TemPopulasi(jj,:) = populasi(IP1,:);
        TemPopulasi(jj+1,:) = populasi(IP2,:);
    end
end

%Mutasi
for kk=IterasiMulai:UkPop
    TemPopulasi(kk,:)=Mutasi(TemPopulasi(kk,:),Pmut,nsaklar);
end

populasi=TemPopulasi;

for ii=1:UkPop
    V = populasi(ii,:);
    FITNESSSS(ii) = fitness(casename,V,Generasi,MaxGen);
end

[SF, IndF]= sort(FITNESSSS);
for i = 1:r
    populasi(i,:)= VBREEDER(i,:);
end

```



```

% constrain system
for i = 1:UkPop
    populasi(i,:) = batasan(populasi(i,:));
end

end

fprintf('HASIL LOAD FLOW SEBELUM REKONFIGURASI');
fprintf('\n');
[value,PLOSS_awal,QLOSS_awal,VM_awal] =
fitness(casename,V_awal,0,MaxGen);

fprintf('HASIL LOAD FLOW SETELAH REKONFIGURASI');
fprintf('\n');
[value,PLOSS,QLOSS,VM] = fitness(casename,terV,0,MaxGen);
konfigurasi_switch = terV
Penurunan_Rugi_Daya = ((PLOSS_awal+QLOSS_awal)-(PLOSS+QLOSS))/...
(PLOSS_awal+QLOSS_awal)*100

figure
x = 1:MaxGen;
plot(x,fterbaik,'r-s')
axis([1 MaxGen min(fterbaik)-0.1 max(fterbaik)+0.2])
title('GRAFIK NILAI FITNESS DENGAN ALGORITMA BGA')
xlabel('GENERASI')
ylabel('FITNESS')
% text(0.59*MaxGen,min(fterbaik)+0.1,'Penurunan Losses :');
% text(0.85*MaxGen,min(fterbaik)+0.1,strcat(num2str(Penurunan_Rugi_Daya),
' %'));
selisih_P = PLOSS_awal-PLOSS;
selisih_Q = QLOSS_awal-QLOSS;

figure
dataPQLOSS = [PLOSS_awal QLOSS_awal;
               PLOSS_QLOSS;
               selisih_P selisih_Q];
bar(dataPQLOSS,'group')
title('Perbandingan Rugi-rugi Daya sebelum dan sesudah Rekonfigurasi')
legend('MW','MVAR')

figure
vx = 1:length(VM);
plot(vx,VM_awal,'b-s',vx,VM,'r-v')
legend('sebelum Rekonfigurasi','setelah Rekonfigurasi')
axis([1 length(VM) 0.8 1.1])
title('Magnitude Tegangan Sebelum dan Sesudah Rekonfigurasi')
xlabel('Bus Number')
ylabel('Tegangan')

```

